

C<sub>2</sub>H<sub>2</sub>



C<sub>2</sub>H<sub>2</sub>: alkene K-8442

I906

Mixter

4. Am. J. Sci. 22, I3 (I906)

Circ. 500

M



MV<sup>OP</sup>

O

IV-2110

1930.



Hedfield K., Mecke R.

Z. Physik 1930, 64, 151-61

"Rotation ofcillation spectrum

• • •

J

1930

4003 - 1P

(C<sub>2</sub>H<sub>2</sub>, C<sub>2</sub>H<sub>4</sub>)

Mecke R.

Z. Physik 1930, 64, 173-90

"Rotation-oscillation spectrum

\*\*\*

J

IV-682

I ( C<sub>2</sub>H<sub>2</sub> )

1930

Thornton W.H.

Phil. Mag. 1930, 10, 1052-63

"Comparison of molecular  
ionizing potentials in an  
alternating electric wind"

C.A., 1931, 877

C<sub>2</sub>H<sub>2</sub>

B9P - 2505 - III  
B9P - 9081 - IV

1932

J. T. Tate ; P. T. Smith

(γ)

"Phys. Rev.", 1932, 39, 270-7.

4020 - 10

1933

C<sub>2</sub>H<sub>2</sub>( )

Sutherland G.B.B.M.

Phys. Rev. 1933, 43, 883-6

"The infra-red absorption ... .

J

2105-IV

W. C. (C<sub>2</sub>H<sub>2</sub>, C<sub>2</sub>D<sub>2</sub>)

1934

Glockler G., Davis H.M.

Phys. Rev. 1934, 46, 535

"The acetylene bond . . .

J

1934

4379 - IV

✓ ( $\text{C}_2\text{HD}$ ,  $\underline{\text{C}_2\text{H}_2}$ )

Herzberg G., Fataf F., Spinks J.W.P.

Nature 1934, 133, 951

"Bands of "heavy" ...

J



$\text{C}_2\text{H}_2$

$C_2H_2$  (g)

2115-1D

1934

Jonesco A.

Compt. rend. 1934, 199, 710-13

"Absorption spectrum of acetylene  
in the region 235 - 2050 A."

10

C.A., 1935, 479

1934

4010-D

C<sub>2</sub>H<sub>2</sub>, C<sub>2</sub>H<sub>4</sub> (D, E )

Price W.C.

Phys. Rev. 1934, 45, 843-4

"The ultra-violet ...

J, M

C<sub>2</sub>H<sub>2</sub>

| B93-4140-IV | 1934

Savard J.

(D.J.)

"Physica", 1934, 1, 821-3.

"Ionization potentials  
and . . .

$\omega$  ( C<sub>2</sub>H<sub>2</sub> )      7620-V

1935

Duncan A.B.F.

J.Chem.Physics 1935, 32 384-5

"The vibrations of polyatomic  
molecules in excited electronic  
states"

C.R., 1935, 5743<sup>6</sup>

1935

4011 -  $\text{IV}$  -  $\beta\text{P}$

C<sub>2</sub>H<sub>2</sub> (J, D), C<sub>2</sub>H<sub>4</sub> (J)

Price W.C.

Phys. Rev. 1935, 47, 444-52

"The absorption spectra of ..."

J, M

IV-2107

1936

C<sub>2</sub>H<sub>2</sub> (C-C, C-C )

C<sub>2</sub>HD (Koeffiz. Werte )

Herzberg G., Patat F., Verleger H.

Z. Physik 1936, 102, 1-22

"Rotation vibrations in the ...

J

M03-D

1937

( C<sub>2</sub>H<sub>2</sub>, C<sub>2</sub>H<sub>6</sub>, CH<sub>4</sub> )

Glockler G., Wall F.T.

J. Chem. Phys. 1937, 5, 813-17

"Bond force constants ...

J

1938

4029 - IV

C<sub>2</sub>H<sub>2</sub> ( V<sub>i</sub> )

Woo S.-C., Liu T.K., Chu T.C., Chin W.

J.Chem.Phys. 1938, 6, 240-6

"The near-ultraviolet bands

• • •

J

7943-17

1940

C(Hs)

Henkin H., Burton M.

J. Chem. Phys. 1940, 8, 297-300

"Bond strength and  $\sigma_{\text{ad}}$

Be

$C_2H_2$

1946

(AsH<sub>3</sub>, B<sub>2</sub>H<sub>6</sub>, C<sub>2</sub>H<sub>2</sub>, C<sub>2</sub>H<sub>6</sub>, CH<sub>4</sub>, Cl<sub>2</sub>, F<sub>2</sub>O, Cl<sub>2</sub>O,  
GeH<sub>4</sub>, SiH<sub>4</sub>, N<sub>2</sub>, NH<sub>3</sub>, PH<sub>3</sub>, H<sub>2</sub>S, H<sub>2</sub>Se)

Gordy W.

Phys. Rev. 1946, 69, 130-I.

"A relation between characteristic bond constants and electronegatives of the bonded atoms".

Ch. A., 1946, 2365<sup>1</sup>

10

See p. 1

2404-IV

1948

$\gamma$ , D, If (C<sub>2</sub>H<sub>2</sub>, C<sub>2</sub>H<sub>4</sub>, C<sub>2</sub>H<sub>6</sub>, CH<sub>4</sub>)

Glockler G.

J. Chem. Phys. 1948, 16, 942-4

"Carbon-carbon and ..."

H. J.

391-IV

I948

I (Kr, Ar, Xe, N<sub>2</sub>, CO<sub>2</sub>, C<sub>2</sub>H<sub>2</sub>, CH<sub>4</sub>, CD<sub>4</sub>, C<sub>2</sub>H<sub>6</sub>)

Honig R.E.

J.Chem.Phys.I948, I6, I05-I2.

"Ionization potentials of some hydrocarbon series".

Ch.A., I948, 2856g

to



He gotten.  
E.C.

1948

4005 - IV

C<sub>2</sub>H<sub>2</sub> (      B<sub>000</sub>      )

Nordin N.M., Haslam R.H.H.  
Can.J.Research 1948, 26A,  
279-291

The vibrational ...

J

D 4144

1948

C<sub>2</sub>H<sub>6</sub>, C<sub>2</sub>H<sub>2</sub> (Do)

Valatin

J. Chem. Phys., 1948, 16, 1018-  
1024

The thermochemistry of organic ...

M, J

98-1E

1949

C<sub>2</sub>H<sub>2</sub> (Do)

Glockler G.

J.Chim.Phys., 1949, 46, 103-105

Force constants and heats of  
dissociation of diatomic molecules

C.A., 1950, 44, 9200a

10, 11, 15.

test p.r. Øv

$C_2H_2$

Bell E.E., Nielsen H.H., J. Ch. Ph. 18, 1382

1950

Л.к. 2,5-16  $\mu$  Кинтактная окись азотистая

$\nu_1 = 3373,2$  ~~2088~~ Установлено значение частоты перехода

$\nu_2 = 1974,0$  // Приведенное значение частоты излучения

$\nu_3 = 613,3$

Гут. V, 10

C<sub>2</sub>H<sub>2</sub>

(mp. m)

130-2093-IV | 1950

Clark A. M.,  
Lick F.

Trans. Faraday Soc.,  
1950, 46, 901-11

1950

4066 - IV

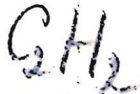
C<sub>2</sub>H<sub>4</sub>, CH<sub>4</sub>, C<sub>2</sub>H<sub>2</sub>, C<sub>2</sub>H<sub>6</sub> (D)

Heitler W.

Helv.chim.acta, 1955, 38, N 1,  
5-15

Die Bildungsenergien der ...

J, M



$\text{C}_2\text{H}_2$   
cweapp.

R.Talley, A.Nelsen

1950

JLCh.Ph. 1680, 18

U.K. cweapp  $\text{C}_2\text{H}_2$  6  
08114400-850 cm<sup>-1</sup>

1950

9269 -D

$\text{Be}(\text{CH}_3)_2$ ,  $\text{CH}_3\text{Cl}$ ,  $\text{CH}_3\text{Br}$ ,  $\text{CH}_3\text{J}$ ,  $\text{C}_2\text{H}_6$ ,  $\text{C}_2\text{H}_2$

$\text{C}_2\text{H}_4$ ,  $\text{C}_2\text{H}_2$ )

Nikola Be

Z. Elektrochem., 1950, 54, 27-33  
Theoretical and etc

300

2089-1D

1951

C<sub>2</sub>H<sub>2</sub> (V<sub>i</sub>)

Bell E.E., Nielsen H.H.

J.Chem.Phys., 1951, 19, 136

Erratum: The infrared ...

J

$\text{CH}_4; \text{CH}_3; \text{CH}_2; \text{CH}$       II M-382  
1951  
 $\text{C}_2\text{H}_2; \text{C}_2\text{H}_4; \text{C}_2\text{H}_6 (-\text{CH}_2-\text{CH}_2, \text{H}_2, \text{D})$

Glockler G.

Discussions Faraday Soc. 1951,  
N 10, 26-35  
Estimates of average bond ...

, J.

U.A. 1952, 5533e

1951

4009 - D

$\omega, \beta$  ( $C_2H_2$ ,  $C_2D_2$ ,  $C_2^{HD}$ )

Plyler E.K., Gailar N.

J. Research. Natl. Bur. Standards  
1951, 47, 248-51 (Research Paper N 2249)

"Near-infrared ...

J.

$C_2H_2$

$\text{CH}_2$

$\text{C}_2\text{H}_4$

изотопы.

Л.Н. Сверлов.

1951

ДАН СССР № 1115-18

Однозначные методы изучения  
и измерения изотопов.  
(Изотопные методы).

$\text{C}_2\text{H}_2 = \text{C}_2\text{D}_2$

$\text{C}_2\text{H}_4 = \text{C}_2\text{D}_4$ .

Coll.

J.W. Taylor.

1957

Trans. Farad. Soc.

47, 1293-8.

Effect of conjugation on  
Bond-dissociation energy.

Datum changes in 'd.'

$\text{C}_2\text{H}_2$ .

Ward.

Kopach.

Thompson, McLean  
Calloway

1951

Proc. Roy. Soc. L. A 208,  
332-41.

Инверсия - волна - изображение

С2Н2

P. Torkington

1951

Proc. Roy. Soc. (L)

A 206, 17-39.

Мениковские колебания  
СН<sub>4</sub>, С2Н<sub>2</sub> и их замещенных

$C_2H_2$

meissner

Dyke P.J.

1952

Can. J. Phys. 30, 79-80

Kobayashi - complex  $C_2H_2$

Y.Q. Wang

$C_2H_2$

G. Moe, Duncan

U952

ChemP -

JACS 74, 3136-40.

Инверсия. депротонирован

переходов в азотистое  
6 бензимидазол.

$C_2H_2, C_2D_2$  King, Juddold, C.K 1952.

Collsp.

Nature 163, 1101-2

For each  $C_2H_2$  u  $C_2D_2$ .

$\lambda \lambda 2400-2100$ .

Vsaes. u bfin. aseam.

$C-C = 1.383^\circ$   $\angle CCC = 120.2^\circ$ .

$C-H = 1.081^\circ$

$V_2 = 1049 \text{ cm}^{-1}$   $\nu(CC) 1385 \text{ cm}^{-1}$ .

C<sub>2</sub>H<sub>2</sub>  
C<sub>2</sub>H<sub>4</sub>  
Clepp.

Schüller, Reinebeck. 1952

Z. Naturforsch. T<sub>3</sub>, 285-9.

Clepp & Beigert. obda

C<sub>2</sub>H<sub>2</sub>, C<sub>2</sub>H<sub>4</sub> u. gr.-apotheke.

hureo. шинефекко

$\text{SiH}_2$

Paerz

зверь.

уровни:

J. G. Ross.

1952.

Trans. Farad. Soc. 48, 973-91.

Paerz изложил уровни  $\text{SiH}_2$   
исходя из Адисимова. Извл.  
один, видимо 6-ти уровня.

C<sub>2</sub>H<sub>2</sub>

V  
Dyke P.J.

1953  
1952.

Canad. J. Phys. 31, 453  
30, 79, 1952.

Магн. спектр NH<sub>2</sub> в модель  
ионов C<sub>2</sub>H<sub>2</sub>.

$C_2H_2$

метан

P.K. Ingold, G.W. King 1953

J. Chem. Soc. 2302, 1953.

Серия газов в скобках

$C_2H_2$

$\text{CH}_2$

C.K. Yngold, G.W. King

1953

Сущ.

J. Chem Soc., 2725-2744.

Бесцветное соединение  
изомеры.

111  
112  
113

IV. Физика и химия

смеси  $\text{C}_2\text{H}_2$  и гидропероксида  
в бензине при охлаждении

1156

Бесцветное соединение.

Риф.  
26266

$C_2H_2$  & bas. - config. - wechseln  
acquiringe  $\sigma$  -  
bonds.

$$A = 12,50 \text{ cm}^{-1}$$

$$B = 1,127$$

$$C = 1,033$$

$$r_{CC} = 1,383 \text{ \AA}^0$$

$$r_{CH} = 1,08 \text{ \AA}^0$$

$$\angle_{CCH} = 120,2^\circ$$

$C_2H_2$   
этилорганический  
суперфре

A. Pullman

1953

J. Chim. Phys. 50, 447-58.

Этилорганическая суперфре  
аэрозольная.

2085-IV

1953

C<sub>2</sub>H<sub>x</sub>, C<sub>2</sub>H<sub>2</sub>, C<sub>2</sub>H<sub>3</sub> (monomeric. noncr.)

Schieler K.

Mém. soc. roy. sci. Liège, 1953, 13, 231-7

A new spectrum attributed to the C<sub>2</sub>H<sub>x</sub>  
molecule ( $x=1, 2, \text{ or } 3$ )

10! (P)

c.a., 1953, 8511 i

1953

4017 - II

C<sub>2</sub>H<sub>2</sub> ( Te )

Serre J., Pullman A.,

J.chim.phys. et phys.-chim.biol.,  
1953, 50, N 9, 447-458

Recherches théoretique sur ...

J

1953

ННВ, НААН A. D. Walsh J. Chem. Soc.

C<sub>2</sub>H<sub>2</sub> 21 2260 - 6

Спектр излучающих  
молекул.

C<sub>2</sub>H<sub>2</sub> (I)      BP-21102-IV      1954

Franklin J. L., Field F. H.

J. Amer. Chem. Soc., 1954, 76, 1994-1997  
(part 1)

The ionization potential of substituted acetylenes by electron impact.

PKXu 1955, 15731



10 P



K.K. Ішес.

C<sub>2</sub>H<sub>2</sub>Сиерр

J. Chem. Phys. 22, 863-76

IV - 2114

1954г.

Доказано утверждение, что все молекулы  
американ.

Американ. сиерр в обн. 1970-2420<sup>А</sup>.

Встреч. носг. верхнего слоя.

$$A_0 = 12,94, \quad B_0 = -1,1247, \quad C_0 = 1,0237 \text{ ас}^{-1}$$

Если C-H пары. предположим равновес. между  
1,020 и 1,030  $\text{A}^{-1}$

$$Z_{CC} = 1,388 \text{ A} \quad C-C \text{-H}_{1,02120}$$

C<sub>2</sub>H<sub>2</sub>

н.к. искл. кр.

KiyAMA R., MiNOMURA S., Ozawa K.

1954

Proc. of Jap. Ac. 1954, XXX, №, 683

Влияние н.к. искл. на константу в  
реакции образования связок при давлении

$$V_4 = 611,8 ; V_3 = 729,1 ; V_2 = 1973,8$$

$$V_3 = 3287 \quad \gamma_1 = 3373$$

Mikawa J. J. Chem. Soc. of Eng.  
1955, 76, N7, 204

беск. синт. и тех. функции  
превращения  $\text{NH}_2\text{CMO}'$

ганс табакен 298,16 - 600°K  
и кр.

$C_2H_2$

U.K.-Chenoff

up to  $gaba$ .

$90.24 \text{ kg/cm}^2$

Kiyama R.

Misomura S.

Ozawa K.

1954

Proc. of the Japan Academy

XXX, No 8, 358, 1954.

U.K.-Chenoff ~~noradrenergic~~

1  $\mu$ g DOP.  $C_2H_2$  up to ~~plus~~  $gaba$ .

$24 \text{ kg/cm}^2$

$1100 - 5800 \text{ cm}^{-1}$   
 $t = 23 - 25^\circ\text{C}$ .

$V_3 = 3373.7 \text{ cm}^3$ . R. -

$V_2 = 1973.8$  R. - наружн.

$V_3 = 3283$  U.K. -

$V_4 = 611.8$  R. - -

$V_5 = 729.1$  U.K. -

Корона 1994 -  $V_2$  индивидуальная  
специальная задача

$C_2H_2$

S. Minomura

1954

J. Rev. Phys. Chem. Japans  
24, 49

Induced infrared absorption  
in gaseous acetylene  
under pressure

Cur. ch.  
papers  
N5-552

1954

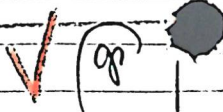
C<sub>2</sub>H<sub>2</sub>, CH<sub>2</sub> ( $\Delta H_f$ , 2)

Mitra S.S.

Science and Culture (India), 1954, 19, 355-6

Heats of dissociation and atomic heats of formation of acetylene and free methylene molecule

M.W



C.A. 1954, 9800g

$C_2H_2$

1954.

$C_2D_2$

(I)

экспр.  
непрояг.

Bsp - 740 -

Nostrand E.D.

Duncan A.B.F

"J. Am. Chem. Soc."

1954, 76, N13, 3377 - 79

C<sub>2</sub>H<sub>2</sub>

OCTOBER 21 1954

1954

Schuler H

P-231-37

On a ~~book~~ spectrometer  
distributed to the C<sub>2</sub>H<sub>x</sub> molecule  
 $(x=1,2,3)$



Shashanka Mitra

B92-4004-IV | 1954

$D_0(C_2H_2)$

Science and Culture  
(India) 19, 355-6.

Испытания газов на ароматические  
афлюкбенз и изоантифен в  $C_2H_2$ .

- 1).  $C_2H_2$  гасят на 2CH мол. =  $\frac{OCH_3 + CH_3}{2} \approx 170$  Paerjone
- 2).  $C_2H_2$  гасят на  $CH_2 + C$  = 186 " " " " " " " "
- 3).  $C_2H_2$  гасят на  $H_2$  = 203 " " " " " " " "
- 4).  $C_2H_2$  гасят на  $CH + H$  = 123.2 " " " " " " " "
- 5).  $C_2H_2$  гасят на  $C + H_2$  = 100 " " " " " " " "

Темпера озр.  $C_2H_2$  = 389,2 ккал.

т — "  $CH_2$  = 203,2 ккал.

СА 48  
1880

1954

4019 -D

C<sub>2</sub>H<sub>2</sub> ( Te )

Sponer H., Löwdin P.O.

J.phys. et radium, 1954, 15,  
N 7-8-9, 607-611

Les niveaux ...

J

HCN u

Wiggins T.A., Shearer J.N., Shure E.R. 1954

C<sub>2</sub>H<sub>2</sub>Rank D.H. J.Ch.Ph. 22, 547

IV - 40 27

Скорость испарения бензина больше  
скорости синтетического бензина C<sub>2</sub>H<sub>2</sub>-  
как увидел авторитетный исследователь HCN  
и C<sub>2</sub>H<sub>2</sub>. Равнение в значениях  $B' - 13^{\circ}$   
получено из Q бензин превышает  $V_1 + V_5'$   
и PnL бензин содержит вдвое больше  
углеводородов  $Q_p = 4,72 \cdot 10^{-3}$  кг/л

Определение вязкостных коэффициентов

$C_2H_2$   $B'' = 1,17658$   $\phi = 1,0 \cdot 10^{-6}$

$HCN$   $B'' = 1,47870$   $\phi = 3,40 \cdot 10^{-6}$

C<sub>2</sub>H<sub>2</sub>

B9P-4036-IV

1955

A.P.

F.O. Coats

R.C. Anderson

J. Am. Chem. Soc. V77 (1955)

pp 895-896

C<sub>2</sub>H<sub>2</sub>

✓ Kerzberg J., Stoicheff

1855

u-r excess

Nature, 1856, 17, 75, 79

1955

C<sub>2</sub>H<sub>2</sub>

Hornig D.F., Mekcan D.C.

J. Phys. Chem. 59 1133

Bond Strength and Molecular  
Structure. Z K

C<sub>2</sub>H<sub>2</sub> 1.064 6.37.

cm CH<sub>4</sub>

1955

4016-IV

C<sub>2</sub>H<sub>2</sub>-Te-

Serre J.

J. chim. phys. et phys.- chim.  
biol., 1955, 52, N 4, 331-338

Recherches théoriques sur ...

J

C<sub>2</sub>H<sub>2</sub>

Walker W.C., Weissler g.z. <sup>1955</sup>  
J. Chem. Phys., 1955, 23, 1547.

Preliminary Data on Photo-  
ionization Efficiencies and  
Cross Sections in C<sub>2</sub>H<sub>4</sub>  
and C<sub>2</sub>H<sub>2</sub>

Tionenzyuan Kozuzaue

# C<sub>2</sub>H<sub>4</sub>  $10.46 \pm 0.0536$

● C<sub>2</sub>H<sub>2</sub>  $11.25 \pm 0.0536$ .

C<sub>2</sub>H<sub>2</sub>  
C<sub>2</sub>D<sub>2</sub>

E.C. Wingfield J.W. Straley  
J. Eh. Ph., 25, 251.

1955

λ.v - curve  $\propto$  C<sub>2</sub>H<sub>2</sub> u C<sub>2</sub>D<sub>2</sub>.

BGP-2086-IV

С, Гц

Allen H.C., Tidwell E.D., Plyler E.K. 1956

Н-к симбр

J. Res. NBS, 1956, 57, №4, 213

1900-8000 см<sup>-1</sup>

Инфракрасный спектр азобицета  
лимонного масла и изомер при 5000 см<sup>-1</sup>  
характерен. Изменение интенсивности может быть  
известно изменившимся соотношением  $B_0$  и  $B'$ . Изменение  
также зависит от  $B_0$  и  $B''$ . Изменение  
известно и измеряется различными

$$B_0 = 1,17684 \pm 0,00016$$

значения доказана 0,1-0,2 см<sup>-1</sup>. В 1% пределах

установка 104рмм6. Стартовую перевозку немецкой "Горизонта" установки. Помогли снабдить гибкими шлангами

$$\omega_1^o = 3397,78$$

$$x_{11} = -24,08$$

$$x_{12} = -16,94$$

$$x_{13} = -99,01$$

$$\omega_2^o = 1981,72$$

$$x_{22} = -7,92$$

$$x_{23} = -1,38$$

$$x_{24} = -6,16$$

$$\omega_3^o = 3307,62$$

$$x_{33} = -25,69$$

$$x_{34} = -9,06$$

$$x_{35} = -5,73$$

$$\omega_4^o = 607,28$$

$$x_{44} = 5,38$$

$$x_{45} = -12,65$$

$$\omega_5^o = 729,03$$

$$x_{55} = -2,27$$

$$X_{14} = -16,46$$

$$g_{44} = 1,10 \quad g_{55} = 2,49 \quad \gamma = 49$$

$$X_{25} = -0,85$$

$$X_{15} = -11,75$$

Эти исходные ис. начальствует для  
использования фигуры в дальнейшем

$C_2H_2$

Christensen M.T. in sp.

1956

Proc. Roy. Soc., 1956, A238, 11212, 15-3c

Voad-Brown. Изуч C<sub>2</sub>H<sub>2</sub> и его  
изотопы молекулы.

PMF

1957

W9, 24/19

1956

C<sub>2</sub>H<sub>2</sub>

(-)

Coburn T.J., Rao K.N., Nielsen H.H.  
J. Chem. Phys., 1956, 25, 607.

Комбинационная модель V<sub>4</sub>+V<sub>5</sub>-  
диполярная.

W-2094

C<sub>2</sub>H<sub>2</sub>

C<sub>2</sub>H<sub>2</sub> · T. Feldman, G.C. Shepherd, H.L. Welsh 1956  
Canad. J. Phys. 34, 112, 1956.

Раман спектр азота льда.

1/10

Красн. Blaway. и Риан-коэс.

Раман спектр азота льда при  
давл. 1 атм. на приборе с Balconi  
спектром. Виден суперим.  
340 см<sup>-1</sup> винилов. 6 Раман спектр  
основного состояния волнистый.

$\beta_1$ ,  $\beta_2$  и  $\beta_4$  разрешены и проанализированы.  
Несколько более, в физ. языке и  
несколько аморфической и химической

2113-IV

1956

C<sub>2</sub>H<sub>2</sub> ( структура )

Ingold C.K.

J. Chim. phys. et phys.-chim. biol.,  
1956, 53, N6, 472-479

Изменение формы молекул ...

J

C<sub>2</sub>H<sub>2</sub>(

молекулярные постоянные

1956

IV-2116

Keller F.L., Nielsen A.H., Shaffer W.H.,

J.Chem.Phys., 1956, 25, N 1,  
175-176

Новые члены в потенциальной ...

J

$\text{C}_2\text{H}_2$  V J. Minoura 1956  
Res. Phys. Chem. Japan 26, 917

Induced infrared absorption  
in gaseous Acetylene at high  
pressure. II.

$\nu_2$  bands  $\text{cm}^{-1}$  1874  $\text{cm}^{-1}$

heat. bridge large  $\text{cm}^{-1}$  deabsorbed

CA 51  
858 d.

14,149  $\text{cm}^{-2}$ .  $\bullet$  in B direction C  
 $\nu_1$ , A  $\text{cm}^{-1}$  11,100  $\text{cm}^{-2}$

1956

4018-IV

C<sub>2</sub>H<sub>2</sub> (Te)

Serre J., Mme

C.r.Acad.sci., 1956, 242, II 11,  
1469-1471

L'Etude de l'acetylene ...

J

1956

C<sub>2</sub>H<sub>2</sub>, C<sub>2</sub>HCH<sub>3</sub> (J)

Тиба Ано

Буссэйрон кэнкю, 1956, № 94,  
24-31

Гиперкон'югация ...

J

ausgelesen

U.K. cleanup

E.O. Fidwell, E.K. Plyler 1956

JACS 78, 3034-40.

U.K. cleanup [ $\text{^2H}_1$ ] ausgetauscht

1956

4025 - II - BFP

C<sub>2</sub>H<sub>2</sub>(J)

Watanabe K., Namioka T.,  
J. Chem. Phys., 1956, 24, N. 4, 915

J

$C_2H_2$

Coats F.H., Anderson  
R.C.

1957

D

II-4609-290

YACS, 79, N6, 1340

Меридиональное баро-  
метрое...



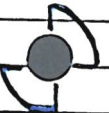
C<sub>2</sub>H<sub>2</sub>  
C<sub>4</sub>H<sub>2</sub>  
C<sub>4</sub>D<sub>2</sub>

J.H.Calloway, B.P.Sloicheff  
1957

Canad. J. Phys., 35, 14, 373  
Bp-2098-IV

Високоразрешене Радіочастотні-  
коеф. рядж. VIII. Вимірювання  
стисн. азоту відповідно, вимірювання  
давлення  $d_2$  у 21 керованому

21 кг. камре. Вимірюв. коеф. Енерг.



Наиболее сложные:

$$B_0(C_2H_2) = 1,1769 \text{ см}^{-1} \pm 0,0003$$

$$B_0(C_4H_2) = 0,14689 \text{ см}^{-1}$$

$$B_0(C_4D_2) = 0,12767 \text{ см}^{-1}$$

$$B_0(C_4H_6) = 0,1122 \text{ см}^{-1}$$

$$\Sigma(C=C) = 1,2085$$

$$\Sigma(C-H) = 1,0572$$

$$\rho_0 = 1,9 \pm 0,4 \cdot 10^6$$

Анализ показал, что  
 $\Sigma(C-H)$  в гидроизо-  
мерах, как и в изо-  
и динатомаизомерах.

В динатомаизомерах  
огда C-C связь имеет  
также в замыкании  
состав. то есть в  
перегородке.

ommeren 3171.

1957

C<sub>2</sub>H<sub>2</sub>

G. Herzberg.

Mem. Soc. Roy. Sci. Liegee  
1957, 18, 317-418

последнее изображение неизв.  
номера и номера звезды  
астромономии.

4034 - D - ВР

~~4034~~

1957

D(C<sub>2</sub>H-H), D(C<sub>2</sub>H<sub>3</sub>-H)

Франкевич Е.Л., Тальрозе В.Л.

Изв. АН СССР. отд. хим. наук, 1957,

№ 12, 1501; стр. 6

Оценка энергий диссоциации ...



M, J

$\text{C}_2\text{H}_2$  Морансен А. В. 1957  
Физ. сб. Известиях Ун-та, 1957, Вып. 3(8), 934

III-1037  
Зауряд норм. конфигураций и изображение  
атомарно-ионной молекулы  
 $\text{C}_2\text{H}_2$  и  $\text{C}_2\text{D}_2$ .

РМН, 1958  
58, 1952.

Melton C. E., Bretscher M. M.: 1357

$C_2H_2$

Ballock R.

J. Chem. Phys., 1957, 26, 1302.

mass -

Duccourtiayuel haben gewisse grader

6 mass - charakte asyriewa.

Duccourtiayuel

IV-323

I957

CO, O<sub>2</sub>, NO, Cl<sub>2</sub>, Br<sub>2</sub>, I<sub>2</sub>, HCl, HBr, HI, H<sub>2</sub>O, H<sub>2</sub>S,  
CO<sub>2</sub>, SO<sub>2</sub>, CS<sub>2</sub>, N<sub>2</sub>O, NO<sub>2</sub>, O<sub>3</sub>, NH<sub>3</sub>, CH<sub>4</sub>, C<sub>2</sub>H<sub>6</sub>, CH<sub>3</sub>Cl,  
CH<sub>3</sub>Br, CH<sub>3</sub>I, C<sub>2</sub>H<sub>5</sub>Cl, C<sub>2</sub>H<sub>5</sub>Br, C<sub>2</sub>H<sub>5</sub>I, CH<sub>2</sub>Cl<sub>2</sub>, CHCl<sub>3</sub>,  
CCl<sub>4</sub>, C<sub>2</sub>H<sub>4</sub>, C<sub>2</sub>Cl<sub>3</sub>H, C<sub>2</sub>H<sub>2</sub>, CH<sub>3</sub>OH, C<sub>2</sub>H<sub>5</sub>OH (I)

Watanabe K.,

J.Chem.Phys., I957, 26, № 3, 542-547 (англ.)

Потенциалы ионизации некоторых молекул.

РЖХ, I957, № 24, 76390

Бесов Р.И.

ам.

Обыков Г. В.

1958

C<sub>2</sub>H<sub>2</sub>

Изв. АН СССР. Оиг. хим. N.,  
1958, № 6, 771-772

Частоты валентных колебаний и электронные заряды связей C-H в гидроугородах.

X-59-3-7185

C<sub>2</sub>H<sub>2</sub>

BOP-5180-III | 1958

Stoicheff, B.P.

Снижение  
γ<sub>e</sub>

„Current Science“, 1958, v1,  
1-8

4021

IV

1958

D( $C_2H$ -H), D( $C_2H_3$ -H)

Talrose V.L., Frankewitch E.L.

J.Amer.Chem.Soc., 1958, 80, N 9,  
2344-2345

Determination of proton ...

J, M

$C_2H_2$

C<sub>2</sub>H<sub>2</sub> V Wilkinson P.G. 1958

издание J. Molecul. Spectr., 2, 387-404

беседа

согласно. Следует изгасимый аэрофакт  
и аэрофакт-d<sub>2</sub> в вакуумном

у.р.

W-H028

10057

C<sub>2</sub>H<sub>2</sub>C<sub>2</sub>H<sub>4</sub>m. sp.n not.refr.

Pleoster M. R., Reed T. B.,

J. Chem. Phys., 1959, 31, 66.Parvovacile jnezzes - basopes - aspr -  
est. apn. Basopek m-pakParvovacile wuzzo denezzels -  
so 3600K  
jauvo, a jacezzawo so 3600K.

Coneave. koyouee.

Oyoma wuzzowax C<sub>2</sub>H<sub>2</sub>: laoyin  
3216, 7, 639, 4, 1.923, 4 cm<sup>-1</sup>. F.I = 19,234I = 19,234. 10<sup>-40</sup>Bunwazee m-cn C<sub>2</sub>H<sub>2</sub> so 3600 u C<sub>2</sub>H<sub>4</sub> so 3600

X-60-3-8207

C<sub>2</sub>H<sub>2</sub>

Weber S.H.

1959

Thermodynamic properties  
of acetylene

A.I.Ch.E. Journal 1959, 5(1),

C.A. 1962

17.

56(3), 2048e

1980

C<sub>2</sub>H<sub>2</sub>

Bak B., Hansen-Hygard  
J. Chem. Phys. 1980, 35, 4181.

J. Chem. Phys. 1980, 35, 4181.

Коррелирующая структура  
ионной структуры.

1960

С2Н2

2B88. Расчет ацетилена методом MO с учетом всех электронов. By gnelle Louis. MO treatment of acetylene including all electrons; «J. Chem. Phys.», 1960, 32, № 6, 1872—1873 (англ.).—Методом ЛКАО MO в приближении самосогласованного поля Рутана без учета взаимодействия конфигураций рассчитана молекула ацетилена (I). В качестве AO использовались слейтеровские ф-ции атомов С и Н. Трех- и четырехцентровые интегралы между Is-AO (С) пренебрегались, а все остальные вычислялись в приближении Малликена. Рассчитанный (по Купмансу) первый потенциал ионизации I равен 10,34 эв, а энергия первого перехода  ${}^1\Sigma_g^+ - {}^1\Sigma_u^-$  6,24 эв (эксперим. величины 11,41 и 5,23 эв соответственно). Рассчитанная полная энергия I оказывается на 0,56 ат. ед. меньше экспериментальной, что объясняется приближенным расчетом интегралов. Проведен расчет заселенности связей. Отмечается, что неучет атомов Н приводит к существенно большей энергии электронного перехода (8,02 эв).

Е. Никитин

оп. 1961.2

$C_2H_2$

Janine Jacob

1960

Comp. rend. 1960, 250, 9, 1624

У-к синтез азотина в гре

Сравнение у-к синтеза нитрий газодр. азотами  
и в гре в различных определениях

II-217

1960

C<sub>2</sub>H<sub>2</sub> ( структура, силов.пост. )

King G.W.,

Canad.J.Chem., 1960, 38, N 3,  
365-372

Поверхности электронного ...

J

$C_2H_2$

1960

2Б35. Расчеты основных состояний  $C_2H_2$  и  $CO_2$  по методу самосогласованных молекулярных орбит в приближении ЛКАО. McLean A. D. LCAO-MO-SCF ground state calculations on  $C_2H_2$  and  $CO_2$ . «J. Chem. Phys.», 1960, 32, № 5, 1595—1597 (англ.).—Сообщены результаты первых расчетов многоатомных линейных молекул по методу самосогласованных MO, выполненных на основе недавно законченной программы для электронной счетной машины. Программа позволяет про-

см. н/об

жс. 1961.2

изводить полностью автоматич. расчеты молекул как с заполненной, так и с незаполненной электронной оболочкой при минимуме данных: базисные функции, межъядерные расстояния, электронная конфигурация, симметрия, заряды ядер. Ограничения: базисные функции должны быть слейтеровского типа, а их число не более 16. Число ядер в молекуле должно быть не более 4. Все интегралы вычисляются с точностью до 5-го десятичного знака, а полная энергия, энергия и коэф. МО — до 4-го десятичного знака. Приведены результаты расчетов основных состояний молекул  $C_2H_2$  и  $CO_2$  в одноконфигурационном приближении, которые потребовали 2 и 3 часа машинного времени соответственно. Рассчитанные энергии верхней занятой МО (12,01 эв в  $C_2H_2$  и 11,98 эв в  $CO_2$ ) находятся в разумном согласии с соответствующими эксперим. величинами (11,41 и 13,79 эв). Е. Шусторович

1960

12Б56. Распределение заряда, гибридизация и связывание в ацетилене и в двуокиси углерода. McLean A. D., Ransil B. J., Mulliken R. S. Charge distribution, hybridization, and bonding in acetylene and carbon dioxide. «J. Chem. Phys.», 1960, 32, № 6, 1873 (англ.).—Произведен анализ распределения электронов в молекулах  $C_2H_2$  и  $CO_2$  на основе мол. волновых функций, рассчитанных Мак-Лейном (РЖХим, 1961, 2Б35). Для  $C_2H_2$  найдено (в скобках значения, соответствующие волновой функции Бернелла; (РЖХим, 1960, № 23, 91245): заселенности перекрывания  $\sigma$ -связей CH 0,79 e (0,87 e) и CC 0,89 e (0,82 e); полный заряд каждого атома H + 0,21 e (+0,105 e); суммарная заселенность

см. н/о б

ж. 1961. 12

перекрывания двух  $\pi$ -связей  $1,05 e$  (—). Промотирование  $2s_C \rightarrow 2p\sigma_C$  составляет  $0,92 e$  ( $0,92 e$ ), т. е. гибридизация АО углерода в случае обеих волновых функций близка к  $sp$ -гибридизации. Отмечается пониженная заселенность  $\sigma$ -связи NN в  $N_2$  по сравнению с  $\sigma$ -связью CC в  $C_2H_2$ , обусловленная отталкиванием не-поделенных пар атомов азота. Анализ для  $CO_2$  дает:  $\sigma$ - и  $\pi$ -заселенности перекрывания связи  $C=O$  равны соответственно  $0,21 e$  и  $0,52 e$ ; полные заряды атомов:  $+0,43 e$  (C) и  $-0,22 e$  (O). Промотирование  $2s_C \rightarrow 2p\sigma_C$  составляет  $1,08 e$  (гибридизация близка к  $sp$ -гибридизации). Промотирование  $2s_O \rightarrow 2p\sigma_O$  ( $0,14 e$ ) почти такое же, как для атома O в CO и  $H_2O$ . Т. Р.

1960

*C<sub>2</sub>H<sub>2</sub>**KCN*

Overend y.

Trans. Far. Soc., 1960, 56, 310-314  
 Pahwheung piena chyei, B. H. C. ECK  
 u. HCN

*Datura*  
*chrysanthemum*

11-4009

BP-5706-III; IV-450

I960

$\omega_i$  ( $\text{CO}_2$ , CO, HCl, HBr,  $\text{NH}_3$ ,  
 $\text{C}_2\text{H}_2$ ,  $\text{CH}_4$ ,  $\text{N}_2\text{O}$ ,  $\text{H}_2\text{O}$ )

Plyler E.K., Danti A., Blaine L.R.,  
Tidwell E.D.

J.Res.Nat.Bur.Standards, I960, A64,  
N I, 29-48 (anm.)

Vibrationrotation structure in absorption bands for the calibration of spectrometers from 2 to 16 microns.

PX, I962,  
I6I26.

10

1960

C<sub>2</sub>H<sub>2</sub>

Perturbation of molecular rotation-vibration energy levels by rare gases. D. H. Rank, D. P. Eastman, W. B. Birtley, and T. A. Wiggins (Pennsylvania State Univ., University Park). *J. Chem. Phys.* 33, 323-6(1960).—The shift in frequency of lines of the 2-0 band of HCl and of the  $\nu_1 + \nu_3$  band of C<sub>2</sub>H<sub>2</sub> due to the presence of Kr and Xe as foreign gases was measured. A marked *J* dependence was observed.

The relative shifts in the upper and lower states of the transitions were calcd. from the shifts in the  $\Delta_2 F''(J)$  and  $\Delta_2 F'(J)$  values obtained from the measured line shifts. In the case of HCl, the shifts in the rotational levels were markedly different in the upper and lower states, the upper state shift being proportional to *J*, while the lower-state energy-level shifts approached an asymptotic value for high *J*. For C<sub>2</sub>H<sub>2</sub> the shifts in both levels resembled the shift in the lower state of HCl.

Henry Leidheiser, Jr.

C.A.1961.55.5.4147i-4148a

C<sub>2</sub> H<sub>2</sub>

(B<sub>0</sub>, I<sub>0</sub>, R<sub>0</sub>)

B9 - 7403 - IV | 1961

Brown J.K.,  
Cox A.P.

Spectrochim. Acta, 1961,  
17 (12), 1230-39

1361

Cattz

Burnelle L.

molecular  
paers.J. Chem. Phys., 1961, 35, 311.Accurate wave function in incis-  
sion of molecular systems using a c-  
nonorthogonal SCF LCAO

Cattz.

$C_2H_2$ ,

$CH_3-C\equiv CH$ ,

$C_2H_5-C\equiv CH$

679.

Таскуновъ З.А., Шигура Д.Н.,  
Гаревъ З.Н., Геркулова Н.А.,  
Усманова Н.Н. 2

Ozg. u ch., 3, no, (1961), 595-598.

Исследование природы кониеновых  
ацетоновъ и их производных  
методами Я.Р. спектров  
поглощений. (5)

Публена в бр. и издана 10 лист.

C<sub>2</sub>H<sub>2</sub>.

G. Herzberg, F.R.S.

1964

1222

Rev. Universelle des Mines  
(mensip) 9<sup>e</sup> Serie T XVII n<sup>o</sup> 2, 1961  
La Spectrosc. dans la Science  
moderne.



P-1-10

C<sub>2</sub>H<sub>2</sub>

BOP-511-IV | 1961

Herzberg G.

(γ, Δ)

"Canadian J. of Physics,"

39, 1961, 1511-13

1961

C<sub>2</sub>H<sub>2</sub>

Kroeselin H.

1035

снектр.

измер.

t°

сигн.

Proceedings Fifth Inter-  
national Conference on  
Ionization Phenomena  
in Gases, Munich 1961

Temperatur festimmen  
gen an Lichtlögen in  
Kohlen wasser stoffatmos-  
phäre

$C_2H_2$  ( Do )

IV-619

1961

Knock B.E., Palmer H.B.

Chem. Revs., 1961, 61, N 3, 247-  
255 (англ.)

Энергия диссоциации связи малых  
углеводородных молекул / обзор /

РХ., 1961, 23Б44

Ю.И

Есть О.К.

C<sub>2</sub>H<sub>2</sub>.

1961

Mean amplitudes of vibration and shrinkage effects of acetylene from spectroscopic data. E. Meisingseth and S. J. Cyvin (Norges Tek. Hoegskole, Trondheim, Norway). *Acta. Chem. Scand.* 15, 2021-5(1961)(in English).—Force consts., mean-square amplitude matrix elements, mean amplitudes of vibration, and shrinkage effects for C<sub>2</sub>H<sub>2</sub> were calcd. The theory of vibrational mean-square amplitudes for a linear sym. X<sub>2</sub>Y<sub>2</sub> mol. was applied. Approxn. methods were also studied. For example, when C<sub>2</sub>H<sub>2</sub> was treated as a 2-particle structure a very good approxn. was obtained for the C-C mean amplitude of vibration. Aaron L. Bluhm

C.A. 1962. 56. 13  
15064 6

1961

$C_2H_2$

Rath G.

Некоторые результаты измерений в ИК-  
области спектра с новым прибором высо-  
кого разрешения.

$\omega_{\text{II}}^{(0)}$

Instrum. and Measur  
"Vol. I" New-York-London", 1961, 489-  
Acad. Press.

Ф-1963-1Д

$C_2H_2$

T. A. Wiggins

1961

Spectrochim Acta 1961, 17, 1125

U. K.спектр. азоткаина.

$$B_0 = 1.17654 \pm 0.00004$$

$$D_1 = 1.51 \pm 0.03 \times 10^{-6} \text{ cm}^{-1}$$

$$\omega = 612.88 \text{ cm}^{-1}$$

1961

C<sub>2</sub>H<sub>2</sub>И.К.

17Б91. Иракрасный спектр ацетилена. Wiggins T. A., Plyler Earle K., Tidwell Eugene D. Infrared spectrum of acetylene. «J. Opt. Soc. America», 1961, 51, № 11, 1219—1225 (англ.).—Изучен ИК-спектр C<sub>2</sub>H<sub>2</sub> в интервале 2500—4150 см<sup>-1</sup> с целью получить более точный набор вращательных постоянных. Из 19 обнаруженных полос поглощения у 11 была хорошо разрешена вращательная структура. Определены вращательные постоянные  $B_0 = 1,17654 \pm 0,00004$  см<sup>-1</sup> и  $D_0 = (1,51 \pm 0,03) \cdot 10^{-6}$  см<sup>-1</sup> и константы *l*-удвоения для вырожденных колебаний  $q_4 = 5,27 \cdot 10$  см<sup>-1</sup> и  $q_5 = 4,63 \cdot 10^{-3}$  см<sup>-1</sup>. Сравнение вращательных констант для разных наблюденных состояний показывает, что данных еще недостаточно для получения удовлетворительного набора вращательных постоянных.

Из резюме авторов

Х. 1962.17

C<sub>2</sub>H<sub>2</sub>

И.К.

1961

8 В138. ИК-спектр ацетилена. Wiggins T. A.,  
Plyler Earle K., Tidwell Eugene D. Infrared  
spectrum of acetylene « J.Opt. Soc. America», 1961, 51,  
№ 11, 1219—1225 (англ.)

С целью определения более точных значений вращательных постоянных молекулы C<sub>2</sub>H<sub>2</sub> исследован ИК-спектр поглощения ацетилена, полученный в области 2500—4150 см<sup>-1</sup> при разрешении до 0,03 см<sup>-1</sup>. Наблюдено 19 различных полос. Для 11 достаточно интенсивных и хорошо разрешенных полос выполнен анализ вращательной структуры. Значения постоянных  $B_0 = 1,17654 \pm \pm 0,00004$  и  $D_0 = 1,51 \pm 0,03 \cdot 10^{-6}$  см<sup>-1</sup> получены из анализа пяти полос, включающих основное колебательное состояние молекулы. Значения постоянных  $B_v$  для 10 различных верхних состояний определены исходя из полученных

РХСФ 1962  
8В138

*См. на обороте*

значений разностей  $B_0 - B_v$ . Для ряда состояний вычисленные значения постоянных  $a_v$  отличаются от измеренных, указывая на необходимость учета постоянной  $\gamma$  в выражении для  $B_v$ . Для вырожденных колебаний  $v_1$  и  $v_5$  определены постоянные удвоения  $l$ -типа, равные  $q_4 = 5,2 \cdot 10^{-3} \text{ см}^{-1}$  и  $q_5 = 4,6 \cdot 10^{-3} \text{ см}^{-1}$ . Указывается, что для более точного определения вращательных постоянных молекулы  $C_2H_2$  требуются дополнительные данные, позволяющие учесть резонанс между 00100- и 010111-состояниями. Из разностных полос, включающих уровень  $v_4 = 1$ , определено значение частоты основного колебания  $v_4 = 612,88 \text{ см}^{-1}$ .

К. Василевский

1961

C<sub>2</sub>H<sub>2</sub>

Infrared spectrum of acetylene. T. A. Wiggins, Earle K. Plyler, and Eugene D. Tidwell (Pennsylvania State Univ., University Park). *J. Opt. Soc. Am.* 51, 1219-25(1961).—The range was 2500-4150 cm.<sup>-1</sup>, the instrument a grating with 10,000 lines per in., and the absorption cell, with an optical path of 6 in., was used at pressures of 1-120 mm. and at temps. up to 60°. Of 19 observed bands, 11 were used for rotational analysis. Consts. for the ground state are  $B_0 = 1.17654 \pm 0.00004$ ,  $D_0 = 1.51 \pm 0.03 \times 10^{-6}$  cm.<sup>-1</sup>. For the degenerate modes, the *l*-doubling consts. are  $q_4 = 5.2$ ,  $q_5 = 4.6 \times 10^{-3}$  cm.<sup>-1</sup>. The use of difference bands involving the  $v_4 = 1$  level gave 612.88 cm.<sup>-1</sup> as the vibrational frequency. Addnl. data and consideration of resonances will be needed in order to obtain satisfactory rotational consts.

George M. Murphy

C.A.1962.56.13  
18065 hi

*С<sub>2</sub>H<sub>2</sub>*  
*peres*

1896  
1 B91. Возбужденные состояния ацетилена. Woznicki W. Excited states of acetylene. «Bull. Acad. polon. sci. Ser. sci. math., astron. et phys.», 1961, 9, № 4, 273—279 (англ.; рез. русск.)

Форма молекулы ацетилена в основном ( $D_{\infty h}$ ) и первом возбужденном ( $C_{2h}$ ) электронных состояниях интерпретируется на основе неэмпирич. метода антисимметризованных МО. Волн. ф-ции обоих состояний строятся с учетом изменения гибридизации атомов С от  $sp$  к  $sp^2$ , при этом для МО используется 2-центровое приближение. МО внешних  $\pi$ -электронов, электронов в линейном ацетилене точно ортогональны, но МО электронов обстоява ортогональны лишь приближенно ( $s_{ij} \sim 0,01$ ). Для вычисления молекулярных интегралов применялись слейтеровские АО с  $\delta = 1,625$ . 3- и 4-центровые интегралы рассчитывались приближенно по Малликену, остальные—точно. Полная энергия  $E$  в зависимости от угла  $\theta$  (или параметра гибридизации) имеет минимум при  $\theta = \pi$  в основном и при  $\theta = 2\pi/3$  в возбужденном состояниях. Энергия соответствующего перехода  ${}^1\Sigma_g^+ \rightarrow {}^1A_{1u}$  равна 6,38 эв, что согласуется с известным эксперим. результатом. Отмечается, что эффект  $\sigma-\pi$ -взаимодействия не мал и подлежит учету в аналогичных обстоятельствах.

— В. Быховский

Ф. 1962. 1B

C<sub>2</sub>H<sub>2</sub>

bogus  
C<sub>2</sub>H<sub>2</sub>

calc.

Pyruvate

Excited states of acetylene. W. Woznicki (N. Copernicus Univ., Torun, Poland). *Bull. Acad. Polon. Sci., Ser. Sci., Math., Astron. Phys.* 9, 273-9(1961)(in English). An attempt is made to give a theoretical explanation to the exptl. known fact that the symmetry of mols. in excited states may differ entirely from that in the normal state. Calens. were carried out for the C<sub>2</sub>H<sub>2</sub> mol. by means of the A.S.M.O. method. In constructing the M.O. the 2-center approxn. was applied. By minimization of the total energy of the mol., it is found that C<sub>2</sub>H<sub>2</sub> in the normal state  $^1A_g$ , is linear and possesses the symmetry  $^1\Sigma_g^+$ , whereas in the excited state  $^1A_u$ , the mol. is bent to a C=C-H angle of 120°, the energy of the transition  $^1\Sigma_g^+ \rightarrow ^1A_u$  amounting to 6.38 e.v. ( $\lambda \sim 1950$  Å.). These results are in agreement with the exptl. data.

H. Kehiaian

C.A. 1963. 59-6

5927h-5928a

9346-17

1962

(Одзор)  $O_2$ ; He;  $CH_4$ ;  $N_2$ ;  $CO$ ;  $CO_2$ ,  $C_2H_2$

базуши б.а.

Учен. арх. наук., 1962, 77, № 4, 639-648

Использование вращат. и вращат.-  
коэффициент-спектров газов методом

4119-IV

~~4119-IV~~

1962

C<sub>2</sub>H<sub>2</sub>, CH<sub>3</sub>F, CH<sub>3</sub>Cl, CH<sub>3</sub>Br, CH<sub>3</sub>I, CH<sub>3</sub>OH,  
CH<sub>3</sub>SH, CH<sub>3</sub>SiH<sub>3</sub>, CH<sub>3</sub>GeH<sub>3</sub>, C<sub>2</sub>H<sub>4</sub>ND,  
C<sub>2</sub>H<sub>4</sub>O, C<sub>2</sub>H<sub>4</sub>S, CH<sub>3</sub>NH<sub>2</sub>, CH<sub>3</sub>Zi (A),  
C<sub>2</sub>H<sub>6</sub> (AD)

Bykova g. 26.

J. Prakt. Chem., 1962, 16,

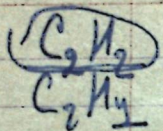
n 1-283-112

HQ, M.

Ecr. g. K.

1962

Bp-2096-IV



Ionization and dissociation of molecules by monoenergetic electrons. V. C<sub>2</sub>H<sub>2</sub> and C<sub>2</sub>H<sub>4</sub>. Jacques E. Collin. *Bull. Soc. Chim. Belges* 71, 15-31(1962). The ionization and dissociation of C<sub>2</sub>H<sub>2</sub> and C<sub>2</sub>H<sub>4</sub> were studied by means of a monoenergetic electron beam, with Ar as reference. The potentials observed are in accord with M.O. theory. Observed potentials for C<sub>2</sub>H<sub>2</sub> were 11.50, 13.25, and 16.95 e.v.; for C<sub>2</sub>H<sub>4</sub>, they were 10.48, 11.74, 13.31, 14.64, and 19.28 e.v. The appearance potential for C<sub>2</sub>H<sub>3</sub><sup>+</sup> was 14.10 e.v., while C<sub>2</sub>H<sub>2</sub><sup>+</sup> appeared at 13.40 e.v.

John S. Thayer

Mass-chromop

9

t2

C.A.1962. 57.5  
5403a

1962

ЭД - 2096 - IV

 $C_2H_2$  $C_2H_4$  $D(C_2H_3 - H)$ 

Месс-спектр,

побеждающий

 $\Delta H_f (C_2H_3)$ 

З Д126. Ионизация и диссоциация молекул моноэнергетическими электронами. V. Ацетилен и этилен. Collin Jacques E. Ionization and dissociation of molecules by monoenergetic electrons. V. Acetylene and ethylene. «Bull. Soc. chim. belg.», 1962, 71, № 1—2, 15—31 (англ.; рез. франц.)

Исследованы кривые появления молекулярных и осколочных ионов, образующихся при ионизации  $C_2H_2$  и  $C_2H_4$  электронным ударом. Для ионизации использованы электроны, монохроматизированные методом Фокса (РЖФиз. 1956, № 10, 27904). Обнаруженные на кривых появления изломы позволили определить первый и более высокие (соответствующие возбужденным состояниям иона) потенциалы ионизации (ПИ). Для  $C_2H_2$  измерены следующие ПИ (в эВ):  $11,50 \pm 0,10$ ,  $13,25 \pm 0,19$  и  $16,95 \pm 0,30$ ; для этилена:  $10,48 \pm 0,13$ ,  $11,74 \pm 0,17$ ;  $13,31 \pm 0,20$ ,  $14,64 \pm 0,58$  и  $19,28 \pm 0,30$ . Исследование кривой появления осколочных ионов  $C_2H_3^+$  из  $C_2H_4$  позволило определить ПИ для радикала  $C_2H_3$  в предположении, что  $D(C_2H_3 - H) = 105$  ккал/моль. Получены следующие ПИ ( $C_2H_3$ ):  $9,55$ ;  $10,93$ ;  $12,70$ ;  $13,88$  и  $19,70$  (в эВ). Широкое обсуж-

Р. 1963. 38

см. н. о.

дение результатов позволило установить состояния электронов, определяющих основной и высшие потенциалы ионизации. Ч. III РЖХим, 1960, № 16, 64232.

Е. Франкевич

у от  
на

1962

C<sub>2</sub>H<sub>2</sub>

checklist

Infrared spectra and hydrogen bonding of acetylenes.  
Charles S. Kraihanzel, Sr. (Univ. of Wisconsin, Madison).  
*Univ. Microfilms* (Ann Arbor, Mich.), Order No. 62-1181,  
149 pp.; *Dissertation Abstr.* 22, 3006(1962). CA

C.A. 1962.57.3

2993 d

B95-8218-IV

1962

C<sub>2</sub>H<sub>2</sub> · Tidwell W. J., Plyler E. K.,

UK energy Tidwell E. D.

C<sub>2</sub>H<sub>2</sub> J. Chem. Phys., 1362, 37, 1981.

UK energy assumed,

at. 1900-3400 cm<sup>-1</sup>. 15 noise gain. aver

$$\nu_y' = 518,38, \nu_5' = 677,27 \text{ cm}^{-1}$$

$$D_s = 0,99156 \pm 0,00004 \text{ cm}^{-1}$$

$$D_0 = (1,17 \pm 0,07) \cdot 10^{-6} \text{ cm}^{-1}$$

I962

C<sub>2</sub>H<sub>2</sub>

Laurie-Victor-W., Herschbach Dudley

R

J.Chem.Phys., 37, No 8, 1687

Влияние колебаний на определение молекулярной структуры. II. Средние структуры, полученные по спектроскопическим данным.

1962

C<sub>2</sub>H<sub>2</sub>C<sub>2</sub>H<sub>6</sub>N<sub>2</sub>OSO<sub>2</sub>C<sub>3</sub>O<sub>2</sub>

структура



18638

18638

18638

22 Б137. Определение молекулярных постоянных из спектров с высоким разрешением. Plyler E. K. The determination of molecular constants from high resolution spectra. «Internat. Sympos. Molec. Struct. and Spectrosc. Tokyo, 1962», S.l., s.a., C307/1—C307/4 (англ.)

На ранее описанном приборе получена с высоким разрешением вращательная структура полосы  $v_2 + v_6$  в ИК-спектре этана (I). Определены значения геометрич. параметров I:  $r_0(C-H) = 1,108$  и  $r_0(C-C) = 1,536$  Å. Из анализа вращательной структуры спектров C<sub>2</sub>H<sub>2</sub>, C<sub>2</sub>HD и C<sub>2</sub>D<sub>2</sub> получено  $r_0(C=H) = 1,0566$  и  $r_0(C\equiv C) = 1,2088$  Å. Кратко охарактеризованы результаты, полученные при исследовании ИК-спектров N<sub>2</sub>O, SO<sub>2</sub> и C<sub>3</sub>O<sub>2</sub>.

В. Александров

xc-1963-22

1962

$C_2 H_2$

Свердловск д. д.

и  
нитри.  
Газеты.

Окн. и спектр., 1962, 13, брн. I,

52-55.

Соотношение между нас-  
точниками азота со-  
держанием синтези-  
руемого изотопа  
никотинамид-.

1962



) Some new metastable states of molecules. William Lichten (Univ. of Chicago). *J. Chem. Phys.* 37, 2152-4(1962). A beam of mols. in the ground state was bombarded with electrons of controlled energy, excited to a metastable state, and detected on a metal surface which acted as a secondary electron emission detector. Mol. O<sub>2</sub> existed in a metastable state at an electron energy of 12 e.v. The lifetime was at least 1 msec. Metastable states were also observed in C<sub>2</sub>H<sub>4</sub> and C<sub>2</sub>H<sub>2</sub>. The lifetimes, fractions of a msec., were compatible with the assumption of triplet states.

Henry Leidheiser, Jr.

0

2 Xaps

C. A. 1963.58.9

1056d

1963

B90-7412-IV

Spectroscopic studies on molecular vibrations and Coriolis coupling in acetylenes, diiodoacetylene, and cyanogen. J. Brunvoll and S. J. Cyvin (Norges Tek. Hogskole, Trondheim, Norway). *Acta Chem. Scand.* 17(5), 1412-16(1963)(in English). Spectroscopic calcns. are reported for some linear sym.  $X_2Y_2$ -type mols.

David L. Hatt

C<sub>2</sub>Y<sub>2</sub>  
C<sub>2</sub>N<sub>2</sub>  
C<sub>2</sub>H<sub>2</sub>

C.A. 1963. 59. 12  
13454 f

1948

2096-IV

1963

C<sub>2</sub>H<sub>2</sub> (J)

~~Collin Jacques E.,  
Ionization and dissociation of  
molecules by monoenergetic electrons.  
V. Acetylene and ethylene. "Bull. Soc.  
chim. belg.", 1962, 71, № 1-2, 15-34  
(англ.; рез. франц.)~~

РХ., 1963, 2, Б37

10

μ

ЭГФ орн

2099-IV

1963

212 (OK-1036.)

Lower energy, i.e., just below the s.p.o.  
(split-p-orbital) method. II. Further  
definition and application to acetylene.  
"Kroc. Roy. Soc.", 1961, A264, p. 1319, 431-  
444 (ans.)

Mar. 1963, 4, 623

No.

10

*C<sub>2</sub>H<sub>2</sub>*

22324) ROTATION-VIBRATION CONSTANTS OF  
ACETYLENE. Earle K. Plyler (National Bureau of  
Standards, Washington, D. C.), Eugene D. Tidwell, and  
T. A. Wiggins. J. Opt. Soc. Am., 53: 589-93 (May 1963).

*Cuillip*

The study of the absorption spectrum previously reported was extended to include the 1900- to 2200- and the 4400- to 6750- $\text{cm}^{-1}$  regions. Rotational analysis provides 20 states from which the following constants are determined:  $\alpha_1 = 6.82$ ,  $\alpha_2 = 6.30$ ,  $\alpha_3 = 5.60$ ,  $\alpha_4 = -1.30$ ,  $\alpha_5 = -2.20 \times 10^{-3} \text{ cm}^{-1}$  and  $B_e = 1.18240 \text{ cm}^{-1}$ . This value was used with  $B_e$  values for  $\text{C}_2\text{HD}$  and  $\text{C}_2\text{D}_2$  to determine the bond length of  $r_e(\text{C}-\text{H}) = 1.0603$  and  $r_e(\text{C} \equiv \text{C}) = 1.2034 \text{ \AA}$ . A total of 46 states was available, from this and other work, to determine a set of vibrational constants. About one-half of the 23 constants were determined with acceptable precision. The remaining constants are still in doubt due, primarily, to resonances.  
(auth)

1963

121

8645-1

88

1  
Q  
B9

NASA: 1963-14-13

B.P - 8645-12

1963

C<sub>2</sub>H<sub>2</sub>  
C<sub>2</sub>HD

C<sub>2</sub>D<sub>2</sub>

W.V. Chey

Rotation-vibration constants of acetylene. Earle K. Plyler,  
Eugene D. Tidwell (Natl. Bur. of Stds., Washington, D.C.),  
and T. A. Wiggins. *J. Opt. Soc. Am.* 53, 589-93(1963). The  
study of the absorption spectrum previously reported (CA 57,  
15065h) was extended to include the 1900-2200- and the 4400-  
6750-cm.<sup>-1</sup> regions. Rotational analysis provides 20 states  
from which the following consts. are detd.:  $\alpha_1 = 6.8_0$ ,  $\alpha_2 = 6.3_0$ ,  
 $\alpha_3 = 5.6_0$ ,  $\alpha_4 = -1.3_0$ ,  $\alpha_5 = -2.2 \times 10^{-3}$  cm.<sup>-1</sup>, and  $B_e =$   
1.1824<sub>0</sub> cm.<sup>-1</sup>. This value was used with  $B_e$  values for C<sub>2</sub>HD  
and C<sub>2</sub>D<sub>2</sub> to det. the bond length of  $r_e(C-H) = 1.060_3$  and  
 $r_e(C\equiv C) = 1.203_4$  Å. A total of 46 states was available, from  
this and other work, to det. a set of vibrational consts. About  
1/2 of the 23 consts. were detd. with acceptable precision. The  
remaining consts. are still in doubt due, primarily, to resonances.

CA

C.A. 1963. SB. 10

97716

1963

7714 - IV - B9

( COCHN<sub>2</sub>, C<sub>2</sub>H<sub>2</sub>, C<sub>2</sub>HCl ) J

Foffani A., Pignataro S., Cantone B.,  
Grasso F.

Nuovo cimento, 1963, 29, N 4,  
918-929

Mass spectra of ...

J

BP-2862-III; BP-IV-494  
C<sub>2</sub>H<sub>2</sub> (<sup>1</sup>E)

1963

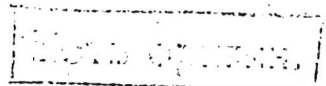
Gilson B.R., Arents J.

J.Chem.Phys., 1963, 38, N 7,  
1572-1575 (amu.)

Theoretical study of ...

P<sup>o</sup>., 1964, 4D74

10



$C_2 H_2$

Graner G.

1963

Spectrochim. acta, 19, n<sup>o</sup> 12,  
2113.

структура

Определение молеку-  
лярной структуры на  
основе зондирующей  
мOLEКУЛЫ носимых  
последовательно.  
(ал. KCN)

$C_2H_2$  Herzberg G.

1963  
1009

"Discussions Far. Soc"

Chemsp 1963 N 35

супърн. "Determination of the Struct..  
J. boyd. aer.

C<sub>2</sub>H<sub>2</sub>

ВФ-10094-IV

-1963

Жарнов Н.И.

(Vi)

"Оптика и спектроскопия",

1963, 14, № 4, 580-582

К оценке возможностей выкот-  
кини...

$C_2H_2$   
 $C_2H_2^+$   
—  
(γ)

| Bop - 9730 - IV | 1963

Lindholm E,

Szabo J., Wilmenius P.

"Arkiv för Fysik" 25, nr 30,

417-424, 1963

*C<sub>2</sub>H<sub>2</sub>*  
*спектр*

B90-8645-IV

1963

6 Б222. Вращательно-колебательные постоянные ацетилена. Plyer Earle K., Tidwell Eugene D., Wiggins T. A. Rotation-vibration constants of acetylene. «J. Opt. Soc. America», 1963, 53, № 5, 589—593 (англ.)

Исследованы спектры поглощения ацетилена в области 1900, 2200 и 4400—6750  $\text{см}^{-1}$ . Для определения колебательных постоянных использованы 46 состояний. Р. Ф.

*x · 1965 · 6*

1963

10094-1D

CH<sub>4</sub>, S<sub>2</sub>:2 (V<sub>i</sub>)

Прилов Н.А.

Оптическая спектроскопия, ИОСЗ, 14.

λ λ 580-582

П оцените точности выполненных ...

J

M-462-12

1964

C<sub>2</sub>H<sub>2</sub>  
C<sub>2</sub>HD  
C<sub>2</sub>D<sub>2</sub>  
ИК-спектр

9 Д294. ИК-спектры твердого ацетилена. Bottger Gagu Lee. Infrared spectra of solid acetylene. Doct. diss. Univ. Washington, 1964, 87pp. Ref. «Dissert. Abstrs», 1964, 25, № 5, 2774 (англ.)

Изучены ИК-спектры поглощения поликристаллических пленок  $\text{C}_2\text{H}_2$  (I),  $\text{C}_2\text{HD}$  (II) и  $\text{C}_2\text{D}_2$  (III) в области 2,2—22  $\mu$  при температуре 73° К. Приведено сравнение спектров твердой фазы и паров I и дана разбивка полос по типам колебаний. Часть полос приписана комбинациям колебаний решетки и фундаментальных колебаний I. Наблюдавшаяся мультиплетная структура полос фундаментальных колебаний указывает на то, что в низкотемпературных модификациях I и III молекулы принадлежат к типу симметрии  $\text{C}_{2h}$ . Спектральное проявление эффектов изотопного замещения при переходе от I к III

9.1965. 9д

обсуждено с точки зрения дипольных взаимодействий. Изучена температурная зависимость спектра полос  $\nu_5$  I. Установлено, что при отжиге поликристаллич. пленок I происходят необратимые изменения спектров, которые нельзя объяснить изменением размера кристаллов. Изучены также спектры I в твердых матрицах (криптон, ксенон). при т-ре 22°К, однако условия формирования матрицы оказывали существенное влияние на спектр.

C<sub>2</sub>H<sub>2</sub>

u. K.

infrared

1964

Infrared spectra of crystalline C<sub>2</sub>H<sub>2</sub>, C<sub>2</sub>HD, and C<sub>2</sub>D<sub>2</sub>. G. L. Bottger and D. F. Eggers, Jr. (Univ. of Washington, Seattle). J. Chem. Phys. 40(7), 2010-17(1964). The infrared absorption spectra of polycryst. films of C<sub>2</sub>H<sub>2</sub>, C<sub>2</sub>HD, and C<sub>2</sub>D<sub>2</sub> were examd. at 63°K. and 4500 and 450 cm.<sup>-1</sup> The spectra of the solid state and the gas phase of the various acetylenes are compared and the appropriate vibrational assignments are made. Several absorptions attributable to combinations of lattice modes and mol. fundamentals were found. The observed multiplet structure of the fundamental vibrations indicates that in the low-temp. modification of C<sub>2</sub>H<sub>2</sub> and C<sub>2</sub>D<sub>2</sub> the mols. are located at sites of C<sub>2h</sub> symmetry. Spectra of various solid solns. composed of mixts. of isotopic species were obtained and their significance discussed. The effect of isotopic substitution on the splittings in the ν<sub>5</sub> region led to the conclusion that the dipole-dipole coupling model is sufficient to explain the observed spectra. RCJQ

C.A. 1964:60:9

100679h

$C_2H_2$

1964

U.K.

**19935 INFRARED SPECTRA OF SOLID ACETYLENE.**  
Gary Lee Bottger, Thesis, Seattle, Univ. of Washington,  
1964. 87p.

The infrared absorption spectra of polycrystalline films of  $C_2H_2$ ,  $C_2HD$ , and  $C_2D_2$  were examined at 63°K in the frequency range between 4500 and 450  $\text{cm}^{-1}$ . The spectra of the solid-state and the gas phase of the various acetylenes are compared and the appropriate vibrational assignments are made. Several absorptions attributable to combinations of lattice modes and molecular fundamentals were found. The observed multiplet structure of the fundamental vibrations indicates that in the low-temperature modifica-



NSA 1965.19.11

tion of  $C_2H_2$  and  $C_2D_2$  the molecules are located at sites of  $C_{2h}$  symmetry. Spectra of various solid solutions composed of mixtures of isotopic species were obtained and their significance is discussed. The effect of isotopic substitution on the splittings in the  $\nu_5$  fundamental region led to the conclusion that the dipole-dipole coupling model is sufficient to explain the observed spectra. The spectrum of the  $\nu_5$  fundamental of acetylene was found to have a pronounced temperature dependence. Nonreversible spectral changes observed when the polycrystalline films were annealed could not be explained merely in terms of an increase in

sample crystallinity. The spectrum was also found to be sensitive to the temperature at which the acetylene was deposited. Matrix isolation studies of the infrared spectra of acetylene in various solid rare-gas crystals at 22°K are presented. The  $\nu_5$  adsorption frequencies of monomeric acetylene suspended in krypton and xenon solid solutions were obtained. The rather gross effects that occur when the rate of sample deposition is varied are described in detail. A careful investigation was made of certain concentration-dependent multiple absorptions found in the spectra. (Dissertation Abstr., 25: No. 5, Nov. 1964)

1964

II-9557

CH(Do); C(A Hs); C<sub>2</sub>H<sub>2</sub> (Do)

Brewer R.G., Kester F.L.

J. Chem. Phys., 1964, 40(3),  
812-17

Dissociation energy of the ...

J, Be

C<sub>2</sub>H<sub>2</sub>

B9 - M 48-IV | 1964.

Sibeler V.H.

Reese R.M.

(y)

"J. Res. Nat. Bur. Stand"  
Phys. Chem." 1961, 68A, N.Y.,  
409 - 417.

C<sub>2</sub>H<sub>2</sub>, C<sub>2</sub>D<sub>2</sub>

BD-9596-15 | 1964

(I)

DiBeloz K.H.,  
Reese R.M.

J. Chem. Phys., 1964,  
40 (7), 2034-35

1964

C<sub>2</sub>H<sub>2</sub>  
N<sub>2</sub>  
C<sub>3</sub>  
 lib. exp. parag

✓ Electronic structure of molecules containing *sp* hybrid atoms.  
 I. Acetylene, diacetylene, nitrogen. Andre Julg and Alain Pellegatti (Fac. Sci., Marseille, France). *Theoret. Chim. Acta* 2(3), 202-9(1964)(in French). The improved L.C.A.O. theory is used to study the electronic structure of acetylene, diacetylene, and N mols. Calcd. vertical transition energies are in good agreement with exptl. A relation between total mobile bond order ( $\pi + \pi'$ ) and bond distance is proposed, which applies also to atoms with different effective nuclear charges. II. The C<sub>3</sub> molecule. *Ibid.* 210-14. The improved L.C.A.O. theory is applied to the C<sub>3</sub> mol. In order to satisfy the necessary equality between the non-diagonal matrix elements  $L_{pq}$  and  $L_{qp}$ , an electron shift is introduced along the  $\sigma$  bonds. The net charges borne by the terminal atoms are + 0.09. The computed C—C distance (1.286 Å) is in good agreement with expt. The first  $N \rightarrow V$  transition energies:  $^1\Sigma_g^+ \rightarrow ^1\Sigma_u^-$  and  $^1\Sigma_g^+ \rightarrow ^1\Delta_u$  are 4.7 and 4.8 e.v. These values are not in contradiction with expt., which places these transitions beyond 4.1 e.v., a limit from which the terrestrial atm. absorption makes it impossible to study comet spectra.

RCTC

C. A. 1964 61 v5 5080 e



$C_2^{12}H_2$ 

спектров

16 Б126. Инфракрасные спектры  $C_2^{12}H_2$ ,  $C^{12}C^{13}H_2$  и  $C_2^{13}H_2$  с высоким разрешением. Lafferty Walter J., Thibault Robert J. High resolution infrared spectra of  $C_2^{12}H_2$ ,  $C^{12}C^{13}H_2$ , and  $C_2^{13}H_2$ . «J. Molec. Spectrosc.», 1964, 14, № 1, 79—96 (англ.)

Получены с высоким разрешением ИК-спектры поглощения  $C_2^{12}H_2$  (I),  $C^{12}C^{13}H_2$  (II) и  $C_2^{13}H_2$  (III) в области 3200—3400  $\text{см}^{-1}$  (I), 2600—2800, 3300—3400 и 6400—6600  $\text{см}^{-1}$  (II, III). Произведен анализ вращательной структуры полос резонирующих колебаний  $v_3$  и  $v_2 + v_4' + v_5'$  I. Для невозмущенных частот получены значения 3288,66 ( $v_3$ ) и 3288,11  $\text{см}^{-1}$  ( $v_2 + v_4' + v_5'$ ). Отнесение более высокой частоты к  $v_3$  подтверждается анализом спектров II и III в этой области. Получены следующие значения невозмущенных частот ( $\text{см}^{-1}$ ): для II 3361,59<sub>4</sub> ( $v_1$ ), 3284,2<sub>1</sub> ( $v_3$ ), 607,21<sub>3</sub> ( $v_4$ ), 728,23<sub>1</sub> ( $v_5$ ); для III 3279,4<sub>9</sub> ( $v_3$ ), 602,77<sub>7</sub> ( $v_4$ ). Определены такие значения вращательных постоянных  $B_0$ ,  $B_c$ ,  $D_0$  и  $\alpha$  для исследованных колебательных переходов. Параметры  $r_s$  для ацетилена равны 1,057<sub>6</sub> (С—Н) и 1,2070А (С≡С).

В. Александри

X·1965·16

*144*  
 $C_2^{12}H_2$

6 Д232. ИК-спектры высокого разрешения  $C_2^{12}H_2$ ,  $C^{12}C^{13}H_2$  и  $C_2^{13}H_2$ . ~~Lafferty Walter J., Thibault Robert J.~~ High resolution infrared spectra of  $C_2^{12}H_2$ ,  $C^{12}C^{13}H_2$ , and  $C_2^{13}H_2$ . «J. Molec. Spectrosc.», 1964, 14, № 1, 79—96 (англ.)

Исследованы две парал. полосы  $C_2^{12}H_2$  с резонансом Ферми  $\nu_3$  и  $\nu_2 + \nu_4^1 + \nu_5^1$  в области 3200—3400  $\text{см}^{-1}$ . Расчитанные невозмущенные частоты для  $\nu_3$  и  $\nu_2 + \nu_4^1 + \nu_5^1$  равны 3288,66 и 3288,11  $\text{см}^{-1}$  соответственно. Отождествление  $\nu_3$  с высшей частотой подтверждено исследованием этой диады для  $C^{13}C^{12}H_2$  и  $C_2^{13}H_2$ . Получены спектры поглощения исследованных в-в в области 2600—2800, 3300—3400 и 6400—6600  $\text{см}^{-1}$ . Для  $C^{13}C^{12}H_2$  получены невозмущенные колебательные частоты. Несколько таких частот рассчитано для  $C_2^{13}H_2$ . Найдена константа равновесия  $B$  для изотопных молекул и эти константы использованы для точного расчета расстояния  $r_e$  в ацетилене. Библ. 22 назв.

*III-БЧД*

спектр  
(2)

90. 1965. 60

1964.

C<sub>2</sub>H<sub>2</sub>

Лазарев Ю. А.

V<sub>i</sub>

Анн. и спекр., XVII, №3, 364.

Среднее землетрясение наступило  
после землетрясения 1964 г.  
и землетрясения 1965 г.  
все это в Чечено-Дагестане.

C<sub>2</sub>H<sub>2</sub>/γ; (C<sub>2</sub>H<sub>2</sub>)<sup>+</sup>(γ) 9730-IV 1964.

Lindholm E., Szabo I., Wilmerius P.

Arkiv fys., 1964, 25, nr 5, 417-424 (avro)

Dissociation of acetylene molecule ions  
formed in charge exchange collisions  
with positive ions. Ion-molecule  
reactions of acetylene

Preprint, 1965, 2D105

ECTS OPENING  
18 (P)  
+1

C<sub>2</sub>H<sub>2</sub>

BQP - 5521-IV 1961

Illerad E., Yngkvist M.G.

"J. Chem. Phys", 1961, 40,  
N 11, 3263 - 75

(γ, ΔH<sub>f</sub>)

В92-9793-15

1964

C<sub>2</sub>H<sub>2</sub>

8 Д133. Коэффициенты поглощения и photoionизации ацетилена, пропина и 1-бутина. Nakayama Toshi, Watapabe K. Absorption and photoionization coefficients of acetylene, propyne, and 1-butyne. «J. Chem. Phys.», 1964, 40, № 2, 558—561 (англ.)

Фотоэлектрическим методом измерены коэф. поглощения и photoionизации ацетилена (I), пропина (II) и 1-бутина (III) в области 1050—2000 Å. Спектр поглощения I состоит из двух резких серий Ридберга, спектр II из трех более диффузных, а спектр III из трех весьма диффузных серий. Все серии в спектре каждого в-ва сходятся к одному пределу, равному для I, II и III соответственно 11,41; 10,36 и 10,18 эв и равному потенциальному ионизации этих молекул, определенному из криевых photoionизации. Предложена идентификация некоторых полос.

Ф. Вилесов

Ф. 1964 - 80

Cette A. D. Walsh.

1364

Ann. Rept. Progr. Chem. (Chem.  
Soc. London) G1, 8-26.

Electronic spectra of polyatomic  
molecular.

C<sub>2</sub>H<sub>2</sub>

Al-Jobaury M.I.,  
May D.P.  
Turner D.W.

1965

(5)

PP-28x9-III

J. Chem. Soc.,  
1965 rag, 616-622

(C<sub>2</sub>H<sub>2</sub>O<sub>2</sub>) III



$C_2 H_2$

Nicholson A. J. C.

11965

J. Chem. Phys., 43, n<sup>o</sup> 4, 1171.

(7)  
BP-IV-11002

Кривые эффективности  
демодифракции. II. Статистическое  
исследование структур.

(ав. НСЛ)

$C_2H_2$

Kб.-икн.  
пачки

Pople J.A.,  
Santry D.P.

1965

Molec. Phys., 9, N4, 301

Молекулярно-орбиталь-  
ная теория гиббсово-  
гов. II. Газ, жидкость,  
алгеминес.

(Cн.  $C_2H_6$ ) III

C<sub>2</sub>H<sub>2</sub>

1965

Molecular Rydberg transitions in rare-gas matrixes. Evidence for interaction between impurity states and crystal states. E. S. Pysh, Stuart A. Rice, and Joshua Jortner (Univ. of Chicago). *J. Chem. Phys.* 43(9), 2997-3004(1965)(Eng). As a 1st step in characterizing mol. Rydberg states in the solid state, the absorption spectra arising from C<sub>2</sub>H<sub>2</sub> and C<sub>6</sub>H<sub>6</sub> impurity states in solid Kr and Ar in the far-uv region were obtained.

The 1st member of the C<sub>2</sub>H<sub>2</sub> Rydberg series, which appears at 8.155 ev. in the gas phase, is observed to be shifted to 8.67 ev. in a Kr matrix and to 9.01 ev. in an Ar matrix. These large energy shifts are discussed, particularly with reference to the optical spectra of rare-gas solids and rare-gas alloys, where similar large blue shifts are observed. The far-uv spectra of C<sub>6</sub>H<sub>6</sub> trapped in Kr and Ar matrixes show a qual. different phenomenon. The Rydberg states of C<sub>6</sub>H<sub>6</sub> are observed to interact with conduction-band continuum states to exhibit anomalous Fano-type line shapes. The Rydberg states repulse the neighboring continuum states to produce sharp decreases in the continuum absorption intensity. These results are discussed in connection with other systems which show Fano-type line shapes.

63 · 13

C. A 1965  
7163 h-1

RCJQ

*C<sub>2</sub>H<sub>2</sub>*

*1985*

*V.*

11 Б115. Изучение возмущающего действия, оказываемого различными сжатыми газами на инфракрасные полосы поглощения ацетилена. *Savary André, Robin Stéphane. Etude de perturbations de bandes infrarouges de l'acétylène par divers gaz comprimés.* «С. т. Acad. sci.», 1965, 261, № 20, 4010—4013 (франц.)

Прослежено изменение комбинац. полос поглощения параллельного  $\nu_4 + \nu_5$  (*A*) (центр полосы 1328, 18  $\text{см}^{-1}$ ) и перпендикулярного типов  $\nu_1 + \nu_5$  (*B*) (4092, 75  $\text{см}^{-1}$ ) газ. ацетилена в смеси его с  $\text{N}_2$  и  $\text{Ar}$  соотв. при давл. последних 50—700 атм. Полоса *A*, не имеющая *Q*-ветви

*X · 1966*

*II*

в нормальных условиях, при давл. от 500 атм и выше обнаруживает появление центрального максимума, сильно перекрываемого  $P$ - и  $R$ -ветвями и смещающегося в сторону низких частот при возрастании давл. Возмущающее действие  $N_2$  более заметно по сравнению с  $Ar$ . Полоса  $B$ , характеризующаяся структурой с  $P$ ,  $Q$  и  $R$ -ветвями в нормальных условиях, при давл. возмущающего газа при 50 атм и выше теряет тонкую структуру. Предложено объяснение наблюденного эффекта.

Б. Рассадин

1965

12 Д252. ИК-полосы поглощения ацетилена. Ч. I.  
Анализ полос в области  $13,7 \mu$ . Scott J. F., Rao K.  
N a g a h a r i. Infrared absorption bands of acetylene.  
Part. I. Analysis of the bands at  $13,7 \mu$ . «J. Molec. Spectrosc.», 1965, 16, № 1, 15—23 (англ.)

Получен спектр поглощения ацетилена в области  $13,7 \mu$  с высоким разрешением. Длина поглощающего слоя 2 м, давление газа 1 мм рт. ст. Анализ вращательной структуры позволяет отнести наблюденные линии к полосе  $v_5$  и к четырем разностным полосам  $[2v_5^0 - v_5]$ ,  $[2v_5^2 - v_5]$ ,  $[(v_4 + v_5)^0 - v_4]$  и  $[(v_4 + v_5)^2 - v_4]$  молекулы  $^{12}\text{C}_2\text{H}_2$  и полосе  $v_5$  молекулы  $^{12}\text{C}^{13}\text{CH}_2$ . Определены центры полос и разности  $B' - B''$ . Оценены колебательные постоянные  $\omega_5^0$ ,  $x_{55}$ ,  $g_{55}$ ,  $x_{45}$  и  $g_{45}$  молекулы  $^{12}\text{C}_2\text{H}_2$ . Отмечено чередование интенсивности вращательных линий с четными и нечетными  $J$  для полос  $v_5(\Pi_u - \Sigma_g^+)$ ,  $[(v_4 + v_5)^0 - v_4] \cdot (\Sigma_u^+ - \Pi_g)$  и  $[2v_5^0 - v_5](\Sigma_g^+ - \Pi_u)$  линейной симметричной молекулы  $\text{H}^{12}\text{C} - ^{12}\text{C} - \text{H}$ , происходящее за счет спина ядра атома водорода. Библ. 9. назв.

С. С.

9. 1965.

120

В.Р.

C<sub>2</sub>H<sub>2</sub>

B97-5014-a - VI

1965

U.K.

Infrared absorption bands of acetylene. I. Analysis of the bands at 13.7  $\mu$ . J. F. Scott and K. Narahari Rao (Ohio State Univ., Columbus). *J. Mol. Spectry.* 16(1), 15-23(1965)(Eng). The ir absorption bands of C<sub>2</sub>H<sub>2</sub> occurring at 13.7  $\mu$  were recorded with a high-resolution vacuum-ir grating spectrograph. Analysis of the rotational structure observed led to the identification of the  $\nu_5$  fundamentals of <sup>12</sup>C<sub>2</sub>H<sub>2</sub> and <sup>12</sup>C<sup>13</sup>CH<sub>2</sub> and 4 "difference" bands of <sup>12</sup>C<sub>2</sub>H<sub>2</sub>. A discussion is presented of the rotational and vibrational consts. of the C<sub>2</sub>H<sub>2</sub> mol. evaluated from these data.

RCKP

C.A. 1965 63.2  
1349h

C<sub>2</sub>H<sub>2</sub>

1965

10 Д255. ИК-полосы поглощения ацетилена. Ч. II.  
Влияние колебательного *l*-удвоения. Scott J. F., Rao

Nagahari K. Infrared absorption bands of acetylene.  
Part II. Effect of vibrational *l*-type doubling. «J. Molec.  
Spectrosc.», 1965, 18, № 2, 152—157 (англ.)

Исследовано влияние колебательного *l*-удвоения уровней ацетилена, в котором возбуждены оба перпендикулярные колебания  $\nu_4$  и  $\nu_5$ . Влияние этого эффекта на величины констант колебательного взаимодействия  $x_{45}$  и  $g_{45}$  ранее не учитывалось, т. е. предполагалось, что  $r_{45}=0$ . В настоящей работе авторы, сочетая результаты изучения колебательно-вращательных полос ИК-спектра C<sub>2</sub>H<sub>2</sub> с измерениями, выполненными в далекой УФ-области для

III-III-1623

оф. 1966-102

электронных полос  $C_2H_2$ , оценили величины  $r_{45}$ ,  $x_{45}$  и  $g_{45}$  с учетом колебательного удвоения  $l$ -типа. Найденные значения ( $r_{45}=3,46 \text{ см}^{-1}$ ;  $x_{45}=-7,01 \text{ см}^{-1}$ ;  $g_{45}=11,48 \text{ см}^{-1}$ ) значительно отличаются от принятых ранее. Приведены схематич. картины колебательных  $l$ -резонанса и  $l$ -удвоения в уровнях  $0002^01^1—0002^21^1$  и  $00031$ . Библ. 5 назв. Ч. I см. РЖФиз, 1965, 12Д252. С. Бурейко

*C<sub>2</sub>H<sub>2</sub>*

*homopolymer*

*C M L.*

*1966-1643*

*1966*

Infrared absorption bands of acetylene. II. Effect of vibrational *l*-type doubling. J. F. Scott and K. Narahari Rao (Ohio State Univ., Columbus). *J. Mol. Spectry.* 18(2), 152-7(1965) (Eng); cf. *CA* 63, 1349*h*. The effect of vibrational *l*-type doubling on levels of C<sub>2</sub>H<sub>2</sub> in which both perpendicular modes  $\nu_4$  and  $\nu_5$  are excited complicates the evaluation of the vibrational interaction consts.  $x_{45}$  and  $g_{45}$ . Previous exptl. detns. of these 2 consts. have neglected the effect of vibrational *l*-type doubling and, hence, assumed  $r_{45} = 0$ . On combining the data obtained for the vibration rotation bands in the ir with the measurements

M + IV - 1643  
made in the far uv on the electronic bands of C<sub>2</sub>H<sub>2</sub> and using the current theory dealing with the problem of vibrational *l*-type doubling, an attempt has been made to obtain values for  $r_{45}$ ,  $x_{45}$ , and  $g_{45}$ . The newly detd.  $x_{45}$  and  $g_{45}$  differ significantly from those derived by assuming  $r_{45} = 0$ .

RCKP

*CA 1966, 643*  
*2867 h'*

C<sub>2</sub>H<sub>2</sub>

B92 - M1624-IV

1965

Calc'd

Reconsideration of vibrational *l*-type doubling in C<sub>2</sub>H<sub>2</sub>. J. F. Scott and K. Narahari Rao (Ohio State Univ., Columbus). *J. Mol. Spectry.* 18(4), 451-2(1965)(Eng). The effect of vibrational *l*-type doubling and resonance in <sup>12</sup>C<sub>2</sub>H<sub>2</sub>, which caused certain corrections to the relations employed in the previous paper (CA 64, 2867h) is reconsidered. Four new equations, including 2 quadratics, are shown: they provide 2 sets of values for  $g_{45}$ ,  $x_{45}$ ,  $r_{45}$ , and  $g_{44}$ . The 1st set allows the levels 0102<sup>1</sup>1<sup>1</sup>, 0011<sup>1</sup>0<sup>0</sup>, 0101<sup>2</sup>2<sup>2</sup>, and 0010<sup>0</sup>1<sup>1</sup> to be calcd. with good agreement with values detd. from hot bands in the 3- $\mu$  region. Both sets of values show a neg. sign for the const.  $r_{45}$ , which results in the  $\Sigma_u^-$  states of levels 0000<sup>1</sup>1<sup>1</sup> and 003<sup>1</sup>1<sup>1</sup> lying above the  $\Sigma_u^+$  states.

Ralph H. Steinberg

C.A. 1966.64.7  
9081 cd

1966

1 Б163. Спектры в дальней инфракрасной области кристаллических ацетиленов  $C_2H_2$  и  $C_2D_2$ . Anderson A., Smith Wm. Hayden. Far infrared spectra of crystalline acetylenes  $C_2H_2$  and  $C_2D_2$ . «J. Chem. Phys.» 1966, 44, № 11, 4216—4219 (англ.)

ИК-спектры поликристаллич. пленок  $C_2H_2$  и  $C_2D_2$  в области 20—250  $\text{см}^{-1}$  получены с помощью фурье-спектрометра при т-ре 77° К. Оба кристаллич. ацетиlena имеют по 2 полосы: 98,5 и 118  $\text{см}^{-1}$  для  $C_2H_2$ , 102 и 122  $\text{см}^{-1}$  для  $C_2D_2$ . Отношение частот 2 молекул почти точно соответствует квадратному корню из обр. отношения масс соотв-их молекул, что позволило отнести указанные полосы к трансляционным колебаниям кристаллич. решеток. Анализ показал, что структура кристаллич. ячейки  $C_2H_2$  и  $C_2D_2$  соответствует пространственной группе  $D_{2h}$  с двумя молекулами в ячейке, а молекула имеет симметрию  $C_{2h}$ .

Г. Кузьянц

Х. 1967. 1

196

*C<sub>2</sub>H<sub>2</sub>**V<sub>i</sub>**структурой*

2 Д342. Спектры кристаллических ацетиленов  $C_2H_2$  и  $C_2D_2$  в далекой ИК-области. Anderson A., Smith Wm. Hayden. Farinfrared spectra of crystalline acetylenes  $C_2H_2$  and  $C_2D_2$ . «J. Chem. Phys.», 1966, 44, № 11, 4216—4219 (англ.)

С помощью фурье-спектрометра получены ИК-спектры ( $20—250\text{ cm}^{-1}$ ) поликристаллич. пленок  $C_2H_2$  и  $C_2D_2$  при т-ре  $77^\circ\text{K}$ . Обнаружены 2 полосы  $98,5$  и  $118\text{ cm}^{-1}$  в  $C_2H_2$ ,  $102$  и  $122\text{ cm}^{-1}$  — в  $C_2D_2$ . Отношение частот почти точно соответствует квадратному корню из обратного отношения масс соответствующих молекул, что позволило отнести указанные полосы к трансляционным колебаниям кристаллич. решеток. Структура кристаллич. ячейки  $C_2H_2$  и  $C_2D_2$  соответствует пространственной группе  $D_{2h}$  с двумя молекулами в ячейке, а молекула имеет симметрию положения  $C_{2h}$ . Г. Кузьянц

Ф. 1967. 20

$C_2H_2$

$C_2D_2$

R. Botter, V.H. Dibeler,  
J.A. Walker, H.M. Rosen-  
Stock.

1966

724

(протониз.) Rep. "J. Chem. Phys",

Факт |  
Ф.-К. |

44, №3, 1966.

C<sub>2</sub>H<sub>2</sub>

Bsp-M 1346-IV | 1966

Bottler R., Dibeler V. H.,  
Walker J. A., Rosenstock H.

(J)  
"J. Chem. Phys.", 1966, 44,  
N 3, 1271-1278.

M 1355 - IV

1966

J( $O_2$ ,  $H_2O$ ,  $D_2O$ ,  $C_2H_2$ ,  $C_2H_4$ )

Brehm B.

Z. Naturforsch, 1966, 21a, N 3, 196-209

Massenspektrometrische Untersuchung  
der Photoionisation von Molekülen

F

PF., 1966, 11D124

V0

*C<sub>2</sub>H<sub>2</sub>*

1966

14 Б59. Расчет основного состояния молекулы ацетилена в приближении двух центров. Булычев В. П. «Теор. и эксперим. химия», 1966, 2, № 6, 823—825

В двухцентровом приближении произведен расчет основного состояния  $C_2H_2$  методом Рутана. В программе расчета все интегралы, кроме небольшого числа малых по модулю, подынтегральные выражения к-рых содержат  $1s$ -функцию, вычисляются точно. Варьировались длины связей C—C и C—H и экспоненты в слайтеровских АО валентных электронов. Минимум полной энергии  $E = -76,012$  ( $-77,39$ ) достигнут при  $r_{C-C} 2,305$  ( $2,281$ ),  $r_{C-H} 1,904$  ( $2,002$ ) (здесь и далее в скобках приведены эксперим. значения и все величины в ат. ед.). Полученные результаты лишь немногим хуже данных более точ-

X. 1967. 14

ных и более трудоемких расчетов. Рассчитанные энергетич. уровни обнаруживают правильную последовательность (за исключением того, что уровень  $1\sigma_u$  на 0,0001 ат. ед. ниже уровня  $1\sigma_g$ , что, по мнению автора, объясняется неточными оценками некоторых малых интегралов). Для энергии синглет-триплетного перехода получено значение 5,16 эв (5,23 эв), а для энергии высшей занятой орбитали —0,3064 ат. ед. (эксперим. значение потенциала ионизации 0,4193 ат. ед.). Результаты расчета силовых постоянных связей плохие.

В. Лебедев

*C<sub>2</sub>H<sub>2</sub>*

*1966*

25752t Calculation of acetylene molecular structure in the two-center approximation. V. P. Bulychev. *Teor. Eksp. Khim.* 2(6), 823-5(1966)(Russ). M.O.-L.C.A.O. calcn. for acetylene was performed with 1s, 2s, and 2p C orbitals. The eigenvalues and eigenfunctions are given. Good agreement was found between theoretical and exptl. excitation energy. By means of potential energy curves, the force consts. of the C-C and C-H bonds were estd. In the 1st case the theoretical value agrees with the exptl. one; in the 2nd case the agreement is poor.

R. Zahradník

*C.A. 1967 67:6*

1966

C<sub>2</sub>H<sub>2</sub>

Dibeler V.H., u.gr.

Advances Mass

Spectrum. Vol. 3, London,

1966, 4A

notewy.

noteworthy.



(C<sub>2</sub>H<sub>2</sub>) III

Синтез 3026

C<sub>2</sub>H<sub>2</sub>

Черноберг Т.

1966

1125

"Ученые физ. наук"

1966, 88 (4), 675-701.

Опред. спирометр. профессиях  
личного состава. массаж и растика-  
лов в сел. возб. сосенки.

*C<sub>2</sub>H<sub>2</sub>*

(966)

70465s Infrared absorption bands of acetylene. James F. Scott (Ohio State Univ., Columbus). *Univ. Microfilms* (Ann Arbor, Mich.), Order No. 66-10,037, 148 pp.; *Diss. Abstr. B* 27 (5), 1572(1966)(Eng); cf. *CA* 66, 15195d.

SNDC

C.A. 1964 66-16

Не

Dcl

C<sub>2</sub>H<sub>2</sub>

C<sub>2</sub>D<sub>2</sub>

CH<sub>3</sub>C≡CD

CH<sub>3</sub>C≡CH

ИК-спектр

f<sup>2</sup>δxy

9 Д210. Влияние изотопического замещения водород — дейтерий на интенсивности полос ИК-поглощения. Jouve Piege. Effet de la substitution isotopique hydrogène-deutérium sur l'intensité des bandes d'absorption infrarouge. «С. г. Acad. sci.», 1966, C262, № 6, 441—443 (франц.)

Измерены интегр. коэф. ( $A$ ) ИК-поглощения ряда в-в в газовой фазе. Для полос HCl: 2887; 5668  $\text{см}^{-1}$  и DCl: 2091; 4129  $\text{см}^{-1}$  получены значения  $A$  ( $\text{см}/\text{м} \cdot \text{моль}$ ): 3200; 70 и 1640; 26. Значения  $A$  для полос C<sub>2</sub>H<sub>2</sub>: 729; 3286  $\text{см}^{-1}$  и C<sub>2</sub>D<sub>2</sub>: 538; 2430  $\text{см}^{-1}$ , значения  $A$  равны 16 200; 6800 и 8300; 3750. Первые из них относятся к деф. кол. связей CH и CD, а вторые — к валентным. Измерены также значения  $A$  для соответствующих частот метилацетилена и CH<sub>3</sub>≡CD и для первых обертонов этих частот. Все значения  $A$  удовлетворяют правилам сумм:  $\Sigma(A/v^2)_H = \Sigma(A/v^2)_D$ ;  $\Sigma(A_2/2v^3)_H = \Sigma(A_2/2v^3)_D$ . Величины  $A/v^2$  не зависят от масс атомов и определяются строением электронных оболочек молекул.

М. Ковнер

д. 1966. 98

1966

1966

M. 1038 - D - BP

$C_2H_4$ ,  $\underline{C_2H_2}$ ,  $C_2D_2$  ( $Z_e = C$ ;  $Z_F = H$ ;  $LCCN$ )

Kuchitsu K.

J. Chem. Phys., 1966, 44, N 3, 906-911

Calculation of the average structure of ethylene

PX., 1966, 195159

J

F

$C_2 H_2$

Palke W.B.  
Lipscomb W.

1966

pacreū

J. Amer. Chem. Soc., 1966,  
88, N 11, 2384.

Pacreū monomer,  $CH_4$ ,  $C_2 H_2$ ,  
 $C_2 H_4$ ,  $C_2 H_6$ ,  $BH_3$ ,  $B_2 H_6$ ,  $NH_3$   
+  $HCN$       мезогом са-  
(см.  $CH_4$ )

ф. 1966. 112

*uscoria cobassuro*, no-  
mr. (acc. Чуу)

BD M 1963 -IV

1966

J ( $\text{CH}_4$ ,  $\text{C}_2\text{H}_6$ , CO,  $\text{CO}_2$ ,  $\text{C}_2\text{H}_2$ ,  $\text{N}_2$ , HCN )

Peters D.

J. Chem. Phys., 1966, 45, N9, 3474-3475

Ionization energies of some small molecules

PF., 1967, 6D98

J [Energия ионизации]  
F

August 2991

1966

$C_2H_2$

UK C2H2P

M. V.

15195d Infrared absorption bands of acetylene. III. Analysis of the bands at  $3 \mu$ . J. F. Scott and K. Narahari Rao (Ohio State Univ., Columbus). *J. Mol. Spectrosc.* 20(4), 438-60 (1966)(Eng); cf. CA 64, 2867f. An interpretation of the rotational structure of the absorption spectrum of  $C_2H_2$  occurring at about  $3 \mu$  has been presented. Analysis of 3 previously unreported  $\Pi-\Pi$  transitions has been made. The evaluation of several vibrational consts. of  $^{12}C_2H_2$  and the assignment of the upper states of the  $\Pi-\Pi$  bands has been discussed, with the inclusion of both anharmonic and vibrational *l*-type resonance effects.

RCKP

C.A. 1967. 66. 4

*C<sub>2</sub>H<sub>2</sub>*

9 Д243. ИК-полосы поглощения ацетилена. Ч. IIIа.  
Анализ полос при 3  $\mu$ . Scott J. F. Rao K. Naga-ha-  
g i. Infrared absorption bands of acetylene. Part IIIa.  
Analysis of the bands at 3 $\mu$ . «J. Molec. Spectrosc.», 1966,  
20, № 4, 438—460 (англ.)

Изучена вращательная структура ИК-спектра погло-  
щания ацетилена  $^{12}\text{C}_2\text{H}_2$  и  $^{12}\text{C}^{13}\text{CH}_2$  в области 3180—  
3360  $\text{см}^{-1}$ . Выполнен вращательный анализ четырех пе-  
реходов П—П, три из которых были ранее неизвестны.  
Рассчитан ряд колебательных констант  $^{12}\text{C}_2\text{H}_2$  и обсуж-  
дается отнесение верхних состояний полос П—П с уче-  
том влияния ангармоничности и колебательного резо-  
нанса *l*-типа. Показано, что хотя дополнительный учет  
недиагональных элементов гамильтониана может изме-  
нить численные значения  $x_{45}$ ,  $g_{45}$  и  $r_{45}$ , полученные кон-  
станты определены с хорошим приближением. Приведе-  
на ф-ла для вычисления вращательного удвоения *l*-типа  
в *P*- и *R*-ветвях. Библ. 10. Ч. II см. РЖФиз, 1966,  
10Д225.

С. Бурейко

09.1967-98

Октябрь 1991

1966

CH<sub>2</sub>  
C<sub>2</sub>D<sub>2</sub>

1966

9 Д240. ИК-спектры C<sub>2</sub>H<sub>2</sub> и C<sub>2</sub>D<sub>2</sub>. Richards L.  
Willard. The infrared spectra of C<sub>2</sub>H<sub>2</sub> and C<sub>2</sub>D<sub>2</sub>. «J.  
Chem. Educ.», 1966, 43, № 12, 644—647 (англ.)

Статья представляет описание студенческой работы,  
посвященной определению структуры и симметрии мно-  
гоатомной молекулы по ИК-спектру на примере моле-  
кул C<sub>2</sub>H<sub>2</sub> и C<sub>2</sub>D<sub>2</sub>. Библ. 13.

С. Станкевич

09. 1967. 92

1966

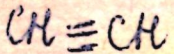
C<sub>2</sub>H<sub>2</sub>  
Мол.  
Физико-химическая  
техника  
+ 9 элкз

4 Б88. Кювета с подогревом для изучения инфракрасных полос поглощения. Webb David U., Rao K. Naga hagi. A heated absorption cell for studying infrared absorption bands. «Appl. Optics», 1966, 5, № 9, 1461—1463 (англ.)

Описана кювета длиной в 1 м для изучения структуры полос поглощения в ИК-спектрах газов при высоких т-рах. Кювета позволяет использовать как кварцевые и сапфировые окна, так и окна из NaCl, KBr, CsBr и др. материалов, растрескивающихся в обычных условиях при значительных изменениях т-ры. Исследованы спектры C<sub>2</sub>H<sub>2</sub> при 300° и HCl при 800°. В спектре поглощения молекулы H<sup>37</sup>Cl при т-рах порядка 800° обнаружено более 25 ранее не наблюдавшихся линий в полосе 1—0. Рассчитан ряд мол. констант этой молекулы. Указано на полезность описанной кюветы в решении многих проблем мол. спектроскопии.

С. Бурейко

Х. 1967. 4



1967

6 Б81. Фотоэлектронные спектры ацетилена, диацетилена и их дейтеропроизводных. Baker C., Türgen D. W. Photoelectron spectra of acetylene, diacetylene, and their deuterio-derivatives. «Chem. Commun», 1967, № 16, 797—799 (англ.)

Исследованы спектры энергии фотоэлектронов при возбуждении паров ацетилена и диацетилена линией излучения Не 584 $\text{\AA}$  (21,21 эВ). Особое внимание уделено колебательной структуре, которая сопоставлена с наблюдаемой для дейтеропроизводных. Некоторые из её элементов удовлетворительно согласуются с известными колебаниями соответствующих молекул, однако наблюдены и особенности, не находящие пока объяснения с точки зрения колебательных частот молекулы или иона. Приведены таблицы найденных значений четырёх потенциалов ионизации в интервале 10—20 эВ для каждой из молекул  $\text{C}_2\text{H}_2$ ,  $\text{C}_4\text{D}_2$  и трех — для  $\text{C}_2\text{H}_2$ ,  $\text{C}_2\text{D}_2$ , а

Х·1968·6

18

также факторы Франка—Кондона первого электронного  
перехода  $C_2H_2$ ,  $C_2D_2$  (колебательные переходы 0—0,  
1—0, 2—0, 3—0).  
В. Дианов-Клоков

C<sub>2</sub>H<sub>2</sub>

XIV-2922

1987

112596p Photoelectron spectra of acetylene, diacetylene, and their deuto-derivatives. C. Baker and D. W. Turner (Imp. Coll., London). *Chem. Commun.* 1967(10), 797-9(Eng). By using a 127° electrostatic velocity analyzer, the 584-A. photo-electron spectra of C<sub>2</sub>H<sub>2</sub> and C<sub>4</sub>H<sub>2</sub>, as well as of their deuto-analogs, have been detd. and are given for the 10-21 ev. range. The observed Franck-Condon factors agree with those calcd. by Sharp and Rosenstock (*CA* 62: 1197d) in showing no isotope effect. The observed ionization potentials in ev. are:

	1st	2nd	3rd	4th
C <sub>2</sub> H <sub>2</sub>	11.40	16.44	18.42	
C <sub>2</sub> D <sub>2</sub>	11.40	16.54	18.42	
C <sub>4</sub> H <sub>2</sub>	10.17	12.62	16.61	19.8
C <sub>4</sub> D <sub>2</sub>	10.18	12.62	16.77	19.8

S. Goldwasser

+1

C.A. 1987. 87-24

8

196

СН = СН

10 Б64. Ионизация ацетилена и его электронные энергетические уровни. Collin Jacques E., Delwiche Jacques. Ionization of acetylene and its electronic energy levels. «Canad. J. Chem.», 1967, 45, № 16, 1883—1889 (англ.)

Критически обсуждены различные эксперим. данные (в основном, самих авторов), относящиеся к процессам ионизации в молекуле ацетилена, протекающим при ее столкновениях с электронами, фотонами, ионами и метастабильными атомами. Указано, что первый потенциал ионизации молекулы (11,406 эв) отвечает адиабатическому удалению наружного  $1\pi$ -электрона. Предионизация является важным источником ионов в областях 13,25 и 14,5 эв, причем соответствующие уровни оптичес-

1.1968 · 10.

ки запрещены и, по-видимому, являются ридберговыми уровнями с электронными конфигурациями  $\sigma_g \pi_u^4 \pi_g^*$  или  $\sigma_g \pi_u^4 \sigma_u^*$ . Уровни предионизации сходятся к второму потенциалу ионизации, который отвечает удалению 3  $\sigma_g$ -электрона связи C—C и равен примерно 16,5 эВ.

Е. Шусторович

*C<sub>2</sub>H<sub>2</sub>*

4 Д99. Ионизация ацетилена и уровни электронной энергии. Collin Jacques E., Delwiche Jacques. Ionization of acetylene and its electronic energy levels. «Canad. J. Chem.», 1967, 45, № 16, 1883—1889 (англ.)

Проведены эксперименты по электронной и фотонной ионизации ацетилена. Приводимые в работе новые и литературные данные по ионизационным процессам в ацетилене при бомбардировке электронами, ионами, метастабильными атомами, а также фотонами, обсуждаются с учетом электронной структуры ацетилена и на основе известной спектроскопич. информации. Табулированы различные теоретич. оценки электронных уровней, а также экспериментально определенные положения энергетич. уровней. Интерпретация эксперим. данных обсуждается с учетом возможного изменения сим-

Ф. 1968. 4

1967

метрии как возбужденных состояний молекулы, так и основного и возбужденного состояний иона. Сделан вывод о том, что первый ионизационный потенциал ацетилена при 11,406 эв соответствует адабатич. удалению слабо связанного  $1\pi_u$ -электрона. Образование ионов при энергии возбуждения около 13,25 и 14,5 эв обусловлено преионизационными состояниями, с предположительным участием оптически запрещенных переходов в триплетное состояние. Предполагается, что преионизационные состояния обладают  $\sigma_g\pi_u^4\pi_g^x$ - или  $\sigma_g\pi_u^4\sigma_u^x$ -конфигурациями. Делается вывод о том, что ридберговская серия преионизационных уровней имеет пределом второй ионизационный потенциал, который связывается с удалением 3  $\sigma_g$ -электрона и равен примерно 16,5 эв.

А. А. Медвинский

$C_2H_2$

1967

3 Б29. Теоретический анализ эффектов гидрогенизации в углеводородах. Точные самосогласованные MO-волновые функции для  $C_2H_2$ ,  $C_2H_4$ , и  $C_2H_6$ . Виенкег Robert J., Рейгерингhoff Sigrid D., Whitten Jerry L. Theoretical analysis of the effects of hydrogenation in hydrocarbons: accurate SCF MO wavefunctions for  $C_2H_2$ ,  $C_2H_4$ , and  $C_2H_6$ . «J. Chem. Phys.», 1967, 46, № 6, 2029—2039 (англ.)

На основе расчетов ряда молекул этен—этилен—ацетилен методом самосогласованного поля обсуждается сходство между этим рядом и изоэлектронным ему рядом  $F_2$ — $O_2$ — $N_2$ . В первом ряду в качестве нулевого члена рассмотрена также молекула  $C_2$ . Расчет произведен с фиксированными и варьируемыми базисными наборами, построенными из лепестковых гауссовых

+ 2

x · 1968 · 3

☒

функций. В углеводородном ряду обсуждена корреляция изменений орбитальных энергий с изменениями длии связей С—С, относительным участием АО водорода в МО углеводородов и с несвязывающим взаимодействием, возникающим из-за оттягивания электронов от атомов водорода: На основе полученных результатов интерпретированы изменения в минимальных ионизационных потенциалах в углеводородном ряду и соотношения между длинами связей и энергиями связей в обоих рядах.

В. Л. Лебедев

1967

С₂Н₂

11 Б187. Инфракрасный спектр испускания ацетилена. Etchart Hélène, Delaval Yves, Lecomte Jean. Spectre d'émission infrarouge de l'acétylène. «C. r. Acad. sci.», 1967, 265, № 22, B 1238—B 1243 (франц.)

С использованием спектрографа с дифракционной решеткой высокого разрешения в области  $4000—4160\text{ см}^{-1}$  при  $\tau$ -рах  $20, 320$  и  $450^\circ\text{C}$  исследованы ИК-спектры испускания ацетилена. Подтверждено отнесение полосы  $4091, 20\text{ см}^{-1}$  к комбинации  $\nu_1 + \nu_5^1$  и полосы  $4068, 57\text{ см}^{-1}$  к  $\nu_1 + 2\nu_5^0 - \nu_5^1$ ; для полосы  $4077, 13\text{ см}^{-1}$  предложено отнесение  $\nu_1 + \nu_2 + \nu_5^1 - \nu_2$  и для  $4082, 20\text{ см}^{-1} - \nu_1 + \nu_4 + \nu_5^1 - \nu_4^1$ . Интерпретация пиков  $4075, 48$  и  $4062, 35\text{ см}^{-1}$  остается неясной.

Б. Рассадин

Х-1968. II

1867

C<sub>2</sub>H<sub>2</sub>

6 Д409. ИК-спектр испускания ацетилена. Etchart  
Hélène, Détavat Yves, Lecomte Jean. Spectre  
d'émission infrarouge de l'acétylène. «C. r. Acad. sci.»,  
1967, 265, № 22, B 1238—B 1243 (франц.)

С помощью растрового спектрографа Жиара с селективной модуляцией и с охлаждаемым приемником PbS получены ИК-спектры ( $4160—4000\text{ см}^{-1}$ ) поглощения при  $20$  и  $320^\circ\text{C}$  и испускания ацетилена при  $495^\circ\text{C}$ . Приведена интерпретация полученных результатов. Положение наиболее интенсивных максимумов остается неизменным, что свидетельствует об отсутствии изменений в структуре молекулы. Отмечено появление «горячих полос» в спектрах поглощения и испускания при увеличении температуры.

А. Л. Белозеров

ИК-спектр  
испускания

оо. 1968. 69

*C<sub>2</sub>H<sub>2</sub>*

*1967*

*UK cnetp*

34382v Infrared emission spectrum of acetylene. Helene Etchart, Yves Delaval, and Jean Lecomte (Fac. Sci., Paris). *C. R. Acad. Sci., Paris, Ser. A,B* 265B(22), 1238-43(1967)(Fr). The emission spectrum of C<sub>2</sub>H<sub>2</sub> heated to several hundred degrees was obtained with a Girard grating spectrograph. This spectrum was compared with the heated or unheated absorption spectrum. The low energy of the emission of gas heated to several hundred degrees made evaluation difficult. A cooled PbS cell, with the Girard spectrograph, gave a resoln. power of approx. 30,000. Absorption measurements were made at room temp. and 320°, emission at 495°. Hot bands appeared or were reinforced at 4000-4160 cm.<sup>-1</sup>. Spectra with highly detailed fine structure were obtained, although interference was caused by parasite lines from the H<sub>2</sub>O vapor emission.

GRJF

*C.A. 1968. 68.8*

$C_2 H_2$

Frost A. A.,  
Prentice B. H.,  
Rouse R. A. A.

1964

ночное  
желание,  
дышло  
свежий

J. Amer. Soc., 89, n 12, 3068

Простая модель можно  
представить структурой, базирую-  
щейся на "расщепляю-  
щихся"  "локализован-

наиболее  
грубых.

(авт.  $Hg_2$ ) III

1907

 $C_2$  $H_2$ 

Jacquin H.

Mägernann R.

$\frac{1}{2}$ , Chin. phys., et phys. —  
 Chin. Biol., 64, IV 7 - 8,

1209.

Oxygennereide abducens

cerium

verzweigte

anionen

He, Ne, Ar u.  $C_2H_2$

*Freminvillia nigra*  
c. Freminvill. *Freminvillia*  
out 100 go 2000 ft.

(Linn. Fl.) III

$C_2 H_2$

Hunter T. F.

1987

J. Chem. Soc., A, v3, 374.

University of Wisconsin 1963

by UK - minimum  $CH_4, N_2 O$

in  $C_2 H_2$

(all  $CH_4$ )

*C<sub>2</sub>H<sub>2</sub>*

*1967*

67711j Ionization of acetylene and its electronic energy levels.  
Jacques E. Collin and Jacques Delwiche (Univ. Liege, Belg.).  
*Can. J. Chem.* 45(16), 1883-9(1967)(Eng). The ionization processes in C<sub>2</sub>H<sub>2</sub> under photon, electron, ion, and metastable atom impact, including new results, are crit. discussed in relation with the electronic structure of C<sub>2</sub>H<sub>2</sub> and with the known spectroscopic information. The first ionization potential at 11.409 ev. corresponds to a 1  $\pi_u$  electron removal and Franck-Condon processes yield an adiabatic ionization potential in this particular case. The new production of ions around 13.25 ev. and 14.5-15 ev. is due to pre-ionized states probably optically forbidden. From the discussion it is suggested that these might be excited linear  $\sigma_g \pi_u^4 \pi_g^*$  or  $\sigma_g \pi_u^1 \sigma_u^*$  states. The second ionization potential of C<sub>2</sub>H<sub>2</sub>, related to the removal of a 3 $\sigma_g$  electron, is shown to be around 16.5 ev. 32 references.

RCCM

*C.A. 1967. 67 · 14*

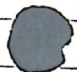
C<sub>2</sub>H<sub>2</sub>

1967

Innes X.

Proc. Int. Conf. Spectrosc.  
1st, Bombay 1967, 1, 219.

High resolution electronic  
spectra of polyatomic  
molecules.



(see. N<sub>2</sub>H<sub>2</sub>) III

H<sub>2</sub>C<sub>2</sub>

Kroto H.,

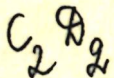
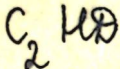
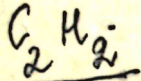
Santry D.P.

J. chem. phys., 47, N2, 792

1967

(C<sub>60</sub> RNO)III

1967



УЗ Б72. Новый метод расчета колебаний молекул.  
Панченко Ю. Н., Коптев Г. С., Татевский В. М.  
«Вестн. Моск. ун-та. Химия», 1967, № 4, 106—108

Ранее предложенным методом (РЖХим, 1967, 22Б125)  
из данных об основных и нулевых частотах колебаний  
 $C_2H_2$  определены силовые постоянные ацетилена. Послед-  
ние использованы для расчета частот  $C_2D_2$  и  $C_2HD$ . Ре-  
зультаты вычислений хорошо согласуются с эксперимен-  
тальными данными.

В. Александри

(см. письм.)  
расчет частот;

Х. 1968. 3



$C_2 H_2$

1987

1 Д143. Новый метод расчета колебаний молекул.  
Палченко Ю. Н., Коптев Г. С., Татевский В. М.  
«Вестн. Моск. ун-та. Химия», 1967, № 4, 106—108

Рассчитаны основные и нульевые частоты колебаний  
молекул  $C_2H_2$ ,  $C_2D_2$ ,  $C_2HD$  с матрицей потенц. энергии  $U$ ,  
полученной математически точно из набора эксперим.  
частот. Найденные частоты хорошо согласуются с наблю-  
даемыми для ацетилена и его изотопнозамещенных.

А. Фридман

99. 1968. 12



1967

$C_2 H_2$

Segal. G. A., Klein M. L.

J. Chem. Phys., 47, v 10,  
4236.

Всесоюзное научно-исследовательское  
издательство химии в ИК-  
спектрографии и масс-спектрографии  
СНДО.



(ж.  $H_2 O$ ) III

C<sub>2</sub>H<sub>2</sub>

Sperling T.H.  
Mason E.A.

1967

J. Chem. Phys., 46, N1, 322

Определение квадрупольных  
моментов молекул из  
когерентных систем вязкости  
и второго вертикального  
когерентного.



(Ccl. O<sub>2</sub> III)

1967

 $C_2H_2$ 

8 Д108. Эквивалентные орбитали для  $C_2H_2$ ,  $C_2H_4$  и  $C_2H_6$ . Trinajstic N. Equivalent orbitals of  $C_2H_2$ ,  $C_2H_4$ , and  $C_2H_6$ . «Z. phys. Chem». 1967, 236, № 5—6, 369—371 (англ.)

Для  $C_2H_2$ ,  $C_2H_4$  и  $C_2H_6$  путем максимизации следа матрицы перекрывания эквив. орбиталей с 1s-атомными ф-циями водорода с учетом только одноцентровых интегралов при построении матрицы перекрывания построены эквив. орбитали и кратко обсуждены их свойства.

В. Л. Лебедев

с

09. 1968 . 89



8

C<sub>2</sub>H<sub>2</sub>

1007

Yonezawa T.  
Yamaguchi L., Kato H.

Bull. Chem. Soc. Japan,  
40, N 3, 536.

Тонкоклеточное пач-  
чечное дерево сидячие  
баки и моккие гладко-  
могие деревья сидя-  
чими сопартическими

чирных организаций.

T. Hassoe even - Mr.

(See. Fly)

C<sub>2</sub>H<sub>2</sub>, C<sub>2</sub>H<sub>4</sub> ( $\gamma$ )

1968

Drewes Group A.P., Berndes B.  
Mc Flynn S.P.

Spectrosc. Lett., 1968, 1(1), 43-7

Received 1968, May 20  
Accepted 1968, June 10

CA 1968, 69, WY, 1306n

XIV-1070

1968

С № 2

8 Д243. Молекулярная фотоэлектронная спектроскопия высокого разрешения. III. Ацетилены и аза-ацетилены. Baker C., Tupper D. W. High resolution molecular photoelectron spectroscopy. III. Acetylenes and aza-acetylenes. «Proc. Roy. Soc.», 1968, A 308, № 1492, 19—37 (англ.)

Изучены фотоэлектронные спектры (8—21 эв) высокого разрешения ( $\sim 0.01$  эв), возбужденные гелиевым излучением с  $\lambda = 584 \text{ \AA}$ , линейных ненасыщенных ацетиленов:  $\text{C}_2\text{H}_2$ ,  $\text{C}_2\text{D}_2$ ,  $\text{C}_4\text{H}_2$ ,  $\text{C}_4\text{D}_2$ ,  $\text{CH}_3\text{C}_2\text{H}$ ,  $\text{CH}_3-(\text{C}\equiv\text{C})_3-\text{CH}_3$  и аза-ацетиленов:  $\text{HCN}$ ,  $\text{DCN}$ ,  $\text{C}_3\text{HN}$ ,  $\text{C}_4\text{N}_2$  и  $\text{C}_2\text{N}_2$ . Приведены полученные значения ионизационных потенциалов (ИП) рассмотренных молекул. Понижение первого ИП в ряду ацетилен (11,40 эв), диацетилен (10,17 эв),

Ф. 1969

89



+6



триацетилен (9,67 эв) объясняено влиянием сопряжения. Меньшая величина ИП метилацетиlena (10,37 эв) по сравнению с ацетиленом отнесена к перекрыванию псевдо- $\pi$ -орбитали метильной группы с  $\pi$ -орбиталью между двумя атомами углерода. Рассмотрена роль индуктивного эффекта в изменениях значений ИП. Обсуждена колебательная структура ряда полос; приведены частоты колебаний и их отнесение. Построена корреляционная диаграмма электронных уровней энергии исследованных систем. Библ. 33.

С. Ф. Б.

XIV-1070

1968

C H<sub>2</sub>

24099k High-resolution molecular photoelectron spectros-  
copy. III. Acetylenes and aza-acetylenes. Baker, Clive;  
Turner, David W. (Phys. Chem. Lab., Oxford, Engl.). *Proc.  
Roy. Soc. Ser. A* 1968, 308(1492), 19-37 (Eng). The 584-A.  
(21.22-ev.) photoelectron spectra of the following linear unsatd.  
mols. are reported: acetylene, DC:CD, HCN, DCN, diacetylene,  
DC:CC:CD, cyanoacetylene, cyanogen, dicyanoacetylene,  
methylacetylene, and dimethyltriacetylene. The ionization po-  
tentials of the mols. and the vibrational fine structure observed  
in many of the bands are discussed. RCPP

C.A. 1969. 70. 6

C<sub>2</sub>H<sub>2</sub>

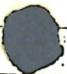
Becker H. J.

1968

Fortschr. Chem. Forsch.,  
10, N1, 156

ал. исчм.

Рассмотрим синтетических посто-  
янных из колебательных  
спектров простых орга-  
нических соед-1.



(ал. CH<sub>3</sub>-O) III

C<sub>2</sub>H<sub>2</sub>

1968

Geometry

99577c3 Geometries and charge distributions of organic ligands. I. Metal-carbon  $\pi$  bonding and the geometry of acetylene. Blizzard, A. C.; Santry, D. P. (McMaster Univ., Hamilton, Ont.). *J. Amer. Chem. Soc.* 1968, 90(21), 5749-54 (Eng). The geometrical effects of metal-C  $\pi$  bonding on complexed C<sub>2</sub>H<sub>2</sub> have been investigated by using a model based largely on C<sub>2</sub>H<sub>2</sub> intramol. interactions. The calcns. showed that the accumulation of electron d. in the  $\pi$ , orbital through  $\pi$  bonding could lead to either a cis or a trans bent structure, whereas only cis bent structures are observed exptl. It was possible to explain this fact in terms of an argument based solely on the symmetry of the metal-C<sub>2</sub>H<sub>2</sub> interaction. A similar argument showed that the same forces were also opposed to the cis bending of the H atoms toward the metal but had little effect on cis bending away from the metal.

RCJC

C.A. 1968. 69. 24

1968

$C_2 H_2$

Frost A. A., Rouse R. A.

paeres  
(Mo)

J. Amer. Chem. Soc., 90,  
n 8, 1968-69.

Модель молекуларной  
структуры, использую-  
щей "испавающие" спре-  
ческие гауссовские  
орбиты. I. V. Ушевого -

progtr.

(See. Ctl<sub>4</sub>) III

C<sub>2</sub>H<sub>2</sub>

C<sub>2</sub>H<sub>4</sub>

C<sub>2</sub>H<sub>6</sub>

M.O.  
Bürgel

XIV-688

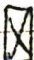
1968

22072b Quantum mechanical two-center models for acetylene, ethylene, and ethane. Hartmann, Hermann; Helfrich, Klaus (Univ. Frankfurt/Main, Frankfurt/M., Ger.). *Theor. Chim. Acta* 1968, 10(5), 406-22 (Ger). Diat. orbitals ( $H_2$ -like functions) were used as M.O. to form a 10-row Heisenberg-Slater-determinant for the valence electrons of  $C_2H_2$  and a 14-row determinant for the valence electrons of  $C_2H_4$ . By optimizing the effective nuclear charge  $Z_0$ , points of the energy surfaces for a rectangular grid were calcd. from the determinantal approxns. for the 2 mols. The ground state of  $C_2H_4$  was similarly treated as a mixt. of two symmetry-adapted linear combinations of 12-row determinants. The resulting eigenvalue problem gave an approxn. for height and shape of the barrier of internal rotation and for the twisting frequency of  $C_2H_4$ .

RCTC

F. J. M.

C.A. 1968-69-6



$C_2 H_6$

(C-C. chzg)

Kolotilo N. N.

1968

Porosh. Met., 8(12), 45

Chemical bonding  
and properties of  
graphitic materials.

(Cu.  $C_2 H_6$ ) III

МССН

Nibler J.W.,  
Pimentel G.C.

1968

лит. ном.

J. Molec. Spectrosc.,  
26, N3, 294

Спектры спиральных полимерных макромолекул изоморфов

$H_2O$ ,  $H_2S$ ,  $H_2Se$ ,  $C_2H_2$ .

( $C_{lll} - H_2O$ ) III

1968

C<sub>2</sub>H<sub>2</sub>

Nielsen H.H.

Rao K.N.

spaciat.  
cop - pa  
nacee

U.S. Govt. Res. Develop.

Rep., 1969, 69, n° 9,  
75'

(Cet CO<sub>2</sub>) III

$C_2H_2$

(y)

1968

6938h Franck-Condon factors for the ionization of acetylene.  
Petropoulos Basile; Botter, Rene (L.R.P., Fac. Sci., Paris, Fr.).  
*C. R. Acad. Sci., Paris, Ser. A,B* 1968, 266B(14), 933-6 (Fr).  
The probability of transition by ionization, the transition moment, intensity of absorption band, and Frank Condon factors  $q(\nu'', \nu')$  were derived by the method described by B. Petropoulos, *et al.* (1967), and modified for the ionization of  $C_2H_2$ ,  $(\nu_1'', X^1\Sigma_g^-) \rightarrow C_2H_2^+(\nu_1', ^1\pi_u)$ . Centroids  $\langle r \rangle$  and  $\langle r^2 \rangle$  were also calcd. Factors  $\nu''$  and  $\nu'$  are tabulated for integral values 0-14 and 0-3, resp. Calcd. transition probabilities,  $P_{rel}(\nu', 0)$  agree well with exptl. values.

FBJF

C.A. 1968 · 69·2

1968

 $C_2 H_2$ 

8 Д107. Множители Франка—Кондона для переходов в  $C_2 H_2$ , приводящих к диссоциации. Pétri, P., los Basile, Botter René. Facteurs de Franck-Condon pour l'ionisation de  $C_2 H_2$ . «С. г. Acad. sci.», 1968, 266, № 14, В933—В936 (франц.)

Вычислены и приводятся в таблицах множители Франка—Кондона и  $r$ -центроиды для полос  $C_2 H_2(v_1'', X^1\Sigma_q^-) \rightarrow C_2 H_2^+(v_1', \Pi_u)$ ,  $v_1''=0,1,2,\dots,14$ ,  $v_1'=0,1,2,3$ . Расчет проведен методом, подобным применявшемуся в работе (РЖФиз, 1968, 1Д263). Результаты обсуждаются.

B. A. Морозов

9. 1968

88

BP-4505-X

1968

Roy R.S.

C<sub>2</sub>H<sub>2</sub>

Proc. Phys. Soc. London,  
Ab. Mol. Phys., [2] 1 (2),  
320.

An empirical relation-  
ship between bond  
length and frequency  
(see Ch 4) III

Scott J. F. CH<sub>2</sub>(spayc. racs.) 1968  
IV - 1210

Rotational constants of acetylene.

"J. Opt. Soc. Amer.", 1968, 58,  
N1, 142-143

1968

С2 №2

19 Б79. Вращательные постоянные ацетилена. Scott James F.: Rotational constants of acetylene. «J. Opt. Soc. Amer.», 1968, 58, № 1, 142—143 (англ.)

Исследован колебательно-вращательный спектр ацетилена в области  $11\ 000$ — $16\ 000\ \text{см}^{-1}$ . Определены значения вращательной постоянной  $B_v$  и постоянной центробежного растяжения  $D_v$  для 8 высоких возбужденных колебательных состояний. Найденные значения  $B_v$  со-поставлены с их значениями, вычисленными при помощи данных по  $\alpha$ -постоянным, полученных из анализа полос ниже  $8500\ \text{см}^{-1}$ , и показано, что учет лишь вращательного  $l$ -резонанса приводит к удовлетворительному согла-нию между опытными и вычисленными значениями  $B_v$ .

М. Р. Алиев

Х. 1968 · 19

*C<sub>2</sub>H<sub>2</sub>*

1968

У8 Д276. Вращательные постоянные ацетилена. Scott  
James F. Rotational constants of acetylene. «J. Opt. Soc.  
Amer.», 1968, 58, № 1, 142—143 (англ.)

С целью определения вращательных постоянных  $C_2H_2$  исследован фотографич. спектр газообразного  $C_2H_2$  в области 11 000—16 000  $\text{см}^{-1}$  при т-ре  $\sim 300^\circ\text{K}$  в интервале давлений от 100 мм рт. ст. до 1 атм в слое 40 м. Полученные значения в сравнении с рассчитанными на основании измерений в области  $< 8500 \text{ см}^{-1}$ ; совпадение измеренных и рассчитанных значений позволяет сделать вывод, что значения коэф.  $\alpha_i$ , определяемые из ИК-спектров, дают правильные значения вращательных постоянных в области 11 000—16 000  $\text{см}^{-1}$ . Обсуждаются некоторые детали отнесения в спектрах. Библ. 11. Э. В. Б.

*вращающей  
пост.*

9. 1968. 8 А

$C_2H_2$

1968

23286L1 Rotational constants of acetylene. Scott, James F.  
(Ohio State Univ., Columbus). *J. Opt. Soc. Amer.* 1968, 58(1),

(*Using incf.*) 142-3 (Eng). The equation  $B(v) = B_0 - \sum i\alpha_i v_i - \sum i \leq j \gamma_{ij} v_i v_j$  gave an extremely good fit to HIC:CH rotational consts. of even the most excited vibrational states when:  $\gamma_{ij}$  terms were neglected; the  $\alpha_i$  were detd. from ir bands, 11,000-16,000 cm.<sup>-1</sup>; and resonance effects reported by Lafferty and Thibault, Scott and Rao were included.

FBJN

C.A. 1968.69.6

C<sub>2</sub>H<sub>2</sub>

1968

Setser D. W.

Stedman D. H.

E<sub>max</sub>

J. Chem. Phys., 49 (1), 467

(all. CO<sub>2</sub>) III

*C<sub>2</sub>H<sub>2</sub>*

*1968*

9 Д189. Изучение триплетных состояний ацетилена методом электронного удара. Тгайтаг S., Rice J. K., Wei P. S. P., Кирреттапп A. Triplet states of acetylene by electron impact. «Chem. Phys. Letters», 1968, 1, № 13, 703—705 (англ.)

Методом электронного удара (с малыми энергиями налетающих электронов) исследуется молекула ацетилена. Обнаружены два низколежащих триплетных состояния при 5,2 и 6,1 эв. Идентификация состояний основана на правилах, выведенных из зависимости от энергии и угловой зависимости диффер. сечений рассения для известных 10 синглет-синглетных и 9 триплет-синглетных переходов в He, H<sub>2</sub>, N<sub>2</sub> и CO. Дано объяснение, почему эти триплеты не были обнаружены в оптич. спектре поглощения. Предсказано, что при кинетич. энергиях падающих электронов, превышающих

*Ф. 1968. 98*

~~9д190~~

Физик

100 эв, переходы в открытые триплетные состояния  
должны ослабевать.

Е. А. Пшеничнов

80528.1853

Ph, Ch

X 4164

~~LiC<sub>2</sub>H~~, C<sub>2</sub>H<sub>2</sub> 1968  
C<sub>2</sub>H<sub>2</sub>, 40892

Vellard Alain.

(pacres, M.N.J.D.)

Electronic structure of lithiumacetylene.

"J. Chem. Phys.", 1968, 48, N 5, 2012-2016

10

(англ.)

730 736

739

ВИНИТИ

1969

C<sub>2</sub>H<sub>2</sub>

C<sub>2</sub>D<sub>2</sub>

C<sub>2</sub>HD

IR. curves  
6 spectra

T.

C.A. 1969.

118025f Fermi resonance in the infrared spectra of acetylene in solutions. Borgest, V. A.; Kolomiitsova, T. D. (USSR). *Opt. Spektrosk.* 1969, 27(2), 241-3 (Russ.). The ir spectra of C<sub>2</sub>H<sub>2</sub>, C<sub>2</sub>HD, and C<sub>2</sub>D<sub>2</sub> solns. in liq. N (77°K.) and O (90-120°K.), the splitting of the 3300-cm.<sup>-1</sup> absorption band as well as the ratio of integral intensities of the corresponding doublets have been measured. A considerable increase of the half-width of the doublets with increasing temp. was observed. The differences in the spectra of acetylene solns. in the 3300-cm.<sup>-1</sup> range are explained by various conditions for the Fermi resonance between the levels  $\nu_3$  and  $\nu_2 + \nu_4 + \nu_5$ .

V. Vesely

+2

71.24

18

*C<sub>2</sub>H<sub>2</sub>*

*(изицелен  
Э. Дифорд)*

*1969*

) 16 Б122. Принцип Франка — Кондона и ионизация ацетилена электронным ударом. В.г.оп. С.Е. The Franck—Condon principle and the ionization of acetylene by electron impact. «Chem. Phys. Letters», 1969, 3, № 1, 9—11 (англ.)

Получена кривая эффективности ионизации ацетилена моноэнергетич. электронным пучком, отфильтрованным в 127-градусном электростатич. анализаторе, разделяющем электроны по энергиям. Анализ элементов структуры кривой вблизи пороговых значений энергий обнаружил известные колебательные уровни иона C<sub>2</sub>H<sub>2</sub><sup>+</sup>. Сравнение полученных значений энергии колебательных уровней с данными фотоэлектронной спектроскопии и фотонионизации указывает на нарушение принципа Франка — Кондона при ионизации электронным пучком. Подтверждается возможность образования переходного комплекса между молекулой и бомбардирующими электроном со временем жизни ~10<sup>-13</sup> секунд. М. Туркина

*X. 1969.*

*16*

*C<sub>2</sub>H<sub>2</sub>*

*(ионизация)*

*электронный  
ударом*

10 Д152. Принцип Франка—Кондона и ионизация ацетилена электронным ударом. Вгiоп С. Е. The Franck—Condon principle and the ionization of acetylene by electron impact. «Chem. Phys. Letters», 1969, 3, № 1, 9—11 (англ.)

1969

Получена кривая эффективности ионизации ацетилена моноэнергетич. пучком электронов, отфильтрованным в 127° электростатич. анализаторе, разделяющем электроны по энергиям. Анализ структуры кривой вблизи пороговых значений энергии обнаружил известные колебательные уровни C<sub>2</sub>H<sub>2</sub><sup>+</sup>. Сравнение полученных значений энергии колебательных уровней с данными фотоэлектронной спектроскопии и фотоионизации указывает на нарушение принципа Франка—Кондона при ионизации электронным пучком. Указывается на возможность образования переходного комплекса между молекулой и бомбардирующими электроном со временем жизни 10<sup>-13</sup> сек.

99. 1969. 108

1969

C<sub>2</sub>H<sub>2</sub>

Gey 8., Maksic Z.B.,  
Gymnajstic N.

Mex.  
pacem

J. Mol. Struct., 3 (1-2),  
21-6.

(cav. BH<sub>3</sub>) III

1969

C<sub>2</sub>H<sub>2</sub>

61074u Wave mechanical absolute calculations on acetylene and simple halogen-substituted acetylenes. Haase, Joachim; Janoschek, R.; Preuss, Heinz Werner; Diercksen, G. (Univ. Karlsruhe, Karlsruhe, Ger.). *J. Mol. Struct.* 1969, 3(1-2), 165-9 (Ger). The total energies, ionization energies, steady state bond distances, and force consts. of C<sub>2</sub>H<sub>2</sub>, C<sub>2</sub>HF, and C<sub>2</sub>HCl are calcd. by using the self consistent M.O.L.C. (L.C.-G.(gaussian)O.) method. The ionization energies are 10.7 (11.4), 10.34, and 8.8 ev. for C<sub>2</sub>H<sub>2</sub>, C<sub>2</sub>HF, and C<sub>2</sub>HCl, resp. The asymmetric and symmetric vibrational frequencies are calcd. for C<sub>2</sub>H<sub>2</sub> on the basis of the calcd. force consts. The slightly lower interat. distances of the substituted derivs. are probably a result of the at. vols. of the halogens. The charge d. of the H-atom decreases with decreasing electronegativity of the substituents at the other C atom (H, F, Cl). The at. distances deviate by <1% from the measured values. Ionization occurs at the triple bond.

+2

BVJG

C.A. 1969.

40-1

X

1969

C<sub>2</sub>H<sub>2</sub>

Milligan D.E.,  
Yacov M. E.

quoniamus

J. Chem. Phys., 1969,  
51, n 5, 1952.



(Cu. C<sub>2</sub><sup>-</sup>) III

$C_2H_2(S)$

14

XIV 1980'1969

Omura J; Kaneko T; Yamada Y;  
Tanaka K.

J. Phys. Soc. Jap. 1969, 27(1), 178-81

Mass-spectrometric studies of  
photoionization. IV Acetylene  
and propane.

E.G.T. & R.K.

10



C.A. 1969, 44, N10, 13472P

C<sub>2</sub>H<sub>2</sub>

ub. Mex.  
facet

Polák R.

Theoret. chim. acta,  
14 (2), 163.

(see. Li<sub>2</sub>) III

$C_2 H_2$

Preuss H.

1969

Jawoscheck R.

$D_0$

$\eta$

$r_e$

$r_i$

y. Mol. Street; 3 (4-5),  
423.

(act.  $C_2 H_4$ ) III

$C_2H_2$

Snyder L.C., 1969  
Basch H.

for use  
as-aer  
kb.-ex  
paerem

J. Amer. Chem. Soc.,  
1969, 91, 9, 2189.



$(C_6H_5)_3$

1969

 $C_2H_2$ 

21 Б62. Ангармонические силовые постоянные ацетилена. Кубические и квартичные силовые постоянные ацетилена; расчет с общим квартичным силовым полем и эмпирическая потенциальная функция. Suzuki I., Overend John. Anharmonic force constants of acetylene, Cubic and quartic force constants of acetylene; calculations with a general quartic force field and an empirical anharmonic potential function. «Spectrochim. acta», 1969, A 25, № 5, 977—987 (англ.)

Из лит. данных по гармонич. частотам  $\omega_n^0$ , постоянным ангармоничности  $X_{mn}$  и постоянным колебательно-вращательного взаимодействия  $a_n$  молекул  $C_2H_2$ ,  $C_2HD$  и  $C_2D_2$  вычислены квартич., кубич. и квартичные силовые коэф. модифицированного валентного силового поля молекулы  $C_2H_2$ . Потенциальная функция выражена

X · 1969.

21

через внутренние координаты, а переход к нормальным координатам осуществлен нелинейным преобразованием. Показано, что для определения наиболее общего квартичного силового поля с 43 коэф. эксперим. данных недостаточно. Предложено модифицированное поле с 19 параметрами, в к-ром для описания ангармоничности валентных связей вводятся функции Морза и учитывается ряд ангармонич. членов, соотв-щих взаимодействию валентных связей с углами и углов между собой. Найденный набор силовых коэф. для этого поля удовлетворительно воспроизводит эксперим. данные по  $\omega_n^0$ ,  $X_{mn}$   
и  $a_n$ .

М. Р. Алиев

1969

$C_2 H_2$

сул.  
ночн.

✓ 11 Д165. Ангармонические силовые постоянные ацетилена. Кубические силовые постоянные и постоянные четвертого порядка ацетилена; расчет с общим силовым полем, учитывающим члены четвертого порядка и эмпирическая ангармоническая потенциальная функция. Suzuki I., Overend John. Anharmonic force constants of acetylene. Cubic and quartic force constants of acetylene; calculations with a general quartic force field and an empirical anharmonic potential function. «Spectrochim. acta», 1969, A 25, № 5, 977—987 (англ.)

Ф. 1969. 110

Из литературных данных о гармонич. частотах  $\omega_n^0$  по-  
стоянных ангармоничности  $x_{mn}$  и постоянных колеба-  
тельно-вращательного взаимодействия  $\alpha_n$  молекул  
 $C_2H_2$ ,  $C_2HD$  и  $C_2D_2$  вычислены силовые коэф. модифици-  
рованного валентного силового поля молекулы  $C_2H_2$  в  
разложении потенциала до 4-го порядка включительно.  
Потенц. ф-ция выражена через внутренние координаты,  
а переход к норм. координатам осуществлен нелиней-  
ным преобразованием. Показано, что для определения  
наиболее общего (учитывающего члены четвертого поряд-  
ка) силового поля с 43 коэф. эксперим. данных недоста-  
точно. Предложено модифицированное поле с 19 па-  
раметрами, в котором для описания ангармоничности ва-  
лентных связей вводятся ф-ции Морзе и учитывается ряд  
ангармонич. членов, соответствующих взаимодействию ва-  
лентных связей с углами и углов между собой. Найден-  
ный набор силовых коэф. для этого поля удовлетвори-  
тельно воспроизводит эксперим. данные по  $\omega_n^0$ ,  $x_{mn}$   
и  $\alpha_n$ .

М. Р. Алиев

C<sub>2</sub>H<sub>2</sub>

1969

8102w) Anharmonic force constants of acetylene. Cubic and quartic force constants of acetylene; calculations with a general quartic force field and an empirical anharmonic potential function. Suzuki, Isao; Overend, John (Univ. of Minnesota, Minneapolis, Minn.). *Spectrochim. Acta, Part A* 1969, 25(5), 977-87 (Eng). Literature values of the vibrational frequencies and rotational consts. of C<sub>2</sub>H<sub>2</sub>, C<sub>2</sub>HD, and C<sub>2</sub>D<sub>2</sub> have been used to det. the anharmonic force consts. The most general quartic valence potential function has been investigated although there are presently insufficient data to fix all the force consts. uniquely. An empirical 19-parameter anharmonic potential function is described which fits the exptl. data as well as the 40-parameter general force field. Internally self-consistent sets of  $x_{ij}$ , and  $\omega_i$  are given.

RCSQ

Chem. News.

V. i

C.A.

1969 - 71. 2

$C_2H_2$

XIV-1128

1970

Binerboym Y., Schaeffer R.  
Di;

Inorg. Chem., 1970, 9,  
N6, 1578-80.

C<sub>2</sub>H<sub>2</sub>

Bodor N., et al.

1970

2;

J. Russ. Chem. Soc., 92,  
130, 3854.

дл. иском;  
J.

Особенное соединение  
состоит с O-хеллер. X.  
Распространение метода  
использованного приводи-  
мое в  гидролизуемое  
израильской науки

нелес, содержащие азот  
или кальций.



$C_2H_2$

ub. exp.  
pacet

Gimarc B.M.

1970

J. Amer. Chem. Soc.,  
92 (2), 266.

(C<sub>2</sub>N<sub>2</sub>) III

$C_2 H_2$

Greindler W.

1850

Tetrahedron,

Helpme  
chezu



XIV - 1649

1970

C<sub>2</sub>H<sub>2</sub>, C<sub>2</sub>H<sub>4</sub>, C<sub>2</sub>H<sub>6</sub> / Z<sub>C-H</sub>)

Janoschek R.,

Z. Naturforsch., A 1970, 25 (2),

(+2)

311 - 12

EOSTE M. K.



10

1980

XIV-1669

C<sub>2</sub>H<sub>2</sub>

8050q ab initio SCF and CI [configuration interaction] calculations of linear and bent acetylene. Kammer, Wolf E. (Inst. Theor. Phys., Giessen, Ger.). *Chem. Phys. Lett.* 1970, 6(5), 529-32 (Eng). Ab initio SCF MO and CI calcns. on C<sub>2</sub>H<sub>2</sub> in linear and bent conformations indicate that most of the low-lying electronically excited states of C<sub>2</sub>H<sub>2</sub> have stable cis and trans isomers. Calcd. transition energies are discussed in relation to obsd. optical absorption bands and electronic excitation energies.

FBJN

Nb. Jlex.pacet

C. S. 1971.4.2

CH ≡ CH

XIV-1669

1970

Б 61. Неэмпирический расчет линейной и нелинейной конформаций ацетилена методом ССП и КВ. Каттер Wolf Ekkehard. Ab initio SCF and CI calculations of linear and bent acetylene. «Chem. Phys. Lett.», 1970, 6, № 5, 529—532 (англ.).

С использованием базиса из 60 гауссовых функций, сгруппированных в 24 набора, рассчитаны основное и возбужденное состояния линейной и нелинейной конформации молекулы ацетилена. Рассчитанные спектры поглощения находятся в хорошем соответствии с эксперим. данными по электронному удару. Из резюме

расчет;  
и. и.;  
гол. сп-ра;

X. 1971. 5

1970

HC:CH

XIV-546

26076g Mass-spectrometric studies of mono- and dihaloacetylenes. Kloster-Jensen, Else; Pascual, C.; Vogt, Jan (Phys.-Cheni. Inst., Univ. Basel, Basel, Switz.). *Helv. Chim. Acta* 1970, 53(8), 2109-18 (Eng). The C:C bond dissociation energies of halogenated acetylenes, detd. from the CH<sup>+</sup> and CX<sup>+</sup> appearance potentials, were HC:CH 230, FC:CH 178, ClC:CH

166, BrC:CH 202, IC:CH —, ClC:CCl 125, BrC:CBr 155, IC:CI —, ClC:CBr 150, ClC:CI 173, and BrC:CI 174 kcal/mole.

The appearance potential of CH<sup>+</sup> from IC:CH could not be detd. because of the low abundance of this ion.

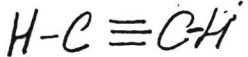
CWJN

+ B III;

+ g I

X

C.A. 1971.74.6



XIV-546

1970

9 Б84. Масс-спектрометрическое исследование моно и дигалогенацетиленов. Kloster-Jensen Else, Pascual C., Vogt J. Mass spectrometric studies of topo- and di-haloacetylenes. «Helv. chim. acta», 1970, 53, № 8, 2109—2118 (англ.)

Исследованы масс-спектры ряда галогенацетиленов (в скобках приведены значения энергий диссоциации  $-\text{C}\equiv\text{C}-$  связи в ккал/моль, вычисленные исходя из измеренных потенциалов появления ионов  $\text{CH}^+$  и  $\text{CX}^+$ , где X — галоген):  $\text{H}-\text{C}\equiv\text{C}-\text{H}$ (230),  $\text{F}-\text{C}\equiv\text{C}-\text{H}$ (178),  $\text{Cl}-\text{C}\equiv\text{C}-\text{H}$ (166),  $\text{Br}-\text{C}\equiv\text{C}-\text{H}$ (202),  $\text{Cl}-\text{C}\equiv\text{C}-\text{Cl}$ (125),  $\text{Br}-\text{C}\equiv\text{C}-\text{Br}$ (155),  $\text{Cl}-\text{C}\equiv\text{C}-\text{Br}$ (150),  $\text{Cl}-\text{C}\equiv\text{C}-\text{J}$ (173) и  $\text{Br}-\text{C}\equiv\text{C}-\text{J}$ (174). Определены потенциалы появления одно- и двухзарядных молек. ионов исследуемых соединений.

Б. В. Розинов



+8 III,

+9 I



X 1971.9

C<sub>2</sub>H<sub>2</sub>

Maksic Z.B.

1970

Raudic M.

J. Amer. Chem. Soc.,  
92, 424-5.

N<sub>c-H</sub>

paquet

(See C<sub>2</sub>H<sub>6</sub>) III

C<sub>2</sub>H<sub>2</sub>

Manne R.

1970

J. Chem. Phys. 52 (11),  
5733.

Si  
paezem

(all. CH<sub>4</sub>) III

C<sub>2</sub>H<sub>2</sub>

1970

UK - checkpr

105030r Infrared bands of acetylene-<sup>12</sup>C, -<sup>13</sup>C, and -<sup>12</sup>C<sup>13</sup>C.  
Mickelson, Michael E. (Ohio State Univ., Columbus, Ohio).  
1969, 368 pp. (Eng). Avail. Univ. Microfilms, Ann Arbor,  
Mich., Order No. 70-14,074. From *Diss. Abstr. Int. B* 1970,  
31(2), 854. SNDC

C. A. 1971. 77. 20.

X<sub>2</sub>Y<sub>2</sub>

C<sub>2</sub>H<sub>2</sub>

1970

X<sub>3</sub>Y<sub>4</sub>

X<sub>2</sub>Y<sub>6</sub>

Organic  
molecules

unpublished

93510- Symmetry rule for predicting the structures of molecules. II. Structure of X<sub>n</sub>Y<sub>n</sub> molecules. Pearson, Ralph G. (Chem. Dep., Northwestern Univ., Evanston, Ill.). *J. Chem. Phys.* 1970, 52(5), 2167-74 (Eng). By using the 2nd-order Jahn-Teller effect as a criterion, mol. shapes are predicted for mols. with the formulas X<sub>2</sub>Y<sub>2</sub>, X<sub>2</sub>Y<sub>4</sub>, and X<sub>2</sub>Y<sub>6</sub>. The method is remarkably successful, the only failure being the inability to predict the correct angle of rotation about single bonds. However, this is a necessary failure.

RCJQ

(437)

C.A. 1970. 72. 18



*C<sub>2</sub>H<sub>2</sub>*

*1970*

4Д173. Об эффекте Реннера в молекуле ацетилена.  
Петелин А. Н. «Оптика и спектроскопия», 1970, 29,  
№ 6, 1153—1155

Рассмотрен эффект Реннера в линейной молекуле типа  $X_2Y_2$ , находящейся в электронном  $^1\Pi$ -состоянии. Расчет проведен с помощью теории возмущений для малой постоянной электронно-колебательного взаимодействия. Приводятся выражения для уровней энергии  $E_{v1}, v^2$  при  $v_1=1, v_2=0$  и  $v_1=0, v_2=1$  (с точностью до членов 2-го порядка малости). Показано, что эти уровни расщепляются на 3 компоненты. Кратко обсуждается вопрос о со-поставлении полученных результатов с известными спек-трами данными (по спектрам поглощения) для молекул  $C_2H_2$  и  $C_2D_2$ .

B. A. Морозов

*эффект  
Реннера*

*оп. 1971. 48*

C<sub>2</sub>H<sub>2</sub>

1970

(104848b) Renner effect in an acetylene molecule. Petelin,  
A. N. (USSR). Opt. Spektrosk. 1970, 29(6), 1153-5 (Russ).

The Renner effect in a linear mol. of the type X<sub>2</sub>Y<sub>2</sub> in the electronic  $^1\pi$  state is theoretically discussed. The absorption of C<sub>2</sub>H<sub>2</sub> and C<sub>2</sub>D<sub>2</sub> at  $\sim 1250 \text{ \AA}$  ( $^1\Pi_u - ^1\Sigma_g^+$  transition) was solved in terms of derived equations based on wave functions of the mol. All 3 bands corresponding to the 00001-00001 transition of both mols. were estd.

M. Tichy

М. Н.  
Реннер

II  
I

+I, II, обу



C.A. 1971. 74. 20

C<sub>2</sub>H<sub>2</sub>

1970

кривые  
иониз.

З Д288. Принцип Франка — Кондона для ионизации многоатомных молекул. Rosenstock H. M., Bottег R. Franck — Condon principle for the ionization of polyatomic molecules. «Recent Develop. Mass Spectroscopy. Proc. Int. Conf. Mass Spectroscopy, Kyoto, 1969». Tokyo, 1970, 797—806. Discuss., 806 (англ.).

Обзор работ по применению принципа Франка — Кондона к рассмотрению переходов в ионизационное состояние в многоатомных молекулах. Обсуждается колебательная структура кривых ионизации в молекулах C<sub>2</sub>H<sub>2</sub>, H<sub>2</sub>O, NH<sub>3</sub> и N<sub>2</sub>O. Даны примеры, иллюстрирующие различные проблемы при применении принципа Франка — Кондона к рассматриваемым переходам, такие, как выбор частот переходов, учет изменения гео-

ф. 1975 № 3

3  
+3  
+1  
+1  
fmi. 4. с

метрии и симметрии иона по сравнению с молекулой,  
учет ангармоничности и смешивания колебаний при вы-  
числении множителей Франка — Кондона. Библ. 30.  
В. А. Морозов

1970

C<sub>2</sub>H<sub>2</sub>

21 Б88. Анализ колебаний некоторых молекул  $X_2Y_2$  методом функции Грина. Ramaswamy K., Srinivasan K. Green's function analysis of some  $X_2Y_2$  linear molecules. «J. Mol. Struct.», 1970, 5, № 5, 337—344 (англ.)

Методом функции Грина выведены новые изотопич. соотношения между частотами колебаний пар линейных  $X_2Y_2$ — $X'_2Y_2$ ,  $X_2Y'_2$ ,  $X'XY_2$  и  $X_2YY'$ . При помощи этих соотношений вычислены частоты ряда изотопозамещенных (по Н и С) молекулы ацетилена. Полученные значения частот согласуются с эксперим. Вычислены также силовые постоянные  $C_2H_2$ , средние амплитуды колебаний, постоянные центробежного искажения ( $D$ ) и кориолисова взаимодействия ( $\zeta$ ) молекул  $C_2H_2$ ,  $C_2D_2$ ,  $C_2T_2$  и  $^{13}C_2H_2$ . Значения  $D$  и  $\zeta$ -постоянных удовлетворяют соотношению между ними.

М. Р. Алиев

X. 1970. 21

+2

18

$C_2H_2$

Thomas T. D.

1870

J. Cheee. Phys., 52(3),  
1873.

(9)

(See.  $CH_4$ ) III

1971

 $C_2H_2$ 

8 Б1413. Флуоресценция при фотолизе ацетилена в области вакуумного ультрафиолета. Вескег К. Н., Накас Д., Schürgers M. Fluorescence in the vacuum-uv photolysis of acetylene. «Z. Naturforsch.», 1971, 26a, № 10, 1770—1771 (англ.)

фотолиз;  
спектр  
флуоресц.

Зарегистрирован спектр флуоресценции (ФЛ)  $C_2H_2$  при давл. 0,02—0,12 мм, возбуждаемой светом Кг-резонансной лампы (в основном  $\lambda$  1236 Å, 20% интенсивности — в области  $\lambda$  1165 Å). Спектр ФЛ сравнивается со спектром испускания пламени (СИП) в зоне р-ции  $C_2H_2$  с атомами О. Оба спектра (при разрешении  $\Delta\lambda \sim 10$  Å) содержат широкую полосу, начинающуюся при  $\lambda \sim 4000$  Å и простирающуюся далеко в красную область до  $\lambda \sim 5700$  Å ( $\lambda_{\text{макс.}} \sim 4900$  Å). Полосы Свана молекулы  $C_2$  ( $A^3\Pi_g \rightarrow X^3\Pi_u$ ) наблюдаются только в СИП. Спектр ФЛ не обнаруживает какой-либо структуры да-

узи  
лизи  
чия

X. 1972.8

же при его регистрации с  $\Delta\lambda=0,5$  Å, что позволяет исключить любую двухатомную молекулу как возможный носитель  $X^*$  спектра ФЛ. Квантовый выход ФЛ составляет 0,1%. В опытах с изменением давл. показано, что естественное время жизни  $X^*$  равно 6,2 мксек. Константы скорости тушения ФЛ различными молекулами таковы ( $10^{-11}$  см<sup>3</sup>/молекула·сек):  $C_2H_2$   $15 \pm 2$ ;  $H_2$   $8,3 \pm 1,5$ ;  $N_2$   $5,2 \pm 1,5$ ;  $Ar$   $6,4 \pm 1,5$ . Сделан вывод, что  $X^*$  образуется в перв. акте фотолиза  $C_2H_2$ . Не обнаружено никакой ФЛ под действием света 1236 Å на производные  $C_2H_2$ :  $MeC_2H$ ,  $EtC_2H$ ,  $C_4H_2$ , лишь для  $CNC_2H$  наблюдаются фиолетовые полосы спектра ФЛ  $CN^*$ . Не обнаружено также резонансной ФЛ  $C_2H_2^*$ . Сделан вывод, что  $X^*$  является молекула  $C_2H_2^*$  или (менее вероятно)  $C_2H^*$ . Возбуждение  $C_2H_2^*$ , вероятно, происходит в запрещенном оптич. переходе, что объясняет малый квантовый выход ФЛ. Широкая полоса в СИП может объясняться передачей энергии от высоковозбужденных молекул  $CO^*$  к  $C_2H_2$ . Эта полоса отсутствует в СИП зоны р-ции в системе  $C_3O_2 + O + H$ .

В. Е. Скурат

1941

C<sub>2</sub>H<sub>2</sub>

cu. Br<sub>2</sub> 05.

Boyd R. Y.  
Whitehead M. A.

21

J. Chem. Soc., 1941,

f, n 22, 3549.

(Cu. Br)<sup>III</sup>.

сравнение сброс. эксперимент и расчетных  
поправленных потенциалов  
сингулярных геометрий (3V)

Из-за	Сброс.	I	II	III	IV	экспр.
$C_2H_2$	$T_u$	11.55	10.24	12.02	10.80	11.40 $T_{1u}$
	$\sigma_g$	13.56	12.80	13.90	13.78	16.44 $\sigma_g$
	$\sigma_u$	19.42	18.78	19.52	18.93	18.42 $\sigma_u$
	$\sigma_g^*$	29.26	29.31	26.19	25.84	

$\text{C}_2\text{H}_2$

Chaturvedi G. C., 1971  
Rao C. N. R.

?i,  
c.c.e.n.

Onnur CR-2995

Spectrochim. Acta,  
1971, A24, v10, 2097

● (Cu. HCN) III

1971

 $C_2H_2$ 

5 Б45.  $\pi$ -Электронная теория ацетилена. II. Неограниченный метод Хартри—Фока. Dancz John, Nagris Robert A. Pi-electron theory of acetylene. II. Unrestricted Hartree—Fock theory. «J. Chem. Phys.», 1971, 55, № 6, 2368—2875 (англ.)

кв-мех  
расчет

В рамках неограниченного метода Хартри—Фока, с использованием формализма вторичного квантования, проведен расчет молекулы  $C_2H_2$  с вариацией параметров  $\pi$ -электронного гамильтониана Паризера—Парра—Попла. При сопоставлении с соответствующими результатами точной диагонализации  $\pi$ -электронного гамильтониана найдено, что полученные симметризованные волновые функции дают хорошее описание всех изученных св-в  $\pi$ -электронной системы ацетилена: полной энергии, корреляц. функций и перекрывания с точной функцией основного состояния. Сообщ. Ф см. РЖХим, 1970, 18Б50.

Е. Шусторович

X. 1972. 5

C<sub>2</sub>H<sub>2</sub>

obs no 2994

1971

(124579p) Determination of new acetylene "hot bands" observed in the emission at 2.4  $\mu$ . Delaval, Yves; Cartigny, Jacques; Lecomte, Jean (Lab. Rech. Phys., Univ. Paris VI, Paris, Fr.). *C. R. Acad. Sci., Ser. B* 1971, 273(2), 80-4 (Fr). In the emission spectrum of C<sub>2</sub>H<sub>2</sub> at 770°K, bands near the ( $\nu_1 + \nu_5$ ) band ( $\nu_0 = 4091.18 \text{ cm}^{-1}$ ) were obsd. which were not obsd. at room temp. These bands are called hot bands and originate primarily in the ( $\nu_1 + \nu_4^{\pm 1} + \nu_5^{\pm 1}$ ) -  $\nu_4$  and ( $\nu_1 + 2\nu_5^{\pm 2,0}$ ) -  $\nu_5$  transitions. The ( $\nu_1 + \nu_4 + \nu_5$ ) and ( $\nu_1 + 2\nu_5$ ) levels were sufficiently populated to give rise to P, Q, and R lines of measureable intensity. The ( $\nu_1 + 2\nu_4 + \nu_5$ ), ( $\nu_1 + \nu_4 + 2\nu_5$ ), and ( $\nu_1 + 3\nu_5$ ) were too weakly populated for measurement of fine structure. For the  $\nu_1 + \nu_5$  band,  $J \leq 46$  levels were attained.

14

C. R. 1971

45.20

*C<sub>2</sub>H<sub>2</sub>*

*Бимесе 2992*

*1971*

2 Б190. Тонкая структура полос излучения ацетилена при 700° К в области 2,4 мкм (4100 см<sup>-1</sup>). Delaval Yves, Cartigny Jacques, Lecomte Jean. Structure fine de bandes d'émission observées vers 2,4 μ (4·100 cm<sup>-1</sup>) avec l'acétylène chauffé vers 700 K. «Mém. Soc. roy. sci. Liège», 1971, 1, № 2, 65—74 (франц.)

*P1*  
*М. Н.* Для изучения малонитенсивного ИК-излучения нагретых газов использован растровый ИК-спектрометр системы Жирара, обеспечивший в этих условиях в области 4000 см<sup>-1</sup> разрешение 0,11—0,14 см<sup>-1</sup>. Калибровка спектрометра по длинам волн проведена с помощью спектров излучения аргона и неона, возбуждавшихся в разрядных лампах. Полосы излучения ацетилена, нагретого до 770° К регистрировали в области 3969—4187 см<sup>-1</sup>. Составная полоса  $v_1 + v_5^{-1}$  ( $\Pi - \Sigma$ ) в спектре излучения простирается вплоть до  $\tilde{\nu} = 46$ . Для нее найдены  $v_0$ ,  $B'$ ,  $B''$ ,  $D'$  и  $D''$ . В этой же области исследованы горячие полосы.

Г. Н. Жижин

*X·197d-d*

*C<sub>2</sub>H<sub>2</sub>*

*Одномер 2992*

*1971*

2 Д531. Тонкая структура полос излучения ацетилена около 2,4 мк при температуре 700° К. Delaval Yves, Cattigny Jacques, Lecomte Jean. Structure fine de bandes d'émission observées vers 2,4 μ (4100 cm<sup>-1</sup>) avec l'acétylène chauffé vers 700° K. «Mém. Soc. roy. sci. Liège», 1971, 1, № 2, 65—74 (франц.)

*M. n.*

Получены ИК-спектры излучения ацетилена при т-ре 760° К с разрешением 0,1 см<sup>-1</sup> в области 4100 см<sup>-1</sup>.

*30. 1972. 20*

Спектры зарегистрированы на спектрометре Жирара решеткой 300 штрих/мм во втором порядке. Для градуировки спектрометра использованы спектры разряда в аргоне и неоне и нагретого CO. Наблюденные спектры связаны с переходом  $v_1 + v_5'$  на основной уровень и рядом «горячих» переходов. Метод позволяет исследовать состояния с большими числами  $J$  вплоть до  $J=45$ . Приведены частоты  $P$ - и  $R$ -линий полосы  $v_1 + v_5$  ацетилена, из анализа этих частот определены вращательные постоянные  $B$  и  $D$  в основном и возбужденном колебательных состояниях. По полосам горячих переходов изучена структура уровней, соответствующих возбуждениям нескольких колебаний. Определены величины расщеплений уровней на компоненты  $\Sigma^-$  и  $\Sigma^+$  и  $\Sigma$  и  $\Delta$ . Библ. 10.

М. В. Тонков

C<sub>2</sub>H<sub>2</sub>

(Vi)

XIV-2835  
~~assocate 2992~~

1941

103301b) Fine structure of the emission bands observed near  $2.4 \mu$  ( $4100 \text{ cm}^{-1}$ ) in acetylene heated at  $700^\circ\text{K}$ . Delaval, Yves; Cartigny, Jacques; Lecomte, Jean (Fac. Sci., Paris, Fr.). *Mem. Soc. Roy. Sci. Liege, Collect.* 8° 1971, 1(2), 65-86 (Fr). The emission spectra of C<sub>2</sub>H<sub>2</sub>, heated to  $760^\circ\text{K}$ , in the  $2.4-\mu$  region were obtained with the aid of a grating spectrograph. In spite of the weak emission gas spectra contg. fine structure were obtained. By utilizing the 5 fundamental bands of C<sub>2</sub>H<sub>2</sub> and symmetry considerations, it was possible to calc. the origin of the obsd. bands with good accuracy. By using upper rotational levels it was possible to calc. rotational consts. that were in good agreement with those of other workers. This work illustrates a new way of studying high temp. vibrational-rotational bands.

Norman Slagg

C.A. 1941. 45. 16

C<sub>2</sub>H<sub>2</sub>

Ditchfield R.  
at all

1941

paerem J. Chem. Phys. 1941, 5,  
N<sub>2</sub>, 424-28



• (C<sub>2</sub>H<sub>2</sub>O)<sup>III</sup>

C<sub>2</sub>H<sub>2</sub>

AlCl<sub>4</sub><sup>-</sup>

LiAlCl<sub>4</sub>

M. n.

rb. Mex.

paerem

1941

(6914s) Quantum-chemical studies about acetylene, the tetrachloroaluminate(III) ion, and lithium tetrachloroaluminate(III). Drossbach, P.; Hoff, H. (Phys.-Chem. Elektrochem. Inst., Tech. Univ. Muenchen, Munich, Ger.). *Z. Naturforsch. A* 1971, 26(9), 1397-1406 (Ger). Calcns. are made for HC:CH, AlCl<sub>4</sub><sup>-</sup>, and LiAlCl<sub>4</sub> by using the SCF-MO-LC-LCGO method regarding all electrons. The orbital energies, populations, and orbital centers are reported. The dipole moment for LiAlCl<sub>4</sub> is 12.2923 D. Compared with the free atoms, the Roentgen levels in the mols. are not only lowered by chem. bonding but also lifted by the electron interaction. The discharge of an ion with simultaneous transition of several electrons is discussed.

(+2)

C. A. 1942.

46.2

C<sub>2</sub>H<sub>2</sub>

6 Б34. Квантово-химические исследования ацетилена, иона тетрахлоралюмината и тетрахлоралюмината лития. Grossbach P., Hoff H. Quantenchemische Untersuchungen an acetylen, tetrachloroaluminat(III)-ion und Lithiumtetrachloroaluminat(III) «Z. Naturforsch.», 1971, 26 a, № 9, 1397—1406 (нем.)

Неэмпирическим методом МО ССП проведен расчет C<sub>2</sub>H<sub>2</sub> (I), AlCl<sub>4</sub><sup>-</sup> (II) и LiAlCl<sub>4</sub> (III). Для I использовался базис из 3 ГФ для Н, 5 ГФ для s-АО С и 16 сгруппированных ГФ для 2p-АО С. Приведены поляя и электронная энергии и вычисленный потенциал ионизации I (10,48 эв). Для расчета II использовалось 93 ГФ в виде 59 групп (приведены экспоненты ГФ, имитирующих s- и p-АО Al и Cl). Приведены орбитальные энергии II с указанием АО, дающих основные вклады в МО, а также координаты центров тяжести распределений электронов на всех МО. Расчет II проводился для 4 значений расстояния Al—Cl, минимум энергии соответствует расстоянию 2,06 Å (опыт

расчет

(4) III 10/10, 5

ЭЖХ, 1972, № 6

☒

2,13А). Обсужден механизм разряда II на электроде, как многоэлектронный процесс с образованием объединенных MO, включающих высшие заполненные MO иона и AO металла. Для расчета III использовались 99 ГФ в виде 64 групп. Из сопоставления данных для иона и соли найдена энергия процесса  $\text{Li}^+ + \text{AlCl}_4^- = \text{LiAlCl}_4$ , равная  $-115$  ккал. Дипольный момент III оценен в  $12,29 D$ , причем выяснено, какая из MO дает наибольший вклад. Приведены графики распределения электронной плотности на некоторых MO и проекция полной электронной плотности в III. Энергии MO сопоставлены с данными по энергиям связи электронов на внутренних AO в атомах по рентгеновским спектрам III. Прослежено также изменение энергий MO иона при взаимодействии с Li.

М. Дяткина

1941

C<sub>2</sub>H<sub>2</sub>

(μ · n)

Kb. dees SC.

paerlin

C.A. 1942. 46. 2

(6915t) Calculation of the acetylene molecule. Egey, Thomas  
(Inst. Theor. Phys., Justus Liebig-Univ. Giessen, Giessen, Ger.).  
*Z. Naturforsch. A* 1971, 26(9), 1496-9 (Ger). The energy of the  
HC:CH mol. was calcd. by the valence bond method using a  
Born-Oppenheimer approxn. of the Hamiltonian. Only opti-  
mized electron (Slater) functions and homeopolar states were  
used to describe 3  $^1\Sigma_g^+$  states and their superpositional state.

СН  
2 2

отмечен 2996

1871

12 Б47. Ридберговы термы ацетилена. Greene E. L., Wood W., Jr., Vagnard Jonathan, Dun-can A. B. Rydberg terms of acetylene. «J. Chem. Phys.», 1971, 54, № 1, 71—74 (англ.)

В одноэлектронном приближении вычислены волновые функции и энергии ридберговых уровней молекулы ацетилена. В кач-ве базиса использованы слейтеровские орбитали. Результаты расчета применены к интерпретации спектра поглощения  $C_2H_2$  в вакуумной УФ-области. Показано, что серия с  $v_n = 92076 - R/(n-0,50)^2$  ( $n=3, 4, \dots, 10$ ) относится к переходам из основного состояния в состояния типа  $^1\pi_u$  с возбуждением одноэлектронных орбиталей  $nS\sigma$ , а серия с  $v_n = 91950 - R/(n-0,95)^2$  ( $n=3, 4, \dots, 10$ ) — к переходам из основного состояния в состояния типа  $^1\Sigma_u^+$  с возбуждением  $nd\pi_g$ -орбиталей.

М. Р. Алиев

Х. 1871. 12

C<sub>2</sub>H<sub>2</sub>

envelope 2996

1971

(26294b) Rydberg terms of acetylene. Greene, Elwood W., Jr., Barnard, Jonathan; Duncan, A. B.: F. (Dép. Chem., Univ. Rochester, Rochester, N.Y.). *J. Chem. Phys.* 1971, 54(1), 71-4 (Eng). It is assumed that 2 obsd. Rydberg series in C<sub>2</sub>H<sub>2</sub> correspond to (ns) and (nd) orbital excitation. Calcns. in a 1-electron approxn. support the assumption in both cases. The core is assumed to be frozen and linear and interat. distances unchanged from normal state values in the Rydberg states and in the lowest state of the ion. The terms agree well with exptl. values. The Rydberg functions are obtained as linear combinations of Slater functions and energies are stable to variation of both linear and nonlinear parameters. RCJQ

Cepheus  
Pugdepta

C.A. 1971.74.6

C<sub>2</sub>H<sub>2</sub>

XIV-2874

1971

структур.  
порядк.

24 Б129. Сравнение геометрии основного состояния C<sub>2</sub>H<sub>2</sub><sup>+</sup>, определенной методом фотоэлектронной спектроскопии, с геометрией C<sub>2</sub>H<sub>2</sub> в некоторых ридберговых состояниях. Hollas J. M., Sutherland T. A. The geometry of the ground state of C<sub>2</sub>H<sub>2</sub><sup>+</sup> from photoelectron spectroscopy compared with that of C<sub>2</sub>H<sub>2</sub> in some Rydberg states. «Mol. Phys.», 1971, 21, № 1, 183—185 (англ.)

Из относит. интенсивности электронно-колебательных полос фотоэлектронного спектра C<sub>2</sub>H<sub>2</sub> при 11,40 эв (первый порог ионизации) с использованием принципа



+1

'C



X. 1971. 24

Франка—Кондона в гармонич. приближении вычислены изменения внутренних колебательных координат  $C_2H_2$  при ионизации ( $\Delta(C-H) = 0,012$ ,  $\Delta(C \equiv C) = 0,050\text{Å}$ ) и структурные параметры иона  $C_2H_2^+$  в основном состоянии  $X^2\Pi_u$  ( $CH = 1,06 \pm 0,01$ ,  $CC = 1,25 \pm 0,01\text{Å}$ ,  $CCH = 180^\circ$ ), а из относит. интенсивностей полос вакуумного УФ-спектра поглощения  $C_2H_2$  вычислены структурные параметры  $C_2H_2$  в возбужденном ридберговом состоянии  $C^1\Pi_u$  ( $CH = 1,07_5 \pm 0,02_5$ ,  $CC = 1,26_5 \pm 0,02$ ,  $HCC = 180^\circ$ ). Показано, что структурные параметры иона  $C_2H_2^+(X^2\Pi_u)$  очень близки к соотв.-щим структурным параметрам молекулы  $C_2H_2$  в ридберговых состояниях  $\tilde{G}^1\Pi_u$  и  $\tilde{C}^1\Pi_u$ .

М. Р. Алиев

C<sub>2</sub>H<sub>2</sub>

Hopkinson A.C.  
Csizmadia G.G.

1971

экспр.  
ст-ве;  
проект  
к  
модели

Chem. Commun., 1971,  
N20, 1291.



C<sub>2</sub>H<sub>2</sub>

C<sub>2</sub>HD

C<sub>2</sub>D<sub>2</sub>

mol.

no cu.

summer 2993

1941

92592u Energy levels and molecular constants of acetylene,  
acetylene-d<sub>2</sub>, and acetylene-d<sub>1</sub> determined from infrared spectra.  
Hurlock, S. C.; Gherzetti, Sergio; Rao, K. Narahari (Dep.  
Phys., Ohio State Univ., Columbus, Ohio). *Mem. Soc. Roy.  
Sci. Liege, Collect. 8° 1971, 1(2), 87-97 (Eng).* A summary is  
given of the best available energy levels and mol. consts. as detd.  
by high resoln. ir spectroscopy for the electronic ground states  
of C<sub>2</sub>H<sub>2</sub>, C<sub>2</sub>HD, and C<sub>2</sub>D<sub>2</sub>. W. J. Lafferty

(+2)

C.A. 1941. 45. 14

1971

C<sub>2</sub>H<sub>2</sub>

Faegle et al.

Duguet et al.

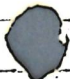
J. Chin phys. et phys.

No.

(experiments)

chin. biol. 1971, 68, N-7-8

1159-61



(Ces. CO<sub>2</sub>)III

1941

$\text{G}\text{H}_2$ :

Lathau W. a.  
at all

$\text{G}\text{H}_2^+$

J. Amer. Chem. Soc.  
1941, 63, N.Y. 808-815

reov.

crp-pa



(Cee.  $\text{H}_2$ ) $\bar{\underline{\underline{I}}}$

1971

C<sub>2</sub>H<sub>2</sub>C<sub>2</sub>H<sub>2</sub>SiF<sub>3</sub>n GP (ny)rb-new  
paeret

(1403w) Analysis of the ionization potentials and the charge distribution of silyl and alkyl substituted  $\pi$ -hydrocarbons using the complete neglect of differential overlap/2 (CNDO/2) method. Pitt, C. G. (Chem. Life Sci. Lab., Res. Triangle Inst., Research Triangle Park, N.C.). *J. Chem. Soc. D.* 1971, (15), 816-18 (Eng). CNDO/2 MO calcns. on acetylenes  $\text{RC:CH}$  ( $\text{R} = \text{SiF}_3$ ,  $\text{CF}_3$ ,  $\text{SiH}_3$ ,  $\text{SiH}_2\text{Me}$ ,  $\text{Si}_2\text{H}_5$ ,  $\text{H}$ , Me, Et,  $\text{CH}_2\text{SiH}_3$ ) reproduced exptl. obsd. trends in charge distribution, despite the omission of  $d$ -orbitals from the Si basis set.

(+ 8) C. A. 1971. 45. 14

C<sub>2</sub>H<sub>2</sub>

C<sub>2</sub>D<sub>2</sub>

N

X/H - H/D

X/H

Schwartz V.A.

Ron A., Kinel S.

1971

J. Chem. Phys., 54(1), 99.

(all. C<sub>2</sub>H<sub>6</sub>) III

*C<sub>2</sub>H<sub>2</sub>*

1971

11 Д153. Использование модифицированного расширенного метода Хюккеля в динамике молекул, содержащих кратные связи. Уегапос Уальтер А. The use of the modified extended Hückel method in the dynamics of molecules containing multiple bonds. «Z. Naturforsch.» 1971, 26a, № 6, 947—952 (англ.)

В рамках модифицированного варианта расширенного метода Хюккеля рассмотрены ацетилен, этилен и этан. Подробно исследованы изменения полной энергии при всех возможных вариациях геометрии. Рассчитанная геометрия наиболее стабильных конфигураций хорошо согласуется с опытом. Оценены параметры, позволяющие с помощью предложенных ранее ф-л рассчитать энергию атомизации алифатич. и ароматич. углеводородов. Энергии атомизации найдены равными (в скобках — опытные значения все в ккал/моль) 19,7 (19,7); 24,5 (22,6) и 28,8 (29,1) эв соответственно; барьер вращения в этане 2,9 (2,7—3,0).

В. Л. Лебедев

Ф. 1971. 110



+2



1972.

$C_2H_2$

$C_2D_2$

8 Б123. Диссоциативное присоединение электронов к  $C_2H_2$  и  $C_2D_2$ . Azzia R., Fiquet-Fayard F. Attachement électronique dissociatif sur  $C_2H_2$  et  $C_2D_2$ . «J. Phys.» (France), 1972, 33, № 7, 663—667 (франц.; рез. англ.)

Изучены энергетич. характеристики и влияние изотопного замещения на процесс присоединения электронов низкой энергии (0—15 эв) к молекулам  $C_2H_2$  (I) и  $C_2D_2$  (II). Квазимоноэнергетич. пучок, образованный по методу разности задерживающих потенциалов, взаимодействовал в камере столкновений с I и II (рабочее давл.  $10^{-4}$ — $10^{-5}$  мм). Положительные (ПИ) и отрицательные (ОИ) ионы регистрировались раздельно. Масс-спектрометрически идентифицированы 4 наблюдавшиеся максимума интенсивности ОИ в зависимости от энергии электронов  $E$ :  $C_2H^-$  (III) при  $E=2,55$  эв;  $C_2H^-$ ,  $C_2^-$ ,  $H^-$  (7,45 эв);  $C_2^-$  (два максимума 11,45 и 13,05 эв). Для III

(E)

Х. 1973. № 8.

получены кривые эффективности ионизации, потенциал появления ( $2,3 \pm 0,1$  эв) и абс. сечения процесса ( $\sigma$ ) при различных значениях  $E$  [ $\sigma_{\text{II max}} = (2,2 \pm 0,3) \cdot 10^{-20} \text{ см}^2$ ]. Определены при  $E=75$  и  $100$  эв величины  $\sigma^+$  для I и II:  
 $\sigma_{\text{I}}^+ = 4,7 \pm 0,15 \cdot 10^{-16} \text{ см}^2$ ,  $\sigma_{\text{II}}^+ = 5,0 \pm 0,15 \cdot 10^{-16} \text{ см}^2$ .

М. Туркина

1972

C<sub>2</sub>H<sub>2</sub>

- 160350m Infrared spectra of acetylene in matrixes at low temperatures. II. Bagdanskis, N. I.; Bulanin, M. O. (USSR). *Opt. Spectrosk.* 1972, 32(3), 525-30 (Russ). The ir absorption spectra of C<sub>2</sub>H<sub>2</sub>, C<sub>2</sub>HD, and C<sub>2</sub>D<sub>2</sub> in N matrixes were studied at 20°K before and after annealing at 27-35°K by using the earlier described matrix isolation method (Bagdanskii, et al., 1970). The spectra revealed that C<sub>2</sub>H<sub>2</sub> dimers in the matrix form open chain H bonds. The formation of cyclic dimers was not obsd.

C<sub>2</sub>HD

C<sub>2</sub>D<sub>2</sub>

V<sub>i</sub>

U.K. Marquesa

C.A. 1972. 76. 26

C<sub>2</sub>H<sub>2</sub>

announced 3000

1972

(Di)

65776w Assignments of the acetylene bands at 2.1-2.2  $\mu$ . Baldacci, Agostino; Gherzetti, Sergio; Rao, K. Narahari (Dep. Chem., Univ. Venice, Venice, Italy). *J. Mol. Spectrosc.* 1972, 41(1), 222-5 (Eng). The interpretation of the C<sub>2</sub>H<sub>2</sub> bands at 2.1-2.2  $\mu$  are presented which resulted in altering previous assignments of the bands. The *J* assignments for the  $\nu_3 + 2\nu_5^0$  band were changed by 2 units. The vibrational band origin is placed at 4727.07 instead of at 4722.06 cm<sup>-1</sup> given previously. With this revised *J* assignment the ground-state combination differences derived from the data for the  $\nu_0 + 2\nu_5^0$  band agree well with the values obtained from more than half a dozen bands. The higher spectral resolution now available, combined with the internal consistency between the measurements made here and in other recent studies may have contributed to removing the ambiguities in the *J* assignments for this band. The reversal of the vibrational assignments for the bands  $\nu_3 + 2\nu_4^0$  and  $\nu_2 + (3\nu_4 + \nu_5)^0$  reported here is considered to be a logical consequence of the revised assignment for the  $\nu_3$  band. Raylene Adams Coad

C.A. 1972. 46. 12

Opium

309



1972

C<sub>2</sub>H<sub>2</sub>

(m,n) 11701m Bands of carbon-13 and deuterium-enriched species  
of acetylene. Technology developed and interpretation of the  
data observed. Barnes, Russel Henry, Jr. (Ohio State Univ.,  
Columbus, Ohio). 1972, 210 pp. (Eng). Avail. Univ. Micro-  
films, Ann Arbor, Mich., Order No. 73-1931. From *Diss. Abstr.*  
*Int. B* 1973, 33(10), 4950.

C.A. 1973, 79 n2.

22 Б926. Триплетное состояние ацетилена. Испускание диацетила при фотосенсибилизированной ртутью реакции разложения. B. C. C. S., Hunziker H. E.  
Triplet state of acetylene: biacetyl emission from the mercury photosensitized reaction. «J. Chem. Phys.», 1972,  
57, № 1, 339—347 (англ.)

При фотосенсибилизированном ртутью разложении диацетила (**I**) в проточных условиях с модуляцией возбуждающего света (2537А) в присутствии  $C_2H_2$  наблюдалась фосфоресценция **I**. Показано, что фосфоресценция не вызывается  $C_6H_6$  или др. продуктами разл. Предложен механизм, согласно к-ому испускание связано с переносом энергии от метастабильного триплетного  $C_2H_2$  (**II**) к **I**. Скорость самотушения **II** составляет 0,083 от скорости переноса энергии от **II** к **I**. Показано, что триплетный уровень **II** лежит в пределах от 2,6 до 4,7 эв. Кроме того, оценена константа скорости триплет-триплетной анигиляции **I**, равная  $2 \cdot 10^{11}$  л/моль·сек.

А. Шведчиков

$C_2H_2$

( $\delta_i$ )

1. 1972 . 22

C<sub>2</sub>H<sub>2</sub>

1972

Coderebaum Strudel Topong

Diss., Dokt. Naturwiss. Wiss.

Allg. Wiss. Techn. Univ. München.

1972, TIBS., 111.

γ; Ae

(c.u.: H<sub>2</sub>O; III)

1972

 $C_2H_2$ 

5 Д139. Исследование электронного строения молекул. XVII. Анализ образования молекул ацетилена, этилена и этана в модели Хартри — Фока. Clementi Enrico, Popkie Herbert. Study of the electronic structure of molecules. XVII. Analysis of the formation of the acetylene, ethylene, and ethane molecules in the Hartree—Fock model. «J. Chem. Phys.», 1972, 57, № 11, 4870—4883 (нагл.)

 $E_i \propto \psi^2$ 

Неэмпирическим методом ССП МО ЛКАО в больших базисах сгруппированных гауссовых ф-ций исследовано электронное строение ацетилена (I), этилена (II), этана (III) и инишего синглетного состояния  $C_2$ . Для II рассмотрены плоская и перпендикулярная, а для III — шахматная и затмениая конформации. Производилось

Ф. 1973 N 5

(+3)  $C_2$   
  $C_2H_4$   
  $C_2H_6$

варьирование геометрии в широких пределах. Рассчитаны полные, электронные, орбитальные и разного рода корреляц. энергии, релятив. поправки. Проведен анализ заселенностей по Малликену и анализ энергий путем разбиения на компоненты. Рассчитанные полные энергии отличаются от хартри-фоковских не более чем на 0,01 ат. ед. Подробно обсуждена природа связи СС. Обнаружено, что в I—III эксперим. гибридизация сильно отличается от «идеальной». Подробно обсуждена природа барьера вращения в II и III; показано, что корреляц. поправки в барьеры вращения незначительны. Ч. XVI см. РЖФиз, 1972, 11Д, 126. В. Л. Лебедев

1972

 $C_2H_2$ 

11 Б39. Исследование электронного строения молекул. XVII. Анализ образования молекул ацетилена, этилена и этана по методу Хартри — Фока. Clementi Enrico, Popkie Herbert. Study of the electronic structure of molecules. XVII. Analysis of the formation of the acetylene, ethylene, and ethane molecules in the Hartree—Fock model. «J. Chem. Phys.», 1972, 57, № 11, 4870—4883 (англ.)

Эл. вибрации

Неэмпирическим методом ССП МО ЛКАО в больших базисах сгруппированных гауссовых функций исследовано электронное строение ацетилена (I), этилена (II) в плоской и перпендикулярной конформациях, этана (III) в шахматной и затменной конформациях и  $C_2$  (IV) в низшем синглетном состоянии. Варьировались длины связей C—C. Рассчитаны полные, орбитальные, электронные, различные корреляц. энергии, энергии диссоци-

2. 1973 N 11



(+2)

$C_2H_4$   
 $C_2H_6$



аций и релятивистские поправки. Проведен анализ энергии по схеме разбиения на компоненты и анализ заселенностей по Малликену. Отмечено, что полные энергии отличаются от хартри-фоковского предела не более чем на 0,01 ат. ед. Подробно обсуждена природа хим. связи в I—IV. Гибридизация в I—III найдена равной  $2s^{1,30}2p^{0,77}$ ,  $2s^{1,38}2p^{1,68}$  и  $2s^{1,38}2p^{2,58}$  соотв. Детально исследованы барьеры вращения в II и III и отмечено, что корреляц. вклады в барьеры невелики. В III барьер обусловлен переносом заряда с атомов H на C и ~~среду~~  
сопряжением псевдо-2p-АО групп H<sub>3</sub> с 2p-АО атомов C. Сообщ. XVI см. РЖХим., 1972, 22Б26.

В. Л. Лебедев

CH:CH

1972

Clark P.A., Preuss H.

M.N.

Kb. aux.  
paeret Z. Naturforsch. 1972, 27,  
1294-9.

● (see CH<sub>4</sub>) III

*C<sub>2</sub>H<sub>2</sub>*

*1972*

22 Б27. Исследование электронного строения органических соединений методом молекулярных орбиталей.

XIV. Равновесная геометрия и энергии низколежащих возбужденных состояний. Ditchfield R., Del Bene J., Pople J. A. Molecular-orbital-theory of the electronic structure of organic compounds. XIV. Equilibrium geometries and energies of low-lying excited states. «J. Amer. Chem. Soc.», 1972, 94, № 14, 4806—4811 (англ.)

Неэмпирическим методом ССП МО ЛКАО исследовано электронное строение ацетилена, цианистого водорода, фтористого щавеля, формальдегида, карбонилфторида ( $F_2CO$ ), фтористого метилена ( $HCF$ ), нитроксила ( $HNO$ ) и фтористого нитрозила ( $FNO$ ) в основных и низколежащих возбужденных состояниях. Использован базис орбиталей слептеровского типа (ОСТ), каждая из к-рых представлена линейной комбинацией (ЛК) 4 гауссовых функций.

*расчт*

*и. п.*

*чел. 07 · р*

*+*

*X · 1972 · 22*

ций (ГФ). Производилась полная оптимизация всех геометрич. параметров с наложением только ограничений по симметрии. Характеристики возбужденных состояний рассчитывались с учетом взаимодействия до 64 однократновозбужденных состояний и также производилась оптимизация геометрии. Для ряда состояний указанных молекул, кроме HNO и F<sub>2</sub>CO, проведены расчеты с базисом ОСТ, к-рые для внутренних оболочек представлялись ЛК 4 ГФ, а для валентных разбивались на внутреннюю — ЛК 3 ГФ — и внешнюю — 1 ГФ — части. Табулированы равновесные геометрии, полные энергии, энергии переходов. Полученные результаты хорошо согласуются с эксперим. данными, причем оба базиса приводят к близким значениям, исключая длины связей между электроотрицательными атомами, где больший базис существенно лучше. Сообщ. XII. см. РЖХим, 1972, 17Б51. В. Л. Лебедев

$C_2H_2$

$C_2D_2$

1972

132731p Analysis of the  $\nu_3$  band profile of deuterated acetylene in solution at variable temperature. Elbez, Gerard; Soussen-Jacob, Janine; Vincent-Geisse, Josette (Lab. Rech.

Phys., Univ. Paris VI, Paris, Fr.). *C. R. Acad. Sci., Ser. B* 1972, 275(6), 243-6 (Fr). The temp. dependence (203-303°K) of the  $\nu_3$  band width of  $C_2D_2$  in  $CS_2$  is well explained by a model of rotational diffusion across a potential barrier. The vibrational and rotational components were sep'd., and the potential barrier to reorientation was calcd. as 1.3 kcal/mole. A study of the correlation function gave a similar value (1.2 kcal/mole).

(V<sub>o</sub>)

C.R. 1972, 77, 20

C<sub>2</sub>H<sub>2</sub>

μ : h.

V<sub>i</sub>

отмечено 3001

1972

16 Б273. Спектры комбинационного рассеяния высокого разрешения ацетилена, ацетилена-*d*<sub>1</sub> и ацетилена-*d*<sub>2</sub>. Fast H., Welsh H. L. High-resolution Raman spectra of acetylene, acetylene-*d*<sub>1</sub>, and acetylene-*d*<sub>2</sub>. «J. Mol. Spectrosc.», 1972, 41, № 1, 203—221 (англ.)

С разрешением  $\sim 0,3 \text{ см}^{-1}$  исследованы спектры КР молекул C<sub>2</sub>H<sub>2</sub>, C<sub>2</sub>HD и C<sub>2</sub>D<sub>2</sub> в газовой фазе. Идентифицированы чисто вращательные спектры и вращательная структура активных в КР основных полос и ряда обертонаов, суммарных и разностных тонов этих молекул. Определены значения вращательной и центробежной постоянных, нулевых частот колебаний и некоторых постоянных ангармоничности.

М. Р. Алиев

X. 1979.

10

C H  
2 2

Aug 1972 3001

1972

- 52209p) High-resolution Raman spectra of acetylene, acetylene-d<sub>1</sub>, and acetylene-d<sub>2</sub>. Fast, H.; Welsh, H. L. (Dep. Phys., Univ. Toronto, Toronto, Ont.). *J. Mol. Spectrosc.* 1972, 41(1), 203-21 (Eng). The Raman-active fundamental bands of C<sub>2</sub>H<sub>2</sub>, C<sub>2</sub>HD, and C<sub>2</sub>D<sub>2</sub>, excited by Hg 4047 and Hg 4358 in a multiple-reflection Raman tube, were photographed with a spectral resolution of  $\sim 0.3 \text{ cm}^{-1}$ . Extensive rotational structure was recorded for the  $\nu_1$ ,  $\nu_2$ , and  $\nu_3^1$  bands of C<sub>2</sub>H<sub>2</sub> and C<sub>2</sub>D<sub>2</sub> and the  $\nu_1$  and  $\nu_2$  bands of C<sub>2</sub>HD; Q branches only were obtained for the  $\nu_3^1$  band of C<sub>2</sub>HD and the  $2\nu_4^0$  band of C<sub>2</sub>D<sub>2</sub>. The rotational structures were computer-analyzed to yield values of  $\nu_0$ ,  $B_1$ ,  $D_1$ , and  $g$ , the ir value of  $B_0$  being assumed. From the Q branches of hot bands certain anharmonicity consts.  $x_{ij}$  could be obtained. A combination of ir and Raman data, which best satisfied a consistency test, was used to obtain the equil. bond lengths,  $r_e(\text{C-H}) = r_e(\text{C-D}) = 1.0605 \pm 3 \text{ \AA}$  and  $r_e(\text{C:C}) = 1.2033 \pm 2 \text{ \AA}$ .

C HD  
2 2

C D 2

$\gamma$  C=C

$\gamma$  CH

$\gamma$  CD

Pattan cleanup

C.A. 1972. F6.10

$C_2H_2$

1972

4 Д154.] Вращательно-колебательный энергетический обмен. Динамика вращающейся ангармонической четырехатомной молекулы. Hung Nagl Chow. Rotational-vibrational energy transfer. Dynamics of a rotating anharmonic four-atom molecule. «J. Chem. Phys.», 1972, 57, № 12, 5202—5215 (англ.)

( $E_i$ )

Теоретически для заданных начальных значений вращательной энергии и колебательной энергии различных мод исследована динамика перераспределения энергии между типами колебаний в четырехатомной вращающейся линейной симметричной молекуле. При этом внутримолекулярное взаимодействие описывалось тремя потенциалами Морзе. Численные расчеты проведены для молекул  $C_2H_2$ ,  $C_2D_2$  и  $C_2N_2$ . Для молекулы  $C_2H_2$  проанализирован также случай, когда в результате перераспределения энергии между модами происходит разрыв связи, т. е. имеет место мономолекулярная реакция диссоциации.

Б. Ф. Гордиц

φ. 1973  
Н. Н.

+2



$C_2H_2$

1972

9 Б952. Колебательно-вращательный перенос энергии. Динамика вращающейся ангармонической четырехатомной молекулы. H u n g N a g l C h o w. Rotational-vibrational energy transfer. Dynamics of a rotating anharmonic four—atom molecule. «J. Chem. Phys.», 1972, 57, № 12, 5202—5215 (англ.)

В рамках классич. теории мономолек. р-ций с использованием потенциальных ф-ций Морзе для всех связей исследованы процессы внутримолек. переноса энергии и диссоциации в линейных симметричных четырехатомных молекулах типа  $A_2B_2$  (деф. кол. не учтены). Выполнены численные расчеты временной зависимости распределения полной энергии ( $E$ ) по колебательным ( $E_v$ ) и вращательным ( $E_R$ ) степеням свободы при различных начальных распределениях энергии по этим степеням свободы для молекул  $C_2H_2$ ,  $C_2D_2$  и  $C_2N_2$ . Показано, что при минимальном  $E_R$  значение  $E_R + E_v$  очень близко к

2: 1973, № 9

(+2) 8

$E_t$ , причем каждому минимуму на кривой временной зависимости  $E_R$  [т. е. на кривой  $E_R(t)$ ] соответствует максимум кривой  $E_V(t)$ ; сумма минимума  $E_R(t)$  и максимума  $E_V(t)$  близка к  $E_t(t)$  при том же значении  $t$ , а кинетич. энергия системы обращается в нуль. Вращательная энергия передается вначале одному колебанию, а затем перераспределяется между всеми колебаниями. Расчеты выполнены также для диссociационного порога этих молекул и показано, что в зависимости от запаса вращательной энергии диссоциировать могут как центральные, так и внешние связи.      М. Р. Алиев

*C<sub>2</sub>H<sub>2</sub>*

*1982*

*(д.н.)*

19 Б69. Исследования изогнутого транс-ацетилена с помощью интегральной теоремы Гельмана — Фейнмана.  
Melrose M. P., Briggs P. J. Integral Hellmann — Feynman investigations of trans bent acetylene. «Theor. chim. acta», 1972, 25, № 2, 181—188 (англ.)

Интегральная теорема Гельмана — Фейнмана использована для расчета разности энергии линейной и изогнутой ядерной конфигураций молекулы ацетилена в возбужденном электронном состоянии  $^1A_u$ . Плотность перехода, соотв-щая волновой функции типа МО ЛКАО, показывает, что изменения энергий орбиталей, диагонализующих плотность перехода, находятся в качестве согласия с правилами Уолша для определения равновесной

*X·1982·19*

ядерной конфигурации. В то же время для локализованных МО, построенных из гибридных АО, плотность перехода не согласуется с устойчивостью изогнутой ядерной конфигурации (это противоречит эксперименту). Это означает, что изменение гибридизации по схеме  $sp \rightarrow sp^2$  не может быть основной причиной изменения геометрии молекулы ацетилена при электронном возбуждении.

Т. К. Ребане

5 Д391. Исследование некоторых ИК-полос  $^{12}\text{C}_2\text{H}_2$

и изучение влияния колебательно-вращательных взаимодействий. Palmer Kent F., Mickelson Michael E., Rao K. Nagahagi. Investigations of several infrared bands of  $^{12}\text{C}_2\text{H}_2$  and studies of the effects of vibrational rotational interactions. «J. Mol. Spectrosc.», 1972, 44, № II, 131—144 (англ.)

1972

Получены ИК-спектры поглощения газообразного ацетилена в области 1,5—15 мк с разрешением  $0,04 \text{ см}^{-1}$ . Приведены частоты и отнесение колебательно-вращательных линий. В области 115 мк структура связана с колебательной полосой  $v_5$ , двумя компонентами полосы  $2v_5 - v_5$  и тремя — полосы  $v_4 + v_5 - v_4$ , уточнены частоты соответствующих переходов. В области 7,5 мк наблюдена полоса  $(v_4 + v_5)^2$ , разрешенная колебательно-вращательным взаимодействием. Произведено переотнесение линий полосы  $v_3 - v_4^1$ , вычисление константы  $q_4$  на основании новой нумерации улучшило согласие с теорией. Определено относит. положение компонент с и d состояний  $\Delta$  и  $\Pi$ , для обоих состояний  $c$ -компоненты выше, чем  $d$ . Приведены вычисленные значения колебательных частот и вращательных постоянных в основном и возбужденном колебательных состояниях. Библ. 7.

М. В. Тонков

Втммиськ 2997

$\text{C}_2\text{H}_2$

XIII-4932

Ф. 19.3  
№ 5

C<sub>2</sub>H<sub>2</sub>

XIV-4234

1972

(M.H)

120181w Several infrared bands of acetylene and studies of the effects of vibrational-rotational interactions. Palmer, Kent F.; Mickelson, Michael E.; Rao, K. Narahari (Dep. Phys., Ohio State Univ., Columbus, Ohio). *J. Mol. Spectrosc.* 1972, 44(1), 131-44 (Eng). Twenty seven ir bands of <sup>12</sup>C<sub>2</sub>H<sub>2</sub> in 7 selected regions were measured with high resoln. vacuum spectrographs. Some of these were studied for the 1st time under high resoln., several mol. consts. were detd. with improved accuracy, and the rotational assignments were cor. in a few instances. The need to det. the relative orientations of the  $\Delta$  states from exptl. studies has become evident in recent work related to C<sub>2</sub>D<sub>2</sub> and C<sub>2</sub>HD spectra. In the present investigation, for the 2  $\Delta$  states 0000<sup>o</sup>2<sup>2</sup> and (0011)<sup>2</sup> the *c* component was higher than the corresponding *d* component. For the 1st time, a  $\Pi$  state was also established to have the same feature; normally, in the case of  $\Pi$  states the  $\Pi_d$  component is higher than the  $\Pi_c$ .

January 2997

C.A. 1972.44.18

20429.4543  
Ch1.1.5

C<sub>2</sub>H<sub>2</sub> (Ji, M.N.)  
41125

XIV 3933  
1972

Varadaraj Rao R.  
Assignments of the <sup>12</sup>C<sub>2</sub>H<sub>2</sub> bands  
at 2.1-2.2  $\mu$ . "J. Mol. Spectrosc.",  
1972, 41, N 1, 222-225

10

(англ.) 0610 пик.

597, 599

603

ВИНИТИ

C<sub>2</sub>H<sub>2</sub>

~~Y716f 9321~~

1972

(μ.n)

9716f Finer details in the infrared bands of acetylene. Palmer, Kent Friedley (Ohio State Univ., Columbus, Ohio). 1972, 236 pp. (Eng). Avail. Univ. Microfilms, Ann Arbor, Mich., Order No. 72-21,000. From *Diss. Abstr. Int. B* 1972, 33(2), 859.

C.A. 1973, 78, N2

1972

 $C_2H_2$ 

4 Б72. Эффект Рениера в четырехатомных молекулах. Petelin A. N., Kiselev A. A. The Renner effect in four-atomic molecules. «Int. J. Quant. Chem.», 1972, 6, № 4, 701—716 (англ.; рез. франц., нем.)

Рассмотрен эффект Рениера (взаимодействие электронного и колебательного угловых моментов) в электронных  $^1\Pi$ -состояниях линейных молекул  $X_2Y_2$  и  $X_2YZ$ . Построена матрица электронно-колебательной энергии, и методом возмущений во втором приближении получены ф-лы для энергии уровней. Показано, что для молекул  $X_2Y_2$  энергия зависит от двух, а для молекул  $X_2YZ$  — от трех параметров электронно-колебательного взаимодействия. Результаты использованы для анализа колебательной структуры электронного перехода  $^1\Pi_u - ^1\Sigma_g^+$  молекул  $C_2H_2$  и  $C_2D_2$  и вычислены частоты колебаний и параметры взаимодействия для этих молекул.

М. Р. Алиев

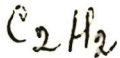
Х. 1973. № 4.



(+)



1972



81366p Renner effect in four-atomic molecules. Petelin, A. N.; Kiselev, A. A. (Inst. Phys., Leningrad State Univ., Leningrad, USSR). *Int. J. Quantum Chem.*, 1972, 6(4), 701-16 (Eng). The theory of the Renner effect in  $X_2Y_2$  and  $X_2YZ$  linear mols. is considered. The Renner equations were obtained with the help of the Born-Oppenheimer method. These equations contain 2 Renner parameters for an  $X_2Y_2$  mol. and 3 Renner parameters for an  $X_2YZ$  mols. By assuming these parameters to be small enough, an approx. soln. of the Renner equations was obtained with the help of perturbation theory. Some general qual. results are obtained in the 1st order of the perturbation theory; the 2nd order calcns. are made for some specific cases. The theoretical results are used to consider exptl. data concerning the vibrational structure of the  $^1\Pi_u - ^1\Sigma_g^+$  electronic transition in  $C_2H_2$  and  $C_2D_2$ . The frequencies of the bending vibrations and the Renner parameters were calcd. for the electronic  $^1\Pi_u$ -state mentioned.

(m, n.)

C.A. 1972 #12

1972

С2Н2  
С2D2  
(V)

2Д101. Эффект Реннера в четырехатомных молекулах. Petelin A. N., Kiselev A. A. The Renner effect in four-atomic molecules. «Int. J. Quant. Chem.», 1972, 6, № 4, 701—716 (англ.; рез. франц., нем.)

Рассматривается теория эффекта Реннера для линейных молекул типа  $X_2Y_2$  и  $X_2YZ$ . С помощью метода Борна—Оппенгеймера выведены ур-ния Реннера. В случае молекулы  $X_2Y_2$  эти ур-ния содержат 2, а в случае молекулы  $X_2YZ$  — 3 параметра Реннера. Предполагая эти параметры достаточно малыми, авторы получили по теории возмущений решение ур-ний Реннера. Обсуждены качественные следствия из свойств решений, найденных в первом порядке. Расчеты во втором порядке выполнены для некоторых частных случаев. Результаты использованы для интерпретации наблюдаемой колебательной структуры электронного перехода  $^1\Pi_u - ^1\Sigma_g^+$  в молекулах  $C_2H_2$  и  $C_2D_2$ . Вычислены частоты колебаний зигзага и параметры Реннера для электронного состояния  $^1\Pi_u$ .

Т. К. Ребане

Регистр-1973-2

C<sub>2</sub>H<sub>2</sub>

January 2998

1972

(Vi) XIV-12413  
120225p Spectrum of acetylene in the 5- $\mu$  region. Pliva, Josef (Dep. Phys., Pennsylvania State Univ., University Park, Pa.). *J. Mol. Spectrosc.* 1972, 14(1), 145-64 (Eng). Three  $\Pi_u - \Sigma_g^+$  bands,  $2\nu_4 + \nu_3$  at 1959.697 and 1940.003 cm<sup>-1</sup> and  $3\nu_3$  at 2169.166 cm<sup>-1</sup>, accompanied by 15  $\Sigma^+ - \Pi$ ,  $\Sigma^- - \Pi$ ,  $\Delta - \Pi$ , and  $\Pi - \Pi$  "hot" bands occurring in the region between 1830 and 2250 cm<sup>-1</sup> were measured and analyzed. The  $\Sigma_u^+ - \Sigma_g^+$  band  $3\nu_4 + \nu_3$  at 2560.600 cm<sup>-1</sup> was also measured. The upper states of many of the transitions investigated are involved in strong vibrational-rotational interactions causing some effects not previously seen in the vibration-rotation spectra of simple linear mols. The results obtained were combined with the available information from other regions of the spectrum to calc. an internally consistent set of consts. for the ground state, for the  $\Pi$ -states 0001<sup>01</sup> and 0000<sup>11</sup> as well as for the various higher excited states of the bending vibrations of C<sub>2</sub>H<sub>2</sub>.

P.A. 1972.44.18

данные 2998

1972.

$C_2H_2$

10 Б239. Спектр ацетилена в области 5 микронов.  
Pliva Josef. Spectrum of acetylene in the 5-micron  
region. «J. Mol. Spectrosc.», 1972, 44, № 1, 145—164  
(англ.)

Изучена вращательная структура 18 вращательно-ко-  
лебательных ИК-полос ацетилена (I) в области 1830—  
2250  $\text{см}^{-1}$  (три полосы переходов типа  $\Pi_u\Sigma_u^+$  и поло-  
сы  $2\nu_4+\nu_5$  при 1959,697 и 1940,003  $\text{см}^{-1}$  и полоса  $3\nu_5$   
при 2169,166  $\text{см}^{-1}$ , сопровождаемые 15 «гор.» полосами  
 $\Sigma^+-\Pi$ ,  $\Sigma^--\Pi$ ,  $\Delta-\Pi$  и  $\Pi-\Pi$ ). Измерена также  $\Sigma_u^+-$   
 $\Sigma_g^+$  полоса I  $3\nu_4+\nu_5$  при 2560,600  $\text{см}^{-1}$ . Верхние со-  
стояния многих исследованных переходов участвуют в  
сильных вращательно-колебательных взаимодействиях,  
вызывающих нек-рые эффекты в области G-ветвей, к-рые  
ранее не наблюдались во вращательных колебательных

( $\mu_i; \gamma_i$ )

XIV-1/24/3

X. 1973. № 10

спектрах простых линейных молекул. Полученные результаты соединены с доступной информацией из других областей спектра I. На основе этих данных вычислен и затащирован внутренне согласованный набор молек. постоянных I в основном состоянии, в П-состояниях  $0001^10^0$  и  $0000^01^1$ , а также в различных высших возбужденных состояниях деф. кол. I. По резюме-

*C<sub>2</sub>H<sub>2</sub>*

1972!

4 Д225. Молекулярные постоянные для деформационных колебаний ацетилена  $^{12}\text{C}_2\text{H}_2$ . Plíva Josef. Molecular constants for the bending modes of acetylene  $^{12}\text{C}_2\text{H}_2$ . «J. Mol. Spectrosc.»; 1972, 44, № 1, 165—182 (англ.)

С учетом кубических и квартичных членов ангармоничности в потенц. ф-ции и эффектов колебательно-вращательного взаимодействия вплоть до 4-го порядка получены общие ф-лы для гамильтониана и его матричных элементов в базисе жесткого волчка и гармонич. осциллятора для молекул типа ацетилена. Приведены выражения постоянных ангармоничности, *l*-удвоения и *l*-резонанса через молекулярные параметры. Составлена программа для расчета частот колебательно-вращательных переходов и молекулярных постоянных, основанная на методе наименьших квадратов. Из частот ~1200 линий вычислены значения 40 молекулярных постоянных для  $^{12}\text{C}_2\text{H}_2$ , характеризующих деформационные колебания  $\nu_4$  и  $\nu_5$ , их взаимодействие между собой и их взаимодействие с вращением.

М. Р. Алиев

*min.*

Однократный 2999

*Ф. 1973  
N 4*

C2H2

1942

( $\mu \cdot n$ )

120186b Molecular constants for the bending modes of acetylene. Pliva, Josef (Dep. Phys., Pennsylvania State Univ., University Park, Pa.). *J. Mol. Spectrosc.* 1972, 44(1), 165-82 (Eng). The problem of the bending vibrations and of the vibrational *l*-type resonance in C2H2 is briefly reviewed and the vibration-rotation energy matrix is given in explicit form for various higher excited states of the bending modes  $\nu_4$  and  $\nu_5$ . New extensive data available for the mol. of  $^{12}\text{C}_2\text{H}_2$  are used to obtain a set of vibrational, vibration-rotation coupling, and centrifugal consts. in the 4th-order energy expression for the excited bending states. A set of 40 mol. consts. capable of reproducing a total of  $\sim 1200$  vibrational-rotational energy levels with a std. deviation of  $0.006 \text{ cm}^{-1}$  is tabulated.

2999

Ottobre 66

P.H. 1942. 44. 18

C<sub>2</sub>H<sub>2</sub>

1942

(μ·n)

2999

Orbital 666

120186b Molecular constants for the bending modes of acetylene. Pliva, Josef (Dep. Phys., Pennsylvania State Univ., University Park, Pa.). *J. Mol. Spectrosc.* 1972, 44(1), 165-82 (Eng). The problem of the bending vibrations and of the vibrational *l*-type resonance in C<sub>2</sub>H<sub>2</sub> is briefly reviewed and the vibration-rotation energy matrix is given in explicit form for various higher excited states of the bending modes  $\nu_4$  and  $\nu_5$ . New extensive data available for the mol. of <sup>12</sup>C<sub>2</sub>H<sub>2</sub> are used to obtain a set of vibrational, vibration-rotation coupling, and centrifugal consts. in the 4th-order energy expression for the excited bending states. A set of 40 mol. consts. capable of reproducing a total of ~1200 vibrational-rotational energy levels with a std. deviation of 0.006 cm<sup>-1</sup> is tabulated.

E.H. 1942. 44. 18

1973

# $C_2H_2$

(м.н.)

7 Д363. ИК-полосы комбинационных колебаний  $C_2^{12}H_2$ , включающих состояние  $0000^011$ . Baldacci Agostino, Ghersetti Sergio, Ro K. Nagahara. Infrared combination bands of  $^{12}C_2H_2$  involving  $0000^011$  state. «J. Mol. Spectrosc.», 1973, 48, № 3, 600—603 (англ.)

Получены ИК-спектры поглощения газообразного ацетилена в области 4000—4100  $\text{см}^{-1}$  с разрешением, позволившим определить частоты колебательно-вращательных линий  $Q$ -ветвей. Наблюданы полосы колебательных переходов  $1000^011—0000^00$ ,  $0100^031—0000^000$ ,  $1001^111—0001^111$ ,  $1001^111—0001^100$ ,  $1000^022—0000^011$ ,  $1000^020—0000^011$  молекулы  $C_2^{12}H_2$  и  $1000^011—0000^000$   $C_2^{13}D_2$ . Приведены частоты наблюденных линий. Определены разности вращательных постоянных  $B$ ,  $D$ ,  $H$  в начальном и конечном состояниях. Отмечены случаи  $l$ -резонанса. Параметр резонанса  $g_{55}$ , вычисленный из полученных частот, отличается от величины, определенной ранее по ИК-спектрам излучения. Библ. 6. М. В. Тонков

ср/1974 № 7

HCCCH

1973

Birge Robert R.

paetem

Ei

" J. Amer. Chem. Soc."

1973, 95, (25), 8241-49.

(crys. HCN; III)

Sax. 247

$C_2H_2$

Birner Peter, 1973  
Köhler Hans-Joachim,  
Weiss Cornelius.

пакет  
нашаван  $nZ. Chem.$  "1973, 13, N5, 184-5.  
в пакет  
закрыва

(см HCN; III)

1973

C<sub>2</sub>H<sub>2</sub>

описание 1841.

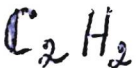
12 Б225. Разностная полоса  $v_5 - v_4$  ацетилена, C<sub>2</sub><sup>12</sup>H<sub>2</sub>.Braund Doris B., Cole A. R. H., Grader F. E.  
The difference band  $v_5 - v_4$  of acetylene, <sup>12</sup>C<sub>2</sub>H<sub>2</sub>. «J. Mol. Spectrosc.», 1973, 48, № 3, 604—606 (англ.)

( $v_5 - v_4$ )

С помощью ЭВМ воспроизведена вращательная структура разностной полосы  $v_5 - v_4$  (колебательный переход типа П—П) C<sub>2</sub><sup>12</sup>H<sub>2</sub> (I), в области 60—200 см<sup>-1</sup>, исследованной ранее в дальней ИК-области с учетом удвоения *I*-типа. Определенные при этом вращательные постоянные для полос  $v_4$  и  $v_5$  I согласуются с соотв-щими значениями вращательных постоянных I. А. П. Александров

Х. 1974 n 12

1973



(н.н.)

) 7 Д365. Разностная полоса  $v_5 - v_4$  ацетилена  $^{12}\text{C}_2\text{H}_2$ .

Braund Doris B., Cole A. R. H., Grader F. E.

The difference band  $v_5 - v_4$  of acetylene,  $^{12}\text{C}_2\text{H}_2$ . «J. Mol. Spectrosc.», 1973, 48, № 3, 604—606 (англ.)

Получен ИК-спектр поглощения газообразного ацетилена в области 65—200 см<sup>-1</sup> с разрешением 0,3 см<sup>-1</sup> в слое до 7,4 м при давл. 1 атм, связанный с колебательно-вращательной полосой  $v_5 - v_4$  и двумя соответствующими ей горячими переходами. Отмечено *l*-удвоение линий, большее в *P*-ветви. Приведены частоты линий полосы  $v_5 - v_4$ . Вычисленные по этой полосе молекулярные константы хорошо согласуются с более точными данными. Библ. 7.

М. В. Тонков

Ф 1974 № 7

*C<sub>2</sub>H<sub>2</sub>*

*1973*

8 Д149. Расчет молекул C<sub>2</sub>H<sub>2</sub>, C<sub>2</sub>H<sub>4</sub>, C<sub>2</sub>H<sub>6</sub>, H<sub>2</sub>O<sub>2</sub>, N<sub>2</sub>H<sub>4</sub> в приближении двух центров с орбиталями Слэтера. Булычев В. П. «Вестн. Ленингр. ун-та», 1973, № 4, 34—37 (рез. англ.)

Исследуется применимость метода двухцентрового разложения с минимальным набором слэтеровских атомных орбиталей к расчету молекул вида H<sub>n</sub>ABH<sub>m</sub>. Вычисленные энергии вертикальных электронных переходов, равновесные длины связей и некоторые силовые постоянные удовлетворительно согласуются с экспериментальными и результатами более сложных расчетов.

*М.Н.; С.Н.*

*Черчев*

*9.1973*

*№8*

